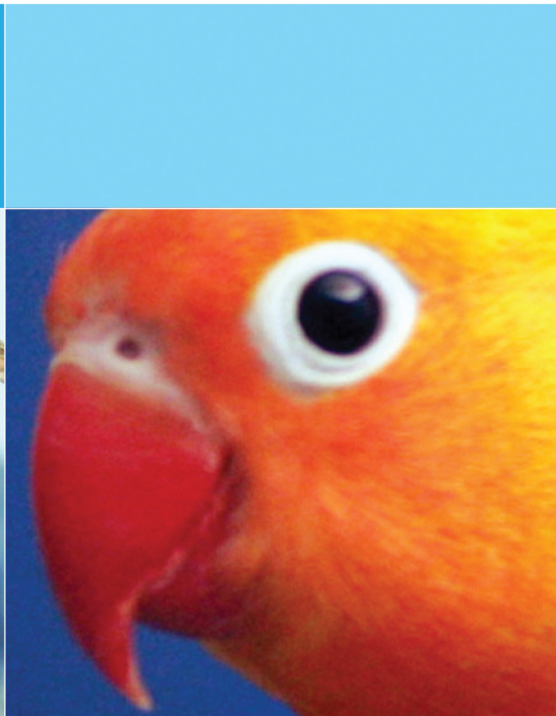




ประมวลเรื่องการประชุมวิชาการ สัตวแพทยศาสตร์ มกม. ครั้งที่ 1 ประจำปี 2550



18-19 ตุลาคม 2550
ณ. โรงแรมรามาการ์เด้น



“
สัตวแพทย์ก้าวหน้า
ปศุสัตว์ก้าวไกล
ได้ด้วยเทคโนโลยี
”

ประเมินผลเรื่องการประชุมวิชาการ สัตวแพทยศาสตร์ มทม. ครั้งที่ 1 ประจำปี 2550

18-19 ตุลาคม 2550 ณ. โรงแรมรามาการ์เด้น

รายชื่อคณะกรรมการจัดงานประชุมวิชาการทางสัตวแพทย์ มกม. ครั้งที่ 1 ประจำปี 2550

1. รศ.น.สพ.ดร.ไพบูลย์	ยุติศรี	กรรมการที่ปรึกษา
2. รศ.ดร.อธิคุณ	ฤกษ์บุตร	กรรมการที่ปรึกษา
3. รศ.ดร.สาโรช	ค้าเจริญ	กรรมการที่ปรึกษา
4. อ.น.สพ.ดร.สำราญ	บรรณจิรกุล	ประธานคณะกรรมการจัดงาน
5. ผศ.น.สพ.ดร.จตุพร	กระจายกวี	รองประธานฝ่ายวิชาการ
6. อ.น.สพ.ดร.ทนงศักดิ์	มะمم	รองประธานฝ่ายการจัดงาน
7. อ.สพ.ญ.อุมาพร	รุ่งฤกษ์ฤทธิ์	ประธานฝ่ายเอกสารและสูจิบัตร
8. อ.น.สพ.ดร.เอกชาติ	พรหมดิเรก	ประธานฝ่ายวิชาการ
9. อ.สพ.ญ.พินิดดา	อะภิมผล	ประธานฝ่ายทะเบียนและประเมินผล
10. อ.น.สพ.กฤษณา	ขำพูล	ประธานฝ่ายปฏิคม
11. อ.น.สพ.สมชาย	จันทร์เกษ	ประธานฝ่ายประชาสัมพันธ์
12. อ.สพ.ญ.ดร.อารยา	อนุไพรวรรรณ	ประธานฝ่ายดำเนินการประจำปี
13. อ.ธีรวัฒน์	พัฒนรัชต์	ประธานฝ่ายอาคารสถานที่
14. อ.น.สพ.ดร.เจษฎา	รุ่งภู่ประดิษฐ์	ประธานฝ่ายจัดหาทุน
15. อ.จุฬาภา	สอนกลิน	ประธานฝ่ายเหรัญญิก
16. อ.สพ.ญ.ชาหริณี	โสภารัตน์	เลขานุการ
17. อ.สพ.ญ.สุกัญญา	ผลิตกุล	เลขานุการ
18. คุณพัชรี	กองเปี๊ง	เลขานุการ

คณะกรรมการฝ่ายวิชาการ

อ.น.สพ.ดร.เอกชาติ	พรหมดิเรก	ประธานอนุกรรมการฝ่ายวิชาการ
อ.น.สพ.จำลอง	มิตรชาวไทย	อนุกรรมการ
อ.สพ.ญ.อัชฎาพร	ไซยคุณ	อนุกรรมการ
อ.สพ.ญ.ทรงศนีย์	บุณยทรงศนีย์	อนุกรรมการ
อ.สพ.ญ.วิสสถา	แสงแก้ว	อนุกรรมการ

คณะกรรมการฝ่ายอาคารสถานที่

อ.ธีรวัฒน์	พัฒนรัชต์	ประธานอนุกรรมการฝ่ายอาคารสถานที่
น.สพ.ทักษ์ดันย์	จิรพินธุ์	อนุกรรมการ

คณะกรรมการฝ่ายเหรัญญิก

อาจารย์จุฬาภา	สอนกลิน	ประธานอนุกรรมการฝ่ายเหรัญญิก
อ.สพ.ญ.นันทิดา	ทรัพย์แก้ว	อนุกรรมการ

คณะกรรมการฝ่ายจัดทำทุน

อ.น.สพ.ดร.เจชฎา	รุ่งภู่ประดิษฐ์	ประธานอนุกรรมการฝ่ายจัดทำทุน
อ.น.สพ.ศักดิ์ชัย	เรือนเพชร	อนุกรรมการ
อ.สพ.ญ.จันทนา	เลาหารชตธนานินทร์	อนุกรรมการ
อ.สพ.ญ.สุภารัตน์	วรรณศิลป์	อนุกรรมการ
สพ.ญ.ธนิกานต์	สุวรรณโชติ	อนุกรรมการ
น.สพ.อเนศ	อนุศักดิ์เสถียร	อนุกรรมการ
คุณเนาวรัตน์	งามเมือง	อนุกรรมการ
คณะกรรมการฝ่ายเอกสารและสูจิบัตร		
อ.สพ.ญ.อุมาพร	รุ่งฤกษ์ฤทธิ์	ประธานอนุกรรมการฝ่ายเอกสารและสูจิบัตร
อ.สพ.ญ.จิตรา	สันสุริวงศ์	อนุกรรมการ
อ.สพ.ญ.ทรงศนีย์	บุญทรงศนีย์	อนุกรรมการ
อ.สพ.ญ.โชคิกา	ทิวาลัย	อนุกรรมการ

คณะกรรมการฝ่ายประชาสัมพันธ์

อ.น.สพ.สมชาย	จันทร์เกง	ประธานอนุกรรมการฝ่ายประชาสัมพันธ์
คุณศิริรัตน์	พิมพ์ว่าปี	อนุกรรมการ

คณะกรรมการฝ่ายทะเบียนและประเมินผล

อ.สพ.ญ.พนิดา	ชาอุ่มผล	ประธานอนุกรรมการฝ่ายทะเบียนและประเมินผล
อ.น.สพ.ส่งา	บุญโสดา	อนุกรรมการ
อ.น.สพ.นฤพนธ์	ญาณประภาคิริ	อนุกรรมการ
อ.น.สพ.ชัยณรงค์	ภูมิรัตนประพิณ	อนุกรรมการ

คณะกรรมการฝ่ายปฏิคิม

อ.น.สพ.กฤษฎา	ชำพล	ประธานอนุกรรมการฝ่ายปฏิคิม
อ.น.สพ.สิทธิชัน	รัตนจันทร์	อนุกรรมการ
คุณสามารถ	สุวรรณเมцен	อนุกรรมการ
คุณนาถยา	จันทึก	อนุกรรมการ

คณะกรรมการฝ่ายดำเนินการประจำ

อ.สพ.ญ.ดร.อารายา	อนุไพรวรรณ	ประธานอนุกรรมการฝ่ายดำเนินการประจำ
อ.ทักษิณ	ตรัยรัตน์อภิวัน	อนุกรรมการ
อ.สพ.ญ.อภิรดี	อินทรพักตร์	อนุกรรมการ
คุณสุวรรณวิไล	สะนิลະ	อนุกรรมการ
คุณอัญญาภัตต์	เอกตา	อนุกรรมการ
คุณศิริวรรณ	เทพเที่ยน	อนุกรรมการ
คุณสุนิสา	สุชาติธรรม	อนุกรรมการ

สารจากอธิการบดี

ในปีพุทธศักราช 2550 นี้ ปวงชนชาวไทยถือว่าเป็นปีมหามงคลยิ่งปีหนึ่ง เพราะเป็นปีที่พระบาทสมเด็จพระเจ้าอยู่หัว มีพระชนม์มาสูญ ครบ 80 พรรษา ดังนั้นในปีนี้พวกเราปวงชนชาวไทยในหลาย ๆ แห่งทำงาน จึงพร้อมใจกันจัดกิจกรรมที่ดีและมีประโยชน์ขึ้น เพื่อถวายเป็นพระราชกุศลแด่องค์พระบาทสมเด็จพระเจ้าอยู่หัว รวมทั้งมหาวิทยาลัยเทคโนโลยีมหานครด้วย

เป็นเรื่องน่ายินดีเป็นอย่างยิ่งที่คณะกรรมการสั�วแพทยศาสตร์ ของมหาวิทยาลัยเทคโนโลยีมหานคร ได้จัดการประชุมวิชาการสั�วแพทย์ ครั้งที่ 1 ประจำปี 2550 ขึ้นในวันที่ 18-19 ตุลาคม 2550 นี้ ซึ่งนับได้ว่าเป็นส่วนหนึ่งในการจัดกิจกรรมที่เป็นประโยชน์ต่อสังคมส่วนรวม เพื่อเผยแพร่ความรู้ ความก้าวหน้าทางวิชาการ สู่สังคม และเป็นการพัฒนาวิชาชีพทางด้านสั�วแพทย์ ในสาขาต่างๆ อีกด้วย ทั้งยังเป็นการเปิดโอกาสให้นักวิชาการ ผู้เชี่ยวชาญ ได้ร่วมแลกเปลี่ยนความรู้ ความคิดเห็น ประสบการณ์ ที่เป็นประโยชน์ต่อกัน และยังเป็นการพบปะสังสรรค์กันอีกด้วย มหาวิทยาลัยเทคโนโลยีมหานคร มีนโยบายชัดเจนที่จะส่งเสริมให้บุคลากร ทำงานจริงและพัฒนาอย่างต่อเนื่องเสมอมา การจัดประชุมวิชาการต่างๆ จึงถือเป็นเวทีสำคัญในการรวบรวมหมู่นักวิจัย ก่อให้เกิดการต่อยอดของงานวิจัย และเป็นจุดเริ่มต้นของการสร้างสรรค์งานวิจัยใหม่ๆ ได้ในอนาคต

กระผมเชื่อว่า ผลที่ได้รับจากการประชุมวิชาการของคณะกรรมการสั�วแพทยศาสตร์ ในครั้งนี้ จะช่วยกระตุ้นให้มีการพัฒนาทางด้านวิชาชีพสั�วแพทย์มากขึ้น อันจะเป็นประโยชน์ทั้งต่อนักวิชาการ ตัวองค์กร สังคม และประเทศชาติในที่สุด



รองศาสตราจารย์ ดร.สุจิตน์ จันทร์วงศ์

อธิการบดี

มหาวิทยาลัยเทคโนโลยีมหานคร

สารจากคณบดี

คณบดีคณะสัตวแพทยศาสตร์ มหาวิทยาลัยเทคโนโลยีมหานคร ได้ก่อตั้งขึ้นเมื่อปี พ.ศ.2535 เป็นต้นมาจนถึงปัจจุบันได้ผลิตบัณฑิตไปรับใช้ประเทศไทย รวมทั้งสิ้น 10 รุ่น จำนวนประมาณ 400 คน บัณฑิตสัตวแพทย์เหล่านี้ได้เข้าทำงานรับใช้สังคมและประเทศชาติทุกภาคส่วน ทั้งภาครัฐบาลและภาคเอกชนมาเป็นระยะเวลา 15 ปีเศษ และเพื่อเป็นการเฉลิมฉลองเนื่องใน วโรกาสมหามงคลเฉลิมพระชนมพรรษาของพระบาทสมเด็จพระเจ้าอยู่หัว ครบรอบ 80 พรรษา 5 ธันวาคม 2550 นอกจากนั้นยังมีความต้องการเป็นส่วนร่วมในการเผยแพร่พัฒนาองค์ความรู้ความชำนาญทางด้านวิชาชีพทางสัตวแพทย์ ในสาขาต่างๆ ให้เทียบเท่าระดับสากล เพื่อบรรลุวัตถุประสงค์ดังกล่าว ทางคณบดีคณะสัตวแพทยศาสตร์ มหาวิทยาลัยเทคโนโลยีมหานคร จึงจัดให้มีการประชุมวิชาการทางสัตวแพทย์ ครั้งที่ 1 ขึ้น ในวันที่ 18-19 ตุลาคม พ.ศ.2550 ณ โรงแรมรามาการ์เด้น กรุงเทพมหานคร ผสมผสานความเชี่ยวชาญทางสัตวแพทย์ ครั้งที่ 1 ทุกท่านที่เข้าร่วมประชุม ตามวัน เวลา ดังกล่าวข้างต้น ด้วยความยินดียิ่ง

ขอขอบคุณวิทยากรผู้ทรงคุณวุฒิทุกท่านจากหน่วยงานของรัฐบาล และหน่วยงานของเอกชน และขอขอบคุณผู้ให้การสนับสนุนกิจกรรม ทุนทรัพย์ โดยเฉพาะบริษัทห้างร้านต่างๆ สุดท้ายขอขอบคุณคณะกรรมการจัดการประชุมทุกท่านที่เสียสละเวลา กำลังกาย กำลังใจ ทำให้การจัดงานครั้งนี้สำเร็จไปได้ด้วยดี



(รองศาสตราจารย์ น.สพ.ดร.ไพบูลย์ ยุติครี)

คณบดีคณบดีคณะสัตวแพทยศาสตร์

มหาวิทยาลัยเทคโนโลยีมหานคร

สารจากประธานคณะกรรมการ จัดการประชุมวิชาการทางสัตวแพทย์ มกม. ครั้งที่ 1 ประจำปี 2550

ปีนี้จัดเป็นปีมหามงคลที่พระบาทสมเด็จพระเจ้าอยู่หัวทรงมีพระชนม์มายุครบ 80 พรรษา คณะสัตวแพทยศาสตร์ มหาวิทยาลัยเทคโนโลยีมหานคร มีความสำนึกรักภูมิคุณของพระองค์ท่านที่มีต่อ พลศึกษารชาวไทย และร่วมเฉลิมฉลองในโอกาสสมมาลงคลยิ่งนี้จึงได้จัดงานประชุมทางวิชาการทางสัตวแพทย์ มกม. ครั้งที่ 1 ประจำปี 2550 (The 1st MUT Veterinary Medicine Conference 2007) กำหนดขึ้นภายใต้ หัวข้อเรื่อง “สัตวแพทย์ก้าวหน้า ปศุสัตว์ก้าวไกล ได้ด้วยเทคโนโลยี (Technology Improved Livestock Development and Animal Life)” ซึ่งการประชุมวิชาการฯ ครั้งนี้ประกอบด้วยการนำเสนอข้อมูลทางวิชา การจากผู้ทรงคุณวุฒิทั้งส่วนของสัตว์เลี้ยง อาทิ เช่น การตรวจวินิจฉัยทางจักษุวิทยาและระบบประสาท การใช้ เทคนิคทางรังสีวิทยาช่วยในการวินิจฉัยในช่องอก การจัดการทางคลินิกสำหรับปลาสวยงาม ส่วนทางปศุสัตว์มี การประยุกต์ใช้เทคโนโลยีที่ทันสมัยสำหรับการส่งเสริมวิชาชีพด้วย เช่น การใช้ใบโพเทลล์ทางด้าน In Vitro Fertilization, Cloning and stem cell การตรวจ Fingerprint รวมทั้ง การประยุกต์ความรู้ทางภูมิคุ้มกันวิทยา สำหรับใช้ในการวินิจฉัยและการพัฒนาวัคซีน นอกจากนี้มีการเสนอผลงานวิจัยจากนักวิชาการในสาขาต่างๆ ที่ น่าสนใจทั้งในส่วนบรรยายและโปสเตอร์

ในฐานะประธานคณะกรรมการจัดประชุมวิชาการทางสัตวแพทย์ มกม. ครั้งที่ 1 ประจำปี 2550 ยินดี ต้อนรับท่านผู้เข้าร่วมวิชาการทุกท่าน หวังเป็นอย่างยิ่งที่การจัดการประชุมทางวิชาการฯ ในครั้งนี้จะเป็นเวที ทางวิชาการที่จะเป็นประโยชน์สำหรับทุกท่าน



อาจารย์นายสัตวแพทย์ ดร.スマรต์ บรรณจิรกุล
ประธานคณะกรรมการจัดประชุมวิชาการทางสัตวแพทย์ มกม.
ครั้งที่ 1 ประจำปี 2550

คำไว้อาลัย แด่ รองศาสตราจารย์ ดร.สาโรช ค้าเจริญ



ท่านรองศาสตราจารย์ ดร.สาโรช ค้าเจริญ อธีตอาจารย์ประจำคณะสัตวแพทยศาสตร์ มหาวิทยาลัยเทคโนโลยีมหานคร และที่ปรึกษาคณะกรรมการจัดงานประชุมวิชาการสัตวแพทย์มห. ครั้งที่ 1 ประจำปี 2550 เป็นผู้หนึ่งที่ช่วยให้คำแนะนำ คำติชม ที่ทางคณะกรรมการฯ ได้รับมาปฏิบัติให้เกิดเป็นมรรคผล อาจารย์สาโรช จะเป็นผู้ที่คอยให้กำลังใจและสนับสนุนคณะกรรมการฯ ในทุกครั้งที่อยู่ในช่วงวิกฤต นับแต่การประชุมคณะกรรมการฯ ในครั้งแรก ท่านเคยประภากและแสดงความห่วงใยอย่างจริงใจ ซึ่งผมในฐานะประธานกรรมการฯ รู้สึกประทับใจและมีความปลบลับปลื้มที่ท่านได้แสดงน้ำใจให้คณะกรรมการฯ เป็นที่น่าเสียใจและเสียดายเป็นอย่างยิ่งที่ท่านได้จากพวงเราไปอย่างกะทันหัน ขอขอบคุณที่ได้รับความร่วมมืออย่างมากในการดำเนินการ ไว้อาลัยแด่ท่านรองศาสตราจารย์ ดร.สาโรช ค้าเจริญ หากท่านสามารถรับรู้ด้วยญาณวิถีได้ ก็ตาม ขอให้ท่านได้รับรู้ว่าพวงเราขอแสดงความขอบพระคุณแด่ท่าน และขอให้ท่านได้มีความสงบสุขในสุดท้ายของชีวิต

อาจารย์นายสัตวแพทย์ ดร.สำราญ บรรณจิรกุล
ประธานคณะกรรมการจัดงานประชุมวิชาการสัตวแพทย์ มกม.
ครั้งที่ 1 ประจำปี 2550

กำหนดการ

การประชุมวิชาการสัตวแพทยศาสตร์ มกม. ครั้งที่ 1 ประจำปี 2550

ในวันที่ 18-19 ตุลาคม พ.ศ.2550 ณ โรงแรม รามาการ์เด้น อาคาร Convention center

วันพฤหัสบดีที่ 18 ตุลาคม พ.ศ.2550

เวลา	Convention Room	Lavender Room
08.30-09.00 น.	ลงทะเบียน - ผู้เข้าร่วม	
09.15-10.30 น.	Small animal clinical ophthalmology (Clinical management of ulcerative keratitis)	Biotechnology (In Vitro fertilization)
	พัก-อาหารว่าง-ชมปโสเทอร์	
10.45-12.00 น.	Small animal clinical neurology (Rehabilitation for neurogenic patient)	Biotechnology (Cloning and stem cell)
	พักรับประทานอาหารเที่ยง	
13.00-14.30 น.	Ovariohysterectomy: When, Why and its complication	The examination of genetic fingerprint for improvement of the parent in cattle
	พัก-อาหารว่าง-ชมปโสเทอร์	
14.45-16.15 น.	Small animal clinical radiology (Thoracic radiographic interpretation)	Oral Presentation / Special presentation

วันศุกร์ที่ 19 ตุลาคม พ.ศ.2550

เวลา	Convention Room	Lavender Room
08.30-09.00 น.	ลงทะเบียน	
09.15-10.30 น.	Update for the current situation and enhancement of academic affair of Avian Influenza	Immunology of infectious disease (Diagnosis and vaccine development)
	พัก-อาหารว่าง-ชมปโสเทอร์	
10.45-12.00 น.	How to predict the optimal time for insemination in dog ?	Clinical management for ornamental fish
	พักรับประทานอาหารเที่ยง	
13.00-14.30 น.	Success in business management for small animal hospital (Panel discussion)	หลักการเลือกใช้ยาปฏิชีวนะในสัตว์เลี้ยง (How to use antibiotics in companion animals)
	พัก-อาหารว่าง-ชมปโสเทอร์	
14.45-16.15 น.	Success in business management for small animal hospital (Q & A)	ข้อพิจารณาในการทำวัคซีนในสัตว์เลี้ยง (Vaccine consideration in companion animals)

รายนามวิทยากรผู้ทรงคุณวุฒิ

1. ศ.ดร. นพ. ดร. บัณรงค์ โลหิต

คณะสัตวแพทยศาสตร์ จุฬาลงกรณ์มหาวิทยาลัย
วันที่ 18 ตุลาคม 2550 เวลา 13.00-14.30 น.

Convention Room

- Ovariohysterectomy: When, Why and its complication

วันที่ 19 ตุลาคม 2550 เวลา 13.00-14.15 น.

Convention Room

- Success in business management for small animal hospital

2. ศ.ดร. นพ. ดร. สุดสรร ศรีไวทยพงศ์

คณะสัตวแพทยศาสตร์ จุฬาลงกรณ์มหาวิทยาลัย
วันที่ 19 ตุลาคม 2550 เวลา 10.45-12.00 น.

Convention Room

- How to predict the optimal time for insemination in dog?

3. ศ.ดร. นพ. ดร. จรศักดิ์ ตั้งตรงไฟโรจน์

หน่วยอายุศาสตร์สัตว์นำ คณะสัตวแพทยศาสตร์
จุฬาลงกรณ์มหาวิทยาลัย

วันที่ 19 ตุลาคม 2550 เวลา 10.45-12.00 น.

Lavender Room

- Clinical management for ornamental fish

4. นพ. บดินทร์ ตีระพัฒน์

คณะสัตวแพทยศาสตร์ มหาวิทยาลัยเกษตรศาสตร์
วันที่ 18 ตุลาคม 2550 เวลา 10.45-12.00 น.

Convention Room

- Small animal clinical neurology

(Rehabilitation for neurogenic patient)

5. ศ.ดร. กวีศักดิ์ สิงเสริม

คณะสัตวแพทยศาสตร์ มหาวิทยาลัยเกษตรศาสตร์
วันที่ 19 ตุลาคม 2550 เวลา 09.15-10.30 น.

Convention Room

- Update for the current situation and enhancement of academic affair of Avian Influenza

6. นพ. สมเกียรติ หัวยันกึก

คณะสัตวแพทยศาสตร์ มหาวิทยาลัยทิดล
วันที่ 18 ตุลาคม 2550 เวลา 14.45-16.15 น.

Convention Room

- Small animal clinical radiology
(Thoracic radiographic interpretation)

7. ดร. ธีรสรค์ พาลเม่าย

สำนักวิชาเทคโนโลยีการเกษตร
มหาวิทยาลัยเทคโนโลยีสุรนารี

วันที่ 18 ตุลาคม 2550 เวลา 10.45-12.00 น.

Lavender Room

- Biotechnology (Cloning and stem cell)

8. ศ.ดร. วันเพ็ญ บัณฑิมา

มหาวิทยาลัยธรรมศาสตร์ ศูนย์รังสิต
วันที่ 18 ตุลาคม 2550 เวลา 14.45-16.15 น.

Lavender Room

- Immunology of infectious disease
(Diagnosis and vaccine development)

9. ดร. มาลี อภิเมธธารง

สำนักเทคโนโลยีชีวภาพการผลิตปศุสัตว์ กรมปศุสัตว์
วันที่ 18 ตุลาคม 2550 เวลา 09.15-10.30 น.

Lavender Room

- Biotechnology (In Vitro Fertilization)

10. นพ. กัลยา เก่งวิทย์ธรรม

สำนักเทคโนโลยีชีวภาพการผลิตปศุสัตว์ กรมปศุสัตว์
วันที่ 18 ตุลาคม 2550 เวลา 13.00-14.30 น.

Lavender Room

- The examination of genetic fingerprint for improvement of the parent in cattle

11. นพ. กันตนา มงคลรีสวัสดิ์

บริษัท เอ็น ทู เอ็น อะเตอร์เทรด จำกัด
วันที่ 18 ตุลาคม 2550 เวลา 09.15-10.30 น.

Convention Room

- Small animal clinical ophthalmology
(Clinical management ulcerative keratitis)

12. นพ. บุญชู ทองเจริญพูลพร

โรงพยาบาลสัตว์ทองหล่อ
วันที่ 19 ตุลาคม 2550 เวลา 13.00-16.15 น.

Convention Room

- Success in Business management for small animal hospital

13. นพ. บุญเลิศ ปริชาตั้งกิจ

โรงพยาบาลสัตว์กรุงเทพนนท์
วันที่ 19 ตุลาคม 2550 เวลา 13.00-16.15 น.

Convention Room

- Success in Business management for small animal hospital

14. ศ. ดร. นพ. ภราดา พลสุวรรณ

สัตวแพทย์ 4 โพลีคลินิก
วันที่ 19 ตุลาคม 2550 เวลา 13.00-16.15 น.

Convention Room

- Success in Business management for small animal hospital

15. นพ. พีระเชษ อัศวหน้าเมือง

โรงพยาบาลสัตว์รัตนนาธิเบศร์
วันที่ 19 ตุลาคม 2550 เวลา 13.00-16.15 น.

Convention Room

- Success in Business management for small animal hospital

รายนามผู้สนับสนุนงานประชุมวิชาการ สัตวแพทยศาสตร์ มกม. ครั้งที่ 1 ประจำปี 2550

ผู้สนับสนุนหลัก

บริษัท อินเตอร์ เว็บ (ประเทศไทย) จำกัด
บริษัท เบสท์ อีควิปเม้นท์ เซ็นเตอร์ จำกัด

ผู้สนับสนุนรอง

บริษัท เพอร์เฟค คอมพานี้ยน จำกัด
บริษัท แอนค์โก้ โปรดักส์ จำกัด
บริษัท เชอร์ง-พรา瓦 แอนิมัล เฮลธ์ จำกัด
บริษัท โนเวล อินเตอร์เทรด จำกัด
บริษัท เอ็น ทู เอ็น อินเตอร์เทรด จำกัด
บริษัท ฟอร์ท ดอตจี แอนิมัล เฮลธ์ (ไทยแลนด์) จำกัด
บริษัท ยู.เอฟ.โอ.เชียงใหม่ เชอร์จิคอล อินสทรูเม้นท์ จำกัด
บริษัท เวท อะกริเทค จำกัด
บริษัท กิสส์ มาร์เก็ตติ้ง จำกัด

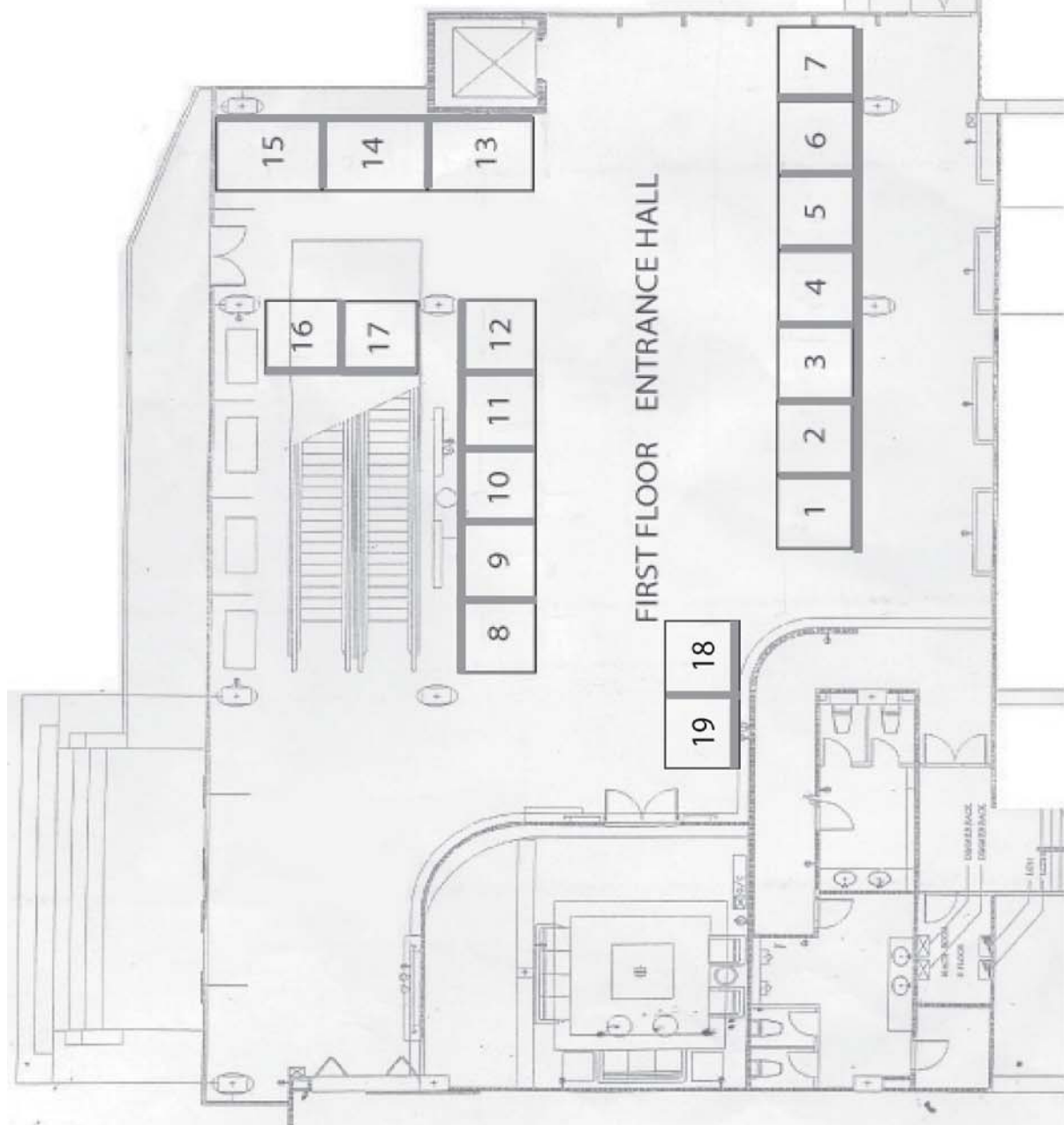
ผู้สนับสนุน

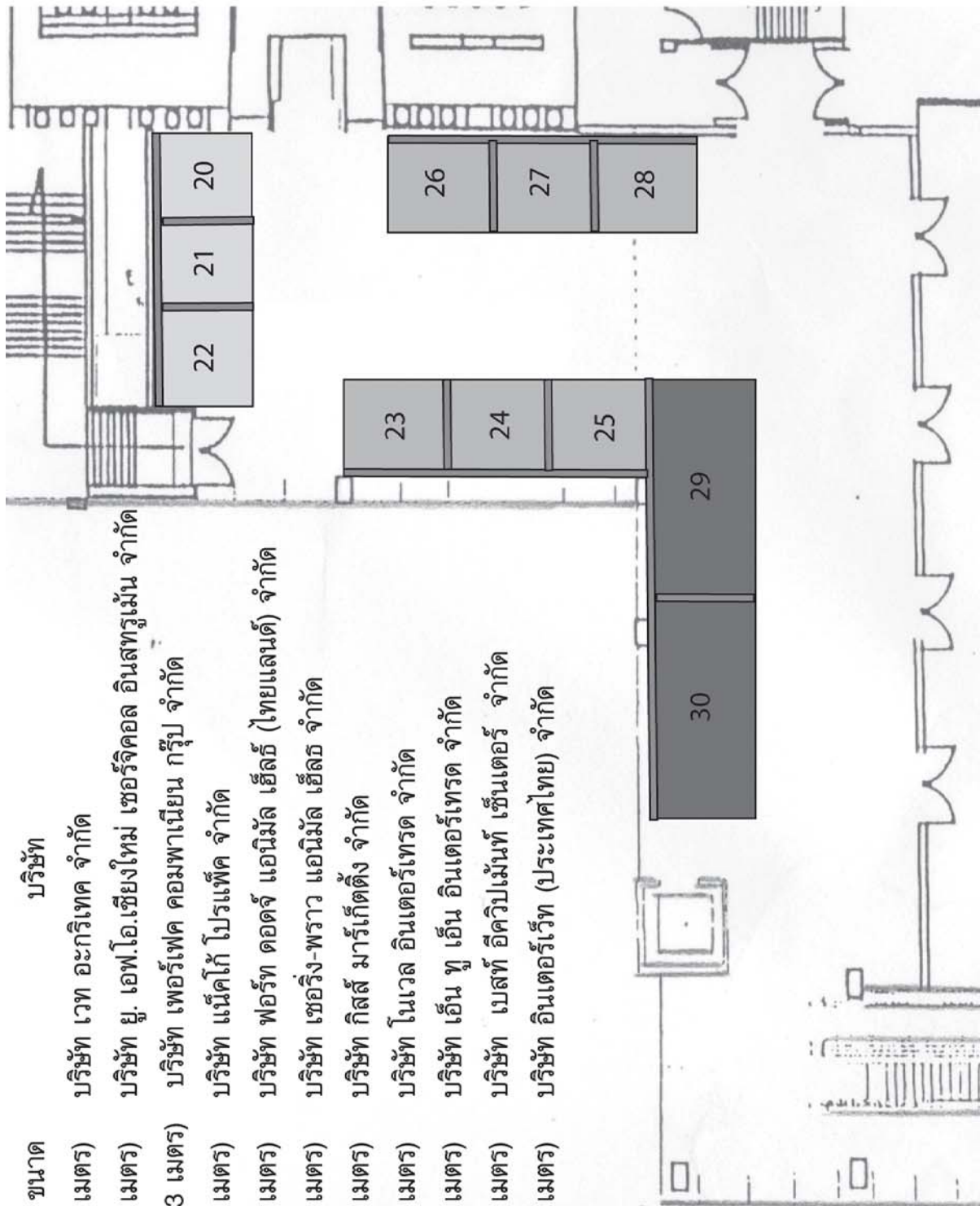
ห้างหุ้นส่วนจำกัด ที.เจ.แอนิมัล เฮลท์
บริษัท เบสท์อะโกร จำกัด
บริษัท บี เอ็น ชูพีเรียมาร์เก็ตติ้ง จำกัด
บริษัท ดีทแมล์ม จำกัด
บริษัท ดีทแมล์ม จำกัด
บริษัท คงศักดิ์เอ็กซเรียร์การแพทย์ อุตสาหกรรม จำกัด
บริษัท เจนเทค อินเตอร์เนชั่นแนล จำกัด
บริษัท ไฟเซอร์ (ประเทศไทย) จำกัด
บริษัท เพ็ทเวิลด์ เซ็นเตอร์ จำกัด
บริษัท สมาร์ทเว็บ แอนด์ เพ็ท จำกัด
บริษัท แอนนิเทค โทเทิล โซลูชั่น จำกัด
ห้างหุ้นส่วนจำกัด ปรกรณ์ภัณฑ์ เมดิคอล ชัพพลาย
บริษัท ยูโนเวท เน็ตเวิร์ค จำกัด
บริษัท ไมโอเทคโนโลยี จำกัด
บริษัท แอดาวนช์ เวททราชูติคอล จำกัด
บริษัท จงที (ไทย) อิมพอร์ต เอ็กพอต จำกัด
บริษัท ศูนย์สรรพลสินค้าสัตว์เลี้ยง จำกัด (นิตยสาร VPN)
บริษัท เวท พรีเมี่ยร์ จำกัด

ชั้นดาดฟุ้ง 2x2 เมตร

เบอร์ 1 บริษัท คงศักดิ์เอ็กซ์เพรส เก็บเงิน จ.ส.

- เบอร์ 2 บริษัท ยูไนเต็ด เน็ตเวิร์ค จ.ส.
- เบอร์ 3 บริษัท เวท พาร์มิเชอร์ จ.ส.
- เบอร์ 4 บริษัท เพทเวลล์ เช็นเตอร์ จ.ส.
- เบอร์ 5 บริษัท พายต์ เมือง จ.ส.
- เบอร์ 6 บริษัท แอนเนิล โภท ให้เช่า ใช้เชื้อ จ.ส.
- เบอร์ 7 บริษัท ไฟซอร์ (ประเทศไทย) จ.ส.
- เบอร์ 8 ห้างหุ้นส่วนจำกัด ที.เจ.แอนด์.แอล. แอล.ที.
- เบอร์ 9 บริษัท บีสท์ อีโคโนว์ จ.ส.
- เบอร์ 10 บริษัท บี เอ็น ชูพาร์ค รีเทลติ้ง จ.ส.
- เบอร์ 11 บริษัท ดีทีบีสี.ม จ.ส.
- เบอร์ 12 บริษัท ดีทีบีสี.ม จ.ส.
- เบอร์ 13 บริษัท เอ็นทีค อินเตอร์เนชันแนล จ.ส.
- เบอร์ 14 บริษัท ไมโครไฟฟ์ จ.ส.
- เบอร์ 15 บริษัท แอดวานซ์ เวนเจอร์ส จ.ส.
- เบอร์ 16 บริษัท จูที (ไทย) อิมพอร์ต เอ็กซ์ปอร์ต จ.ส.
- เบอร์ 17 ห้างหุ้นส่วนจำกัด ปาร์คเม้นท์ เมดิคอล ชัพพลาย
- เบอร์ 18 บริษัท เวิลด์วาย เมดิคอล เซอร์วิส จ.ส.





สารบัญ

Radiographic interpretation Cardiothoracic Radiography	1
อ. สมเกียรติ ห้วยจันทึก	
การกำหนดระยะเวลาในการผสมพันธุ์หรือผสมเทียมสุนัข	10
How to predict the optimal breeding or insemination time in dog	
รองศาสตราจารย์ น.สพ.ดร.สุดสรร ศิริโวทยพงศ์	
การปฏิสนธินอกร่างกาย (In Vitro Fertilization : IVF)	13
มาลี อภิเมธีธรรม	
เทคโนโลยีการผลิตตัวอ่อนโดยการໂຄລນິ້ນ	20
ดร.รังสรรค์ พาลพาย	
การใช้ลายพิมพ์ดีเอ็นเอเพื่อพิสูจน์พ่อ-แม่-ลูกในโค	29
DNA Fingerprint for Parentage analysis in Cattle	
กัลยา เก่งวิทย์กรรม วิญญาณ ตุลารักษा	
การจัดการโรคในปลาสวยงาม	40
Clinical Management Ornamental Fish	
รศ.น.สพ.ดร.จิรศักดิ์ ตั้งตรงไฟโรจน์	
 Oral Presentation	 55
การศึกษาเบื้องต้นของการย่อยได้ของกรดไขมัน	56
ในสุกรรุ่น-ชุนที่ได้รับอาหารผสมไขว้หรือน้ำมันกานตะเวน	
A preliminary study on digestion of individual fatty acids in growing-finishing pigs fed diets containing either beef tallow or sunflower oil	
จำลอง มิตรชาวดีไทย เฉลิมพล เยื่องกลาง สุนทร วิทยาคุณ ไกรสิทธิ วงศ์พิญ ศศิพันธ์ วงศ์สุทธอร瓦ส ไพรวัลย์ ศรีนาวนว โรเบิร์ต โซวีเนียร์ และ แอนโทน ชี ไบเน็น	
การศึกษาบททวน เพื่อเปรียบเทียบการตอบสนองต่อการใช้ออร์โนน พรอสຕ้าແກລນດิน	63
เหนี่ยวนำการเป็นสัดในแม่โคนม ด้วยวิธีการฉีดเข้ากล้ามเนื้อ การฉีดเข้าblood	
และการฉีดเข้าเยื่ออเม็อกปากห้องคลอด	
Review Study of the Comparison on Response of Estrus Induction in Dairy Cows by Intramuscular, Intraischiorectal fossa and Intravulvosubmucosa Injection of Prostaglandin F_{2α}	
จตุพร กระจายครี	
Sex Identification of Some Psittacine Birds by Polymerase Chain Reaction	71
Chanathip Thammakarn Apichart Punchukrang	
Kanya Jirajaroenrat Kanokrat Srikijsasemwat	

ผลของการลดขนาดฮอร์โมนเօฟోసాహచต่อการตอบสนองการกระตุ้นเพิ่มการตกไข่ และตัวอ่อนที่ได้ในโคพันรุบร้า荷มัน : กรณีศึกษา	72
Effect of Reduced FSH Dose on Superovulatory Response and Embryo Yield in Brahman Cows : A Case Study	
ณรงค์ เลี้ยงเจริญ อนันท์ เทืองสันเทียะ กีรติ อิจเจ บันลือ กล้ำழ พีระพงษ์ สำราญทรัพย์ สุรัสิทธิ์ ดวงสอนยา จุรีรัตน์ สำเร็จประสงค์ และ มาลี อภิเมธีอิริยะ	
การสำรวจความสัมพันธ์และความสอดคล้องระหว่างความเข้มข้น ของโปรเจสเตอโรนในชั้นรั่นกับการแสดงออกของอาการเป็นสัดในกระบือปลักไทย (<i>Bubalus bubalis</i>) : การศึกษาเบื้องต้น	73
ธีชนก พิไชยคุณ จันทร์เพ็ญ สุวิมลธีระบุตร ชาญชัย อัศฤกษ์ จิรุตม์ รัตนเทพ มงคล เดชะกำพู	
การพัฒนาอุปกรณ์ฉีดยาสัตว์ระยะไกล Development of veterinary injector (Vet remote injection equipment)	80
เฉลิมพงศ์ จิรพุฒิศิริ สมพัสดร พูนสุข	
Poster Presentation	
แกะรอยมาจากการเชื้อราที่ล้ำใส่ใหญ่ของสุนัข: case report	82
หนงศักดิ์ มะمم	
มะเร็งเต้านมชนิด mixed mammary tumor ในแมว	84
อารยา อนุ่มพรวรณ หนงศักดิ์ มะمم	
การผลิตลูกโคพันเมืองไทยและโคนมด้วยเทคนิคการเก็บเซลล์ไข่ ผ่านทางผนังช่องคลอดและการปฏิสนธินอกร่างกาย	85
Production of Thai Native and Dairy Calves Using OPU and IVF Techniques	
มาลี อภิเมธีอิริยะ อนันท์ เทืองสันเทียะ ณรงค์ เลี้ยงเจริญ, กีรติ อิจเจ และ จุรีรัตน์ สำเร็จประสงค์	
Determination of nitrofurans in animal feeds by LC/MS Ion Trap.	86
Wittaya Sungthong Piromporn Tuantumkaew Suttiporn Piriayon, Wilawan Kotesompat and Sriumporn Ardsri	
Electron Microscopic Studies on Brachial Glands of the Slow Loris	87
Kazumi Taniguchi Piboon Yutisri Luxsana Prasittichai Suppaluk Kaewkwan Waradee Buddhakosai Doungjit Kanungpean Jitra Sanisuriwong Chatmongkol Pracharoenwanich Anuwat Wattananorrasate Pongsiwa Sotthibandhu Jun Saito Kazuki Yoshioka and Ken-ichiro Mutoh	

Radiographic interpretation

Cardiothoracic Radiography

อ. สมเกียรติ ห้วยจันทึก

ภาควิชาเวชศาสตรคลินิกและการสาธารณสุข คณะสัตวแพทยศาสตร์ มหาวิทยาลัยมหิดล

สังก์ค้วรรักก่อนการแปลผลซ่องอก

- Radiographic anatomy
- Positioning
- Phase of respiration
- Technical factor
- View pattern

1. Radiographic positioning

ปกติเราจะใช้ท่า lateral recumbency (right/left)

กับท่า Ventrodorsal or dorsoventral ส่องท่านี้เป็นมาตรฐานหรือในรายที่ต้องการวิเคราะห์ที่ซัดเจนหลายอย่างๆ เช่น การตรวจหา metastasis ของเนื้องอกไปที่ปอดให้ถ่ายทั้งสองท่า คือ Right and left lateral ซึ่งอาจจะถ่ายอนหนาหรืออนคู่ว่าหรือไม่เกิดเหตุผลเนื่องจากถ้ามีวิเคราะห์ที่ปอดด้านใดด้านหนึ่งแล้วอาจทำให้มองไม่เห็นได้ถ้าเราถ่ายเพียงท่าเดียว ยกตัวอย่างเช่น ถ้าวิเคราะห์ปอดด้านซ้ายแต่เราจัดท่าสัตว์ให้นอนตะแคงซ้าย ปอดทางด้านซ้ายจะแนบและเราจะมองความแตกต่างระหว่างก้อนผิดปกตินั้นกับเนื้อปอดปกติไม่ออก ส่วนท่า Dorsoventral จะมีประโยชน์ในการตรวจวิเคราะห์ Caudal lobar pulmonary arteries. ท่า Decubitus และ erect ventrodorsal projection ใช้ตรวจ fluid ใน pleural space ขาหน้าไม่ควรมาบังช่องอก เพราะอาจจะทำให้เข้าใจผิดว่าปอดกลืนหน้ามีของเหลว (soft tissue opacity) ได้ ในการจัดท่าถ่ายทั้งสองตะแคงซ้ายหรืออนหนาหรือคู่ให้ใช้ฟอร์มรองกระดูก sternum เพื่อไม่ให้เกิด distortion ของหัวใจระหว่างเรื่องเงามัวจากภาพใหญ่วิธีการแก้ปัญหาให้ลดเวลาที่ตั้งบนเครื่องลง

ให้น้อยที่สุดเท่าที่จะทำได้

โดยปกติถ้าต้องการถูวิเคราะห์ใจให้ถ่ายท่านอนตะแคงขวา (right lateral recumbency) เพื่อไม่ให้เงาของหัวใจดูโตกว่าปกติ (ท่านี้หัวใจจะดูเป็นรูปไข่แต่ถ้าหัวใจจะดูกลมกว่าอาจทำให้เข้าใจผิดว่าหัวใจห้องขวาโตได้) ส่วนนอนคู่จะดูหัวใจได้ดีกว่านอนหนาเนื่องจากหัวใจจะนิ่งไม่เคลื่อนไหวและอยู่ชิดกับพิล์มมากกว่า (อยู่ติดพิล์มภาพจะเหมือนจริงมากที่สุด)

2. Phase of Respiration

• ช่วงหายใจเข้าออกมีผลต่อคุณภาพพิล์ม ช่วงหายใจออกจะทำให้ช่องอกดูขาวขึ้น (radiopaque) กว่าปกติอาจทำให้เข้าใจผิดว่าเกิด right heart enlargement

• ในสุนัขภาพรังสีของการหายใจเข้าสุดจะดูจาก crura ของกระดูก盆ไปตัดกับ body ของ thoracic vertebrae ที่ 11

3. Technical factor

ภาพรังสีช่องอกควรใช้เวลาในการถ่ายสั้นที่สุดเท่าที่จะทำได้ การใช้เวลาห้อยทำให้ต้องเพิ่ม kVp ซึ่งมีผลทำให้ภาพรังสีช่องอกมี longer grey scale และลดการเกิดภาพมัวจากการไฟ แนะนำให้ใช้ Grid เมื่อช่องอกมีขนาดมากกว่า 15 cm เพื่อลด scatter rays ยกเว้นในกรณีที่สัตว์มีความหนาน้อยกว่า 15 cm แต่สัตว์อ้วน มีก้อนในช่องอกขนาดใหญ่หรือมีน้ำในช่องอกก็พิจารณาใช้ได้ ในการล้างพิล์ม ถ้าเป็น manual processing ควรควบคุมอุณหภูมิ ($18-22^{\circ}\text{C}$) กับเวลา (4 นาที) ในเมืองไทยอากาศร้อนอาจจะใช้เวลาเร็วกว่านั้น ในกรณีที่เครื่องเอกซเรย์มีกำลังต่ำให้ใช้ screen กับพิล์มที่มีความไวสูงเพื่อชดเชยกำลังของ

เครื่อง (ใช้ speed ฟิล์มกับ screen 400 หรือ 800 กีดี) ตัวฟิล์ม blue จะมี speed 200-250 แต่ Green จะมี speed มากกว่า 400 ในแมวจะใช้ speed 100-250 ซึ่งจะให้รายละเอียดมากกว่าฟิล์มที่มี speed สูงๆ

4. Interpretation

เป็นส่วนสำคัญที่สุด การแปรผลจะสมบูรณ์ก็ต่อเมื่อคุณภาพฟิล์มได้มาตรฐาน สถานที่อ่านฟิล์มจะต้องเป็นห้องมีดีที่ไม่ควรมีแสงรบกวนจากภายนอกดับไฟให้สนิทจะเห็นภาพได้ชัดและละเอียดมากขึ้น ความไวไฟแรงเทียนสูง (> 100 แรงเทียน) เพื่อใช้ดูบริเวณที่มีความ深มากเกินไปหรือความมีเว้นขยายเพื่อคุณภาพเอียดขนาดเล็กมาก วางแผ่นฟิล์มบนตู้ดูฟิล์มให้ถูกต้อง พิจารณาหรือตรวจสอบจุดฟิล์มจากบริเวณส่วนนอกเข้ามาด้านใน วิการที่เกิดขึ้นให้ข้ามไปก่อนหลังจากดูจนทั่วแล้วค่อยกลับมาตรวจสอบเอียดอีกที ใช้เวลาในการตรวจเบื้องต้นมองให้ทั่วฟิล์มประมาณ 2-3 นาทีถ้าไม่พบวิการอะไรที่ชัดเจนให้กลับมาดูซ้ำอีกครั้ง (ดูมากก็ผิดมาก) แต่จะพบว่าถ้าดูกันหลายคนจะช่วยลดความผิดพลาดได้

5. View pattern

- เริ่มแรกให้ตรวจความผิดปกติของระบบ Cardiovascular (ตรวจความผิดปกติของหัวใจและหลอดเลือด)
 - ต่อมมาให้ตรวจ pulmonary parenchyma and major airway (trachea/bronchi)
 - ตรวจ Mediastinum structure (L.N. , esophagus)
 - ต่อมาระบบ Pleural space, chest wall and diaphragm
 - สุดท้ายตรวจ Extra-thoracic structure

Cardiovascular system

ฝึกบทวนภาพรังสีปกติของหัวใจและหลอดเลือดในช่องอกของแมวและสุนัข ซึ่งต้องทำความเข้าใจว่าเราใช้อะไรเป็น Criteria ในการบ่งบอกว่าโครงสร้าง

นั้นปกติหรือผิดปกติสิ่งที่จะกล่าวถึงต่อไปนี้จะใช้เป็นตัววัดเบื้องต้นสำหรับประเมินขนาดของหัวใจและเส้นเลือดทางภาพรังสี

Vertebral Heart Size

• ในสุนัข (Dog)

Long axis : วัดระยะทางระหว่างขอบด้านล่างของ left main caudal lobar bronchus ไปจนถึงภาพเงาของ Cardiac apex

Short axis : วัดส่วนที่กว้างที่สุดของหัวใจในแนวที่วัดตั้งฉาก กับ long axis

ให้บวกค่าที่ได้ ของ Long axis กับ short axis นำไปวัดกับ Cranial end ของ thoracic vertebrae body โดยตั้งต้นที่ T4 ในท่า lateral view. โดยมีค่า Mean เท่ากับ 9.7 หรืออยู่ในช่วง (8.7-10.7) ถ้าว่านาเขือถือมากน้อยขนาดไหน จากรายงานการทดลองซ้ำของ Lamb et all พบว่า มีข้อจำกัดหลายอย่าง และยังพบว่ามี ค่า sensitivity 76%, specificity 80% เท่านั้นหมายความว่าการแปรผลนั้นยังจำเป็นที่จะต้องระมัดระวังอย่างยิ่งเมื่อจะใช้วิธีนี้ สิ่งสำคัญที่ผู้แปลต้องคำนึงถึงมากที่สุด คือ **Breed Variation** ยกตัวอย่างเช่น

- All breeds 8.7 - 10.7
- Boxer 10.0 - 13.2
- Labrador 9.6 - 12.0
- Cavalier king charles spaniel 9.6 - 11.6

ข้อดีและข้อเสีย

1. ข้อดี

- สะดวก ง่ายและรวดเร็ว
- จะนำเข้าอีโคกราฟต่อเมื่อโรคหัวใจนั้นทำให้เกิด chamber dilation เช่น M.I. , T.I.

2. ข้อเสีย

- ถ้าวิการของโรคเปลี่ยนแปลงเล็กน้อยไม่สามารถบอกได้

- ไม่สามารถตรวจหาวิการ concentric hypertrophy (Aortic stenosis)
 - การวัดต้องแม่นยำถูกต้องจริง
 - ขึ้นอยู่กับลักษณะประจำพันธุ์
 - ไม่น่าเชื่อถือสำหรับสุนัขที่ใช้แข่งกีฬา
 - วิการที่มีการเปลี่ยนแปลงน้อยในกรณีของโรค heart worm diseases และ hypoadrenocorticism ซึ่งพบว่า มีการเพิ่มขึ้นของ VHS เพียง 30% และ 27% ตามลำดับ

Pulmonary artery diameter

• ในสุนัข (Dog)

1. ในท่า VD or DV

ขนาดเส้นผ่าศูนย์กลางของ pulmonary artery จะต้องไม่ใหญ่กว่าขนาดเส้นผ่าศูนย์กลางของ rib ที่ 9 ณ. ตำแหน่งที่ตัดกันพอดีของทั้งสอง

2. ในท่า Lateral

ขนาดเส้นผ่าศูนย์กลางของเส้นเลือดแดง right cranial lobar pulmonary artery ที่วิ่งมาตัดกับกระดูกซี่โครงที่ 4 ไม่ควรกว้างกว่าขนาดเส้นผ่าศูนย์กลางของกระดูกซี่โครงที่ 4 ตรง proximal end เส้นเลือด artery และ vein จะต้องมีขนาดเท่ากัน

Vertebral Heart size

In Cat

Long axis : วัดระยะทางระหว่างขอบด้านล่างของ left main caudal lobar bronchus ไปจนถึง **Cardiac apex**

Short axis : วัดส่วนกว้างที่สุดของหัวใจในแนวตั้งจากกับ long axis

การวัดทั้งหมดเหมือนในสุนัข แต่ค่า VHS นี้จะน่าเชื่อถือน้อยในกรณี Myocardial hypertrophy หรือสาเหตุใดก็ตามที่ทำให้เกิด concentric myocardial hypertrophy

Method of Van Den Broek and Darke

- Cranial to caudal cardiac dimension ของแมวไม่ควรจะกว้างกว่าระยะทางระหว่างขอบด้านหน้าของ Rib ที่ 5 กับขอบด้านท้ายของ Rib ที่ 7

Feline Cardiac Axis and Ascending aorta

- ภาพรังสีของแนวปกติอายุ 10 ปีขึ้นไปจะพบลักษณะ Horizontal alignment of Heart dimension (การเพิ่มการสัมผัสของหัวใจกับกระดูก sternum) และวิการของ aorta จะดูบิดเบี้ยวและคดเคี้ยวไปมา

Pulmonary Artery Diameter (Cat)

- ขนาดเส้นผ่าศูนย์กลางของ Caudal lobar pulmonary artery ปกติที่วัดได้ตรงตำแหน่ง intercostal space ที่ 9 ไม่ควรจะเกิน 1.6 เท่าของขนาดเส้นผ่าศูนย์กลางของซี่โครงที่ 9 ตรงตำแหน่งที่เส้นเลือดมาตัดกับซี่โครงนั้นพอดี

Right side Heart Enlargement

1. Lateral view

การเพิ่ม Cardiosternal contact โดยปกติ ส่วนปลายของ cardiac apex จะสัมผัสกับกระดูกหน้าอก (sternum) ได้ 1-2 sternum เท่านั้น แต่ในกรณีหัวใจห้องขวาโตต้องสัมผัสมากกว่า 3-4 sternum ส่วนปลายของ Cardiac Apex จะเบี่ยงไปทางด้าน Dorso-caudal direction และส่วนปลายของ apex หัวใจจะยกตัวห่างจาก sternum.

2. DV or VD view

ในท่านี้จะพบว่า อาจจะเห็นขอบเขตของหัวใจห้องขวาส่วน ventricle มากกว่าปกติเป็นผลทำให้เกิดรูปร่างหัวใจเป็นแบบรูปตัว D หัวกลับ (Invert D shape) Apex ของหัวใจจะเบี่ยงไปทางด้านซ้ายของเส้นกลางตัวแต่ต้องระวังในการตรวจ การจัดท่าหรือการหายใจ

ของสัตว์มาประกอบด้วย

สาเหตุที่ทำให้หัวใจผิดว่าหัวใจห้องขวาโต

- การเพิ่มขึ้นของ Cardiosternal contact ที่เกิดจาก Expiratory phase
 - การถ่ายท่า Left lateral recumbency อาจทำให้ apex ของหัวใจเกิดบิดไปทาง Dorsocaudal direction ได้

โดยทั่วไปเราจะตรวจวิเคราะห์หัวใจห้องขวาโตมักจำเป็นต้องยืนยันจากการถ่ายรังสีจากทั้งท่า lateral และ Dorsoventral หรือ Ventrodorsal view แต่ในกรณีหัวใจห้องซ้ายโตมักจะตรวจดูจากท่า Lateral มากกว่า กรณีที่สัตว์ป่วยด้วยโรคปอดเรื้อรังอาจจะทำให้หัวใจห้องขวาโตได้ (เจอได้บ่อยว่าถ่ายภาพหัวใจในท่า lateral แล้วเจอว่าหัวใจสัมผัส sternum มากกว่า 3 sternum แต่พอถ่ายท่า V.D. พบร่วงปกติแสดงว่าหัวใจห้องขวาปกติ) ทำความเข้าใจด้วยว่าเรามักจะแปลผลว่าหัวใจห้องขวาโตเสมอทั้งๆที่ปกติก็ได้ วิธีแก้คือ ส่งให้ทำ echocardiography และร่วมกับฟังเสียงหัวใจ

Left Heart Enlargement

Radiographic sign

ภาพความผิดปกติของหัวใจห้องซ้ายมักจะเห็นเมื่อถ่ายภาพรังสีสัตว์ในท่า Lateral view ส่วนหัว VD or DV จะมองเห็นได้ยาก

Lateral projection

- Cardiac silhouette is taller (straightened caudal cardiac border)
 - The trachea will be displaced dorsally direction
- A bulging left atrium will be seen on the dorsocaudal border
 - Displacement of the caudal lobar airway

Ventrodorsal projection

- A slight bulge in the two to four o' clock position of the cardiac silhouette (left auricle)
- An Opaque "mass" separating the caudal lobar airway.

General Heart Enlargement

เมื่อเราเห็นว่าหัวใจโตทั้งซ้ายและขวาเราก็แปลผลว่าเป็นหัวใจโตทั้งหมดก็ได้แต่การแปลผลให้แปลด้วยความระมัดระวังเนื่องจากหัวใจเมื่อเปรียบเทียบกันแล้วเราอาจจะพบว่าหัวใจห้องขวาโตอย่างเดียวแต่กินเนื้อที่เข้าไปในบริเวณที่เป็นห้องซ้ายได้แต่เมื่อตรวจด้วย VHS ก็พบว่ามีค่ามากกว่าปกติ หัวใจโดยรวมดูใหญ่ทั้งหมด แต่จริงๆแล้วหัวใจห้องขวาโตอย่างเดียว ดังนั้นจึงควรตรวจวิเคราะห์แต่ละห้องแยกออกจากกันก่อนร่วมกับการทำ echocardiography และค่อยดูโดยรวมและพิจารณาดูว่าอย่างมากในการแปลผลว่าหัวใจโตทั้งหมดถ้าไม่ชัดเจน

ภาพรังสีของหัวใจโตทั้งหมด

- Increased cranial to caudal dimension
- Increased Apico-basilar dimension
- Elevation of post cava, Silhouette usually more spherical.

Cardiomegaly in cat

มักพบในโรค congenital heart diseases, valvular failure, myocardial disease และ pericardial effusion

Criteria สำหรับใช้ปั่งชี้ว่าเป็น Cardiomegaly in cat

1. **Vertebral heart size (VHS)** ประมาณ 95 % ของหัวใจแมวจะมี VHS น้อยกว่า 8.2

2. **Rib 5-7 dimension** ให้วัดหัวใจในแนว Crano-caudal dimension ท่า lateral พบร่วงควรมีขนาดไม่มากกว่าขนาดระหว่างขอบด้านหน้าของ rib ที่

5 ถึงขอบด้านท้ายของ rib ที่ 7

3. **Cardiothoracic ratio** ขนาดหัวใจปกติเมื่อเทียบกับช่องอกในท่า V.D. ประมาณ 2 : 3 และอาจจะมองเห็นหัวใจเป็นรูป **Valentine shape** ในท่า V.D. แสดงว่าหัวใจโตในแนว

4. อายุพยาบาลแยกหัวใจห้องขวาหรือซ้ายโดยในแนวจะยกมาก

5. ในแมวที่อายุมากอาจจะพบ หัวใจ จะวางตัวแนบติดกับกระดูก sternum มากกว่าปกติได้และเห็นเส้นเลือด ascending aorta เป็นท่อยาวและขาดเดี้ยวยไปมาได้ถือว่าปกติ

ความแตกต่างทางการพัฒนาของ Heart failure ในสุนัขและแมว

• ในสุนัข

1. **Right heart failure** เกิดจาก volume overload หรือ pressure overload ผลตามมาทำให้เกิดลักษณะทางการพัฒนา

- Dilation of the caudal vena cava
- Hepatomegaly
- Ascites
- Pleural or pericardial effusion (อาจจะเกิดหรือไม่เกิด)

2. Left heart failure

มักจะเห็นความผิดปกติที่ pulmonary vasculature, pulmonary parenchyma ซึ่งในสุนัขจะพบอาการเหล่านี้เป็นมาตรฐานเสมอได้แก่ Pulmonary venous congestion, pulmonary edema (alveolar pattern in perihilar area)

Heart failure in cat

1. Pulmonary edema (significant)

เป็นลักษณะทางการพัฒนาอย่างหนึ่งที่บ่งบอกถึงหัวใจห้องซ้ายล้มเหลว การกระจายตัวมักจะไม่

เหมือนในสุนัขที่ขอบพบในบริเวณ hilar area แต่ในแมวเรามักพบ edema กระจายตรงบริเวณตรงกลางปอดด้านท้าย (caudal lobe) นอกจากนี้การพบ pulmonary vascular dilation ก็เป็นลักษณะหนึ่งของ left heart failure ในแมว

2. Pleural effusion

สามารถบ่งบอกว่าเกิด Right heart failure ในแมวได้ (ไม่จำเป็นเสมอไป) effusion อาจเป็น transudate หรือ chylous ก็ได้บางที่อาจจะพบ pericardial effusion ได้แต่การพบ ascites ในช่องห้องอาจจะไม่ได้บ่งบอกถึงหัวใจห้องขวาล้มเหลวได้ในแมวเสมอไป

Vascular pattern of Heart diseases

Normal pulmonary vasculature

เส้น Artery กับ Vein มีความใกล้เคียงกัน Artery จะอยู่ lateral กว่า vein ในท่า VD (DV) ส่วนในท่า lateral เส้นเลือดแดง Artery จะวางอยู่ dorsal กว่า vein ในเส้นเลือดปกติส่วนปลายของ artery and vein จะค่อยๆ แหลมลงเมื่อห่างจากหัวใจความผิดปกติที่เกิดขึ้นที่หลอดเลือดให้ใช้ criteria ที่กล่าวมาแล้วข้างต้นในการประเมิน



Thoracic Radiology

The Chest Wall :

สุนขและแมวจะมีกระดูกสันหลังส่วนอก 13 อัน 13 คู่ของกระดูกซี่โครงและกระดูกหน้าอก 8 อัน ทำให้หน้าที่เป็นขอบเขตโครงสร้างของช่องอก โรคของ peri-thoracic tissue จะพบว่ามีจุดเริ่มต้นขึ้นมาได้จาก skin, adipose tissue, muscles, ribs และ cartilaginous chondral elements of the ribs ก้อนเนื้อที่เกิดจาก lipoma มักจะเห็นเป็นไขมันที่มีความแตกต่างจาก soft tissue ได้จากการพังสี ก้อนผิดปกติที่เกิดขึ้นมาจากการกระดูกอ่อนมักจะมีการ calcified

Extra-pleural mass

เป็น mass ที่วางตัวอยู่นอก parietal pleura แต่อยู่ใน chest wall มักไม่ทำให้เกิด pleural effusion และมักมองเห็นได้ยากแต่จะเห็นได้ชัดเมื่อก้อนนี้เกิดการโป่งยื่นเข้าไปทางปอดซึ่งฐานของก้อนนี้จะติดกับผนังช่องอก การวินิจฉัยจำเป็นจะต้องถ่ายให้ focus กับก้อนเนื้อนั้นเนื่องจากมันมักจะกลมกลืนไปกับผนังช่องอกและมองเห็นได้ยาก

Disorders of the Diaphragm

The diaphragm ประกอบไปด้วย crura 2 อันซึ่งจะไปรวมกันทางด้านล่างเพื่อกลายเป็น cupula.

The left crus จะคลุมกระเพาะส่วน fundus และส่วน right crus จะคลุม body ของตับ

Pleuro-Peritoneal ‘Hernia’ :

(Diaphragmatic Hernias)

พบได้บ่อยที่เกิดจาก **traumatic origin**. เห็นได้ชัดเจนในกรณีพับ หรือภาวะไนซ่องท้องอยู่ในช่องอกแต่ในกรณีที่เป็นรอยแตกเล็กๆ อาจจะพบ pleural effusion เพียงอย่างเดียว แต่ถ้าไม่พบ effusion ก็อาจจะเห็นเป็นก้อนผิดปกติในช่องอกทำให้เราเข้าใจว่าเป็นเนื้องอกได้ แต่ถ้าเป็นลำไส้ก็อาจจะพบ gas

pattern ในช่องอกได้แต่ถ้าไม่ชัดเจนก็ให้ใช้ Positive GI contrast study ถ้าไม่อย่างนั้นก็ใช้วิธีเช็คโดยฉีด contrast media เข้าไปในช่องท้องแล้วดูว่ามี contrast media ปรากฏอยู่ในช่องอกหรือไม่

Mediastinal Disorders

The mediastinum จะวางตัวส่วนใหญ่ต่อลอดแนวกลางของช่องอก The cranial mediastinum จะประกอบไปด้วยเส้นเลือดใหญ่ หลอดลมและหลอดอาหารส่วนด้านล่างจะพบรอยพับของเนื้อเยื่อที่ใช้แยกปอดกับชั้นไขมันและชั้นเยื่อหุ้มปอดที่อยู่เบื้องหลัง sternum ซึ่งพบว่าบริเวณนี้จะมี internal thoracic artery and vein และมี internal thoracic (sternal) lymph node ตั้งตระหง่านด้านบนของ second sternocostal joint โดยมี thymus อยู่ใกล้เคียงกันในถุงสุนัข Hilar lymph nodes จะพบระยะราบๆ หลอดลมที่อยู่บริเวณฐานของหัวใจ (base of heart) Mediastinal ก็เหลือ pleural space ที่มีช่องว่างที่สามารถมีของเหลว เนื้อเยื่อเข้าไปแทรกทำให้บริเวณนี้ขยายตัวได้

Pneumomediastinum :

เป็นลักษณะการพบร่วมกับอากาศปราภูในส่วน Mediastinum ซึ่งอาจจะมาได้จากหล่ายแหล่งหล่ายสาเหตุ Pneumomediastinum อาจจะเห็นริ้วโน่นให้เกิด pneumothorax ตามมา การวินิจฉัยภาพรังสีของ Pneumomediastinum ให้ดูว่าเห็นขอบเขตของหลอดลมหลอดอาหาร เส้นเลือดแดง aorta เส้นเลือดแดงใหญ่ mediastinal และ pre cava ได้อย่างชัดเจนโดยมีอากาศล้อมรอบอย่างเหล่านั้น ผลข้างเคียงของโรคนี้คือ Pneumothorax, subcutaneous emphysema และ impaired venous return to the heart

The Pleural Space :

The pleural space ปกติไม่เห็นทางภาพรังสีแต่

จะเห็นได้ชัดเจนในกรณีที่มี fluid, tissue or gas สะสมในส่วนหั้ง parietal and visceral pleurae.

Pneumothorax :

พบว่าบางของปอดจะไม่ชิดกับผนังซ่องอก ซึ่งว่างระหว่างป่วยขอบปอดกับผนังซ่องอกจะเป็นสีดำ (radiolucent) หัวใจดูเหมือนลอยสูงกว่ากระดูก sternum ถ้าพับอากาศใน pleural space ปริมาณน้อยอาจจะพบแค่กลีบปอดห่างจากผนังซ่องอกเล็กน้อยหรือแบบมองไม่เห็น แนะนำให้ใช้ไฟแรงเทียนสูง ส่องดูบริเวณซ่องว่างระหว่างปอดกับผนังซ่องอกว่าเห็นเส้นเลือดมาเลี้ยงบริเวณนี้หรือไม่ถ้ามีแสดงว่าไม่เป็น

2. แต่ถ้าจัดท่าให้สัตว์นอนหงาย ventro-dorsal view จะพบของเหลวไปสะสมในส่วน dorsal paraspinal gutters แต่ถ้าจัดท่านอนคว่ำ Dorso-ventral recumbency ของเหลวจะสะสมอยู่ใน ventral sternal gutter.

3. ถ้าปริมาณของเหลวในซ่องอกมีมากจะทำให้โครงสร้างภายใน ซ่องอกจะแยกได้ยากแต่จะเห็นเฉพาะปอดที่มีอากาศอยู่ภายในเท่านั้นเป็น landmarks.

4. ในสัตว์ที่ mediastinum ยังคงโครงสร้างเดิมได้ดีอยู่ไม่ถูกทำลายเราจะพบว่าของเหลวจะสะสมอยู่ข้างใดข้างหนึ่งเท่านั้น (Unilateral)

Pleural Effusion :

Radiographic Signs of Pleural Effusions :

1. จะพบลักษณะ homogenous, radiopaque tissue แทรกอยู่ระหว่าง parietal กับ visceral pleura ทำให้เราเห็นขอบเขตของปอดแต่ละกลีบ



Pulmonary radiology

อ. สมเกียรติ หัวยันทึก

ภาควิชาเวชศาสตร์คลินิกและการสาธารณสุข คณะสัตวแพทยศาสตร์ มหาวิทยาลัยมหิดล

The Trachea

ปกติ หลอดลมจะมีขนาดเส้นผ่าศูนย์กลางเท่ากันตลอดทั้งช่วงหายใจเข้าและหายใจออกโดยลักษณะทางกายวิภาคของหลอดลมจะเป็นท่ออากาศที่เริ่มต้นจาก lalynx ไปจนถึง tracheal bifurcation จะเห็นในภาพรังสีเป็นลักษณะท่ออย่าง radiolucency ปกติในสุนัขพันธุ์ Bulldogs and other brachycephalic breeds จะมีขนาดเส้นผ่าศูนย์กลางเล็กกว่าพันธุ์อื่นๆขนาดเส้นผ่าศูนย์กลางปกติของหลอดลมเราจะวัดจาก ratio of tracheal diameter to the diameter of the thoracic inlet (TI). สำหรับสุนัขสายพันธุ์ non brachycephalic breeds จะอยู่ในช่วง 0.141–0.256 TI. สำหรับสุนัข non bulldog brachycephalics จะอยู่ในช่วงประมาณ 0.12–0.243 TI.

ส่วนสายพันธุ์ Bulldog จริงๆจะอยู่ในช่วง 0.07–0.21 (โดยปกติจะวัดขนาดได้น้อยกว่า 0.21 แต่มักไม่พบอาการจนเมื่อขนาดน้อยกว่า 0.09 มักจะแสดงอาการให้เห็น)

The tracheal collapse syndrome.

Tracheal lumen จะขยายและแคบทุกช่วงของการหายใจเข้าและออก. Tracheal collapse จะพบได้บ่อยที่บริเวณ intra thoracic compartment และอาจจะขยายไปถึง main lobar bronchi. โดยปกติจะต้องถ่ายภาพรังสีทั้งหายใจเข้าและออกในท่า lateral view ส่วนการพบขนาดเส้นผ่าศูนย์กลางของหลอดลมมีขนาดใหญ่กว่าปกติมากพบได้ในโรค Dynamic airway disease ซึ่งทำให้พังพืดของหลอดลมมีการอ่อนตัวหรือเกิดจาก tracheal chondromalacia

Pulmonary Radiology

Radiographic sign of lung diseases มักจะใช้ pattern of diseases approach. Bronchial, vascular, interstitial and alveolar pattern.

1. Bronchial pattern

Bronchogram sign คือ การหนาตัวของผนัง bronchi ทำให้เราเห็นท่อ bronchi ชัดเจนขึ้นทั้งในแบบ profile or cross section ส่วนที่มีภาวะนี้จะเห็น secondary and tertiary airway ถ้าเห็น bronchi ในแบบ cross section จะเป็นรูป donut shape ถ้าเห็นเป็น long section จะเป็น Tramlines พยายามตรวจวิการ donut shape จะหาได้ง่ายกว่าร้อยโรคแบบร่างกายไฟช่องจะดูได้ยากกว่า บริเวณส่วนต้นของ principle bronchi เราจะไม่นับรวมเป็นวิการ tramlines การเห็น bronchial structure อาจจะไม่ใช่ความผิดปกติทางด้านพยาธิสภาพก็ได้ เช่นเกิดจากการ calcified ของผนังหลอดลมตามอายุไป โดยเฉพาะสัตว์สายพันธุ์ chondrodystrophoid breed หรือในรายที่เป็นโรคจริงๆ เช่น hyperadrenocorticism ก็อาจจะเกิดได้ ในทางกลับกันการมองไม่เห็นวิการของ bronchial pattern อย่าเพิ่งตัวตัดสินว่าไม่เป็นโรค เพราะในราย acute onset หรือ short duration airway disease ก็อาจจะไม่เห็นวิการก็ได้

Bronchiectasis

เป็นลักษณะของการขยายขนาดของหลอดลม bronchi อาจเห็นเป็นกรรเป่าหรือท่อขยาย (Saccular or tubular) โดยปกติ bronchi จะค่อยๆเรียวเล็กลงไป เมื่อไปสู่ปลายปอดแต่ในรายวิการนี้จะเห็นการขยายตลอดแนว

2. Alveolar pattern

Air bronchograms คือ ลักษณะของอากาศในท่อทางเดินหายใจจะถูกล้อมรอบด้วย homogenous alveolar opacity. ทำให้ไม่เห็นรายละเอียดของผนังเส้นเลือด ตัวท่อทางเดินหายใจจะเห็น radiolucent เป็นท่อยาวขนาดข้างตัวพื้นสีขาว Alveolar pattern จะมีได้ตั้งแต่ patchy, fluffy, cotton wool-like region of the lung to lobar sign. ซึ่งการพบ pattern นี้มักจะเกิดในโรคที่สามารถสร้าง transudate หรือ exudate ไปสะสมในส่วน alveoli และ หลอดลมขนาดเล็กข้างเคียง และด้วยรูปแบบนี้เราใช้การกระจายตัวของวิการเป็นตัวชี้วัดว่ามักจะเกิดปัญหาจากอะไร เช่น Alveolar pattern ที่พบบริเวณ hilar region. ในสุนัขมักจะเกิดจากโรค left heart failure หรือ Alveolar pattern ที่พบ บริเวณ ventral trachea จะเกิดจาก pneumonia แต่ถ้าเป็นในแมวจะพบว่ามีการกระจายรูปแบบนี้ไปทั่วทั้งปอดก็ได้

Alveolar patterns are caused by :

1. Any consolidating pulmonary process
2. Passive replacement of air in small air spaces by bleeding, exudates or transudates
3. Active displacement of air by infiltrative disease processes
4. Atelectasis (collapse of small air spaces)

3. Interstitial pattern

Interstitial lung disease เป็นวิการที่เกิดขึ้นภายในระบบหัวใจและเนื้อเยื่อเกี่ยวพันที่เป็นโครงของปอด โรคของปอดที่เกี่ยวข้องกับ interstitial tissue จะทำให้เนื้อปอดโดยรวมจะขาวขึ้น (การที่เนื้อเยื่อปอดดูขาวขึ้นนั้นรูปแบบที่พบได้บ่อยคือ แบบไม่มีรูปแบบ (unstructure) ซึ่งจะแสดงให้เห็นเส้นสานกันเป็นร่างแก้กับเป็นแบบมีโครงสร้างชัดเจน (Structure) มักเห็นเป็นก้อน nodule

1. Reticulo-nodular pattern (Unstructure)

ปอดขาวขึ้นเนื่องจาก infiltration หรือ hyperplasia ของ interstitial structure จะเห็น micronodular หรือ linear pattern ทำให้เรามองไม่เห็นหรือเห็น Airway wall และ blood vessel รวมทั้งหัวใจและเนื้อเยื่อปอดใกล้เคียงได้ไม่ชัดเจน (แยกให้ออกจากฟิล์ม underexposure ด้วย)

2. Nodular pattern

2.1 Miliary nodular pattern

- multiple small opaque nodule ที่มีขนาด 1-4 mm in diameter.

2.2 Nodular lesion

- circumscribed circular opacity range 4-40 mm in diameter.

2.3 Mass lesion

- Diameter มากกว่า 40 mm

Nodule ขนาดเล็กกว่า 5 mm จะไม่สามารถเห็นได้ในภาพรังสีถ้าไม่เกากลุ่มกัน แต่ถ้า nodule ขนาด 2-3 mm อยู่รวมกันจะเห็นได้เนื่องจาก summation effect



การกำหนดระยะเวลาในการผสมพันธุ์หรือผสมเกี้ยมสุนัข

How to predict the optimal breeding or insemination time in dog

รองศาสตราจารย์ น.สพ.ดร.สุดสรร ศิริวิทยพงศ์

ควรทำการผสมพันธุ์สุนัขเมื่อใด

การนับวันที่ 9-11 หลังพบเลือดทางช่องคลอด แม่นยำเพียงได้ ก่อนที่จะตอบคำถามนี้ ต้องทราบถึง วันที่สุนัขมีการตกไข่และยอมรับการผสมพันธุ์ก่อน

สุนัขจะมีวงจรการเป็นสัดแบบหนึ่ง vòngรอบไม่ต่อเนื่องโดยไม่มีผลของถูกกลามาเกี่ยวข้อง และมีการตกไข่แบบเกิดขึ้นได้เองโดยไม่ต้องมีตัวกระตุ้น โดยการตกไข่จะขึ้นกับระดับฮอร์โมนที่เปลี่ยนแปลงไป

วงจรการเป็นสัดในสุนัขประกอบด้วยระยะสำคัญ 4 ระยะ คือ

- ระยะ **Proestrus** (โปรอีสตรัส) ใช้เวลาประมาณ 8-13 วัน

- ระยะ **Estrus** (อีสตรัส) ใช้เวลาประมาณ 4-7 วัน

- ระยะ **Diestrus** (ไดอีสตรัส) ใช้เวลาประมาณ 6-10 สัปดาห์

- ระยะ **Anestrus** (แอนอีสตรัส) ใช้เวลาประมาณ 15 สัปดาห์

โปรอีสตรัส เป็นระยะที่สุนัขเริ่มเข้าสู่วงจรการเป็นสัด รังไข่เริ่มมีการเปลี่ยนแปลง มีการเจริญของ Follicle ขนาดต่างๆ โดยจะมีระยะเวลาประมาณ 8-13 วัน หรือโดยเฉลี่ย 9 วัน เชลยื่อบุของอวัยวะสีบพันธุ์ส่วนต่างๆ จะมีการเจริญแบ่งตัวเพิ่มมากขึ้น อวัยวะเพศจะบวมแดงขยายใหญ่ขึ้นมาก อาจพบเลือดหยดได้ตั้งแต่วันแรกหรือไม่ก็ได้ จะเริ่มพบว่าสุนัขถ่ายปัสสาวะบ่อยขึ้น มีท่าทางแปลกไปขณะถ่ายปัสสาวะ สุนัขจะมีท่าทางกระวนกระวาย สนใจสุนัขตัวอื่น และมีสุนัขอื่นมาสนใจ แต่จะยังไม่ยอมรับการผสมพันธุ์ ยกเว้นในสุนัขบางตัวอาจยอมให้ตัวผู้ขึ้นผสมได้

เนื่องจากพฤติกรรมที่ได้เรียนรู้จากการผสมพันธุ์ครั้งก่อนๆ แต่จะพบได้น้อย

อีสตรัส เป็นระยะที่สุนัขจะแสดงอาการเป็นสัดเต็มที่ ใช้เวลาเฉลี่ยประมาณ 4-7 วัน อวัยวะเพศจะค่อยๆ หย่อนและลดขนาดลง เลือดจากช่องคลอดอาจลดลงจนหมด หรือในบางตัวอาจจะยังพบอยู่ได้ สุนัขเพศเมียจะยืนนิ่งยอมรับการผสม ถ้าลองกดหลังดูสุนัขจะยืนนิ่ง และบนหางไปข้างใดข้างหนึ่ง ซึ่งแสดงถึงความพร้อมที่จะยอมรับการผสมพันธุ์ สุนัขส่วนใหญ่จะมีการบีบตัวของกล้ามเนื้อบริเวณเหนือช่องคลอด เพื่อยกอวัยวะเพศขึ้นมาในตำแหน่งที่เหมาะสมที่จะถูกผสมพันธุ์ได้ง่าย

ระยะที่จะทำการผสมสุนัขคือกลางระยะเวลาอีสตรัส ซึ่งมีความผันแปรกันไปในสุนัขแต่ละตัว

ไดอีสตรัส เป็นระยะที่อยู่ภายใต้อิทธิพลของฮอร์โมนโปรเจสเทอโรน ซึ่งสร้างมาจากรังไข่ มีระยะเวลาประมาณ 6-10 สัปดาห์ เฉลี่ย 57-65 วัน หลังจากนั้นจะลดลง ซึ่งในระยะเดียวกันนี้ ระยะดับของฮอร์โมนโปรดแลกติน ซึ่งมีหน้าที่สร้างน้ำนม จะค่อยๆ เพิ่มขึ้น ซึ่งการเปลี่ยนแปลงของระดับฮอร์โมนทั้งสองนี้ ทำให้เกิดการเปลี่ยนแปลงของร่างกายและพฤติกรรมบางอย่างของสุนัขด้วย ในระยะนี้ เยื่อบุมดลูกจะเจริญอย่างเต็มที่ มีการหลังสารและน้ำเมือกต่างๆ ออกมากให้ความชุ่มชื้น เพื่อเตรียมพร้อมและช่วยในการฟังตัวของตัวอ่อน แม้ในสุนัขที่ไม่ได้รับการผสม ระยะนี้ก็จะมีการเปลี่ยนแปลงของระดับฮอร์โมน และการเปลี่ยนแปลงทางกายภาพนี้ เช่นเดียวกับในสุนัขตั้งท้อง เต้านมก็จะมีการขยายตัว โดยเฉพาะคู่ที่ 1 และคู่ที่ 2 จากด้าน

ท้ายจะเจริญมาก เมื่อถึงระยะท้ายของไಡเอสตรัส ในสุนัขตั้งท้องจะมีการคลอด แต่ถ้าสุนัขไม่ตั้งท้อง เต้านม ก็จะลดขนาดลงอย่างรวดเร็ว รวมทั้งเยื่อบุต่างๆ ภายในเมดลูกก็จะกลับคืนสู่สภาพปกติ สุนัขบางตัวในระยะนี้อาจยังยอมรับการผสมพันธุ์ได้ แต่ส่วนใหญ่แมก จะไม่ยอมรับการผสมพันธุ์ ในสุนัขตั้งท้องจะแสดงพฤติกรรมการเป็นแม่ในช่วงท้ายของระยะนี้

ส่วนในสุนัขที่ไม่ได้รับการผสมพันธุ์ หรือไม่ตั้งท้องในบางตัวอาจไม่เห็นการเปลี่ยนแปลงอย่างชัดเจน ดูสภาพเหมือนสุนัขไม่ตั้งท้องทั่วไป แต่บางส่วนจะแสดงอาการคล้ายสุนัขตั้งท้องทุกประการ ทางร่างกาย และมีพฤติกรรมแสดงออกซึ่งความเป็นแม่เมื่อใกล้คลอด เช่น การชุดคุย สร้างรัง ทำท่าคล้ายจะคลอด

แอนเอสตรัส เป็นระยะที่ถือเป็นระยะฟักตัว ของระบบสืบพันธุ์ รวมทั้งอวัยวะสืบพันธุ์ทั้งหมด สุนัข จะอยู่ในสภาพปกติ ไม่มีการเปลี่ยนแปลงของร่างกาย ระดับฮอร์โมนหรือพฤติกรรม เชลเยื่อบุช่องคลอดก็จะเป็นพวกเชลกลมขนาดเล็ก ระยะเวลาจะไม่แน่นอน ขึ้นกับปัจจัยหลายอย่าง เช่น พันธุ์สัตว์ สภาพสัตว์ การเลี้ยงดู รวมทั้งสภาวะแวดล้อมต่างๆ แต่โดยเฉลี่ยจะใช้เวลาประมาณ 15 สัปดาห์

จะเห็นได้ว่า ในวงจรการเป็นสัตของสุนัขนั้น จะเกิดการเปลี่ยนแปลงต่างๆ ขึ้นมากมายในระยะต่างๆ และมีความแตกต่างไปในสุนัขแต่ละตัว บางตัวอาจมีระยะໂປຣເສຕຣສ สั้นหรือยาวแตกต่างจากค่าเฉลี่ย ซึ่งทำให้วันที่ทำการผสมพันธุ์แตกต่างไปจากสุนัขตัวอื่นด้วย

ในทางการสัตวแพทย์ การตรวจวันผสม และประมาณวันตกไข่นั้น จะดูจากพฤติกรรมสุนัข เชลเยื่อบุช่องคลอดที่เปลี่ยนแปลง และระดับฮอร์โมนໂປຣເສຕຣສ เตอโรมที่เพิ่มสูงขึ้น สุนัขควรถูกผสมพันธุ์เมื่อยืนนิ่ง ยอมรับการผสม ยกอวัยวะเพศ เชลเยื่อบุช่องคลอดเปลี่ยนเป็นเชลเหลี่ยมฯ มากกว่า 80 ເປື້ນເຊີນຕົວ และระดับฮอร์โมนໂປຣເສຕຣສເຕືອໂຮນมากกว่า 2-4

นาโนกรัม/มิลลิลิตร จึงจะเริ่มทำการผสมพันธุ์ได้

ระยะเวลาที่เหมาะสมของสุนัขเพศเมีย

ปกติสุนัขทั่วไปจะเกิด LH surge ในวันที่ 10 หลังจากสุนัขมีอาการ bloody discharge หรือ เริ่มเห็นอวัยวะเพศบวมแดง และจะตกไข่วันที่ 12 จากนั้นไป จะพัฒนาตัวจนเหมาะสมที่จะผสมมากที่สุดในวันที่ 14 และเป็นวันที่จะสังเกตเห็นอาการยืนนิ่ง ยกและเบี่ยงหาง ยกอวัยวะเพศซึ่ง อวัยวะเพศบวมน้ำและนิ่ม ถ้าจะทำการผสม 2 ครั้ง ควรผสมในวันที่ 12 และ 14 หรือจะทำการผสม 3 ครั้ง ควรผสมในวันที่ 11, 13 และ 15 แต่อาจจะมีสุนัขบางตัวที่ตกไข่เร็วกว่าปกติ หรือช้ากว่าปกติ สุนัขบางตัวไม่แสดงอาการเป็นสัต หรือแสดงอาการห้อยกว่าปกติ ทำให้เราVINIจัยเวลาตกไข่ได้ไม่ถูกต้อง มีวิธีการตรวจสอบวิธีอื่น เช่น serum progesterone, ELISA และ vaginal smear เมื่อเราตรวจพบ cornified cell มากกว่า 60% เราชารวจ serum progesterone เราจะพบว่าระดับของ progesterone เพิ่มขึ้นถึง 1-2 ng/ml ในวันที่เกิด LH surge และวันที่ตกไข่ ระดับ progesterone จะสูงถึง 4-10 ng/ml และจะสูงถึง 8-20 ng/ml ตลอดช่วงการเป็นสัต

อย่างไรก็ตี วันที่ทำการผสมพันธุ์จะขึ้นกับคุณภาพน้ำเชื้อของสุนัขพ่อพันธุ์ด้วยสุนัขพ่อพันธุ์ที่ดีนั้น นอกจากลักษณะที่สวยงามถูกต้องตามสายพันธุ์แล้ว สุขภาพร่างกายทั่วไปจะต้องแข็งแรง รวมทั้งสภาพผิวหนังและขน จะต้องดี นอกจากนั้นจะต้องมีคุณภาพน้ำเชื้ออสุจิที่ดี โดยทำการตรวจอย่างสม่ำเสมอ อย่างน้อย ปีละ 4-6 ครั้ง

การตรวจน้ำเชื้อนั้นสัตวแพทย์จะทำการรีดเก็บในขณะที่สุนัขรู้สึกผ่อนคลาย ไม่หัวดกลัว ตื้นเต้น หรือระวัง ขณะรีดน้ำเชื้อนั้น สุนัขบางตัวอาจต้องใช้ตัวเมียที่เป็นสัตล่อ แต่สุนัขบางตัวไม่จำเป็นต้องมีตัวล่อ ก็สามารถรีดได้

น้ำเชื้อที่หลังส่วนแรก จะมีลักษณะใสส่วนที่ 2

มีลักษณะสีขาวขุ่น คือ ส่วนที่มีอสูรจิมาก และส่วนสุดท้ายจะเริ่มใสอีก คือ น้ำจากต่อมลูกหมาก ซึ่งไม่จำเป็นต้องเก็บทั้งหมดของส่วนที่ 3 นี้ อาจเก็บเฉพาะส่วนต้นๆ ของส่วนที่ 3 คือประมาณ 2-5 มิลลิลิตร เนื่องจากปริมาณที่เพิ่มมากขึ้นในส่วนนี้จะทำให้ความเข้มข้นลดลง

ลักษณะของน้ำเชื้อ

- ปริมาตรส่วนแรกและสองรวมกันควรประมาณ 2-8 มิลลิลิตร
- สี ควรเป็นสีขาว สีน้ำนม จนถึง ขาวครีม บางครั้งอาจเป็น ขาวใส ถ้ารวมน้ำเชื้อส่วนที่ 3 ไว้มากๆ
- น้ำเชื้อจะเป็นกรดเล็กน้อย pH ควรอยู่ระหว่าง 6.3-6.7

- ดูการเคลื่อนที่ไปข้างหน้า ซึ่งควรมากกว่า 70% ขึ้นไป
- ดูความเข้มข้น ซึ่งจำนวนตัวอสูรต่อการหลังน้ำเชื้อ 1 ครั้งในสูนัขปกติ ควรประมาณ 100-2,000 ล้านตัว ขึ้นกับขนาดสูนัข
- ดูภารรูป หรือลักษณะรูปร่าง น้ำเชื้อคุณภาพดีควรมีลักษณะปกติมากกว่า 70-80 %

ทั้งนี้คุณภาพของน้ำเชื้อสูนัขขึ้นกับปัจจัยอีกหลายประการ เช่น พันธุ์สุนัข ความแตกต่างระหว่างสูนัขแต่ละตัว เวลาในการรีดน้ำเชื้อ วิธีการรีดน้ำเชื้อ จำนวนครั้งหรือความถี่ของการรีดน้ำเชื้อ สภาพแวดล้อม และอื่น ๆ

ถ้าจะผลสมสูนัขตามธรรมชาติ หรือ การผลสมเทียมโดยใช้น้ำเชื้อสดที่มีคุณภาพอยู่ในเกณฑ์ปกติ เมื่อตรวจสูนัขเพศเมียแล้วพบว่าเซลลเยื่อบุช่องคลอดเปลี่ยนเป็น cornified cell มากกว่า 80 เปอร์เซ็นต์ และระดับฮอร์โมนโปรเจสเตอโรนมากกว่า 2-4 นาโนกรัม/ มิลลิลิตร นั่นย้อมรับการผลสม ยกเวียดเพศ ก็จะเริ่มผลสมพันธุ์ได้

แต่ถ้าคุณภาพน้ำเชื้ออยู่ในเกณฑ์ด้อยลงมา เช่น ในการไข่น้ำเชื้อสดคุณภาพต่ำ (แต่สูนัขพ่อพันธุ์เป็นที่ต้องการ) หรือใช้น้ำเชื้อแข็ง เช่น สูนัขเพศเมียควรมีเซลลเยื่อบุช่องคลอดเป็น cornified cell ทั้งหมด และมีระดับ progesterone อยู่ระหว่าง 8-20 ng/ml ซึ่งเป็นช่วงที่ไข่พร้อมปฏิสนธิ



การปฏิสนธินอกร่างกาย

In Vitro Fertilization : IVF

มาลี อกิเมร์รำรง

สำนักเทคโนโลยีเชิงการพัฒนาคุณภาพ กรมปศุสัตว์

บทนำ

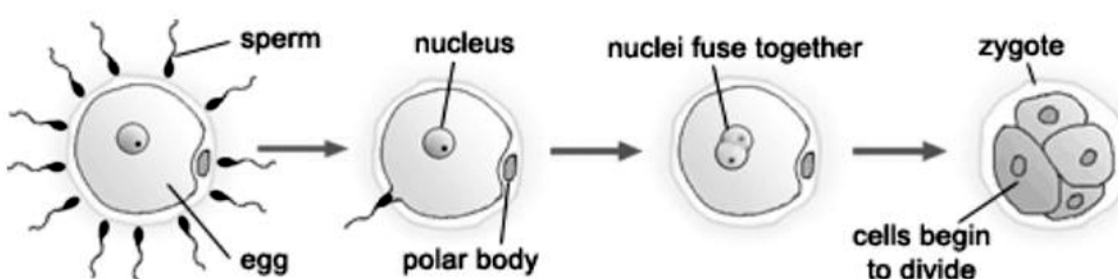
ในสัตว์เลี้ยงลูกด้วยนม การปฏิสนธิในธรรมชาติ ระหว่างเซลล์สืบพันธุ์เพศเมีย ที่เรียกว่า เซลล์ไข่หรือ ออโอไซต์ (oocyte) และเซลล์สืบพันธุ์เพศผู้ ที่เรียกว่า เซลล์อสุจิหรือตัวอสุจิ (spermatozoa) จะเกิดภายใน reproductive tract ในร่างกายของสัตว์เพศเมีย โดย ตำแหน่งของการปฏิสนธิจะอยู่ภายในท่อนำไข่ ช่วงเวลา ที่เรียกว่าเกิดการปฏิสนธิขึ้น หมายถึง เวลาที่ตัวอสุจิ เข้าไปในเซลล์ไข่ได้แล้ว ซึ่งนิวเคลียสของอสุจิจะเกิด การเปลี่ยนแปลงเป็นโปรนิวเคลียส ขณะเดียวกัน นิวเคลียสของไข่ซึ่งเป็นส่วนที่เหลือจากการขับ second polar body ออกจากไข่โพลิยาซึม ก็จะเกิดการ เปลี่ยนแปลงเป็นโปรนิวเคลียส จากนั้นจะเกิดการตัว รวมกันของโปรนิวเคลียสทั้งสอง (fusion) เป็น นิวเคลียสเดียว จากนั้นกระบวนการแบ่งตัวหรือแบ่ง เซลล์จึงเริ่มขึ้น (รูปที่ 1) ส่วนการปฏิสนธินอกร่างกาย เป็นการนำเซลล์ไข่มาปฏิสนธิกับเซลล์อสุจิในหลอด ทดลอง โดยมีการเตรียมความพร้อมของทั้งเซลล์ไข่ และเซลล์อสุจิ รวมถึงการปรับสภาพแวดล้อมที่เลียนแบบกับที่เกิดในธรรมชาติ เพื่อให้เกิดการปฏิสนธิขึ้นได้ และพัฒนาเป็นตัวอ่อนต่อไป

การปฏิสนธินอกร่างกายในสัตว์เลี้ยงลูกด้วยนม มีรายงานความสำเร็จที่ให้ผลการตั้งท้องเป็นครั้งแรก

ในครั้งต่อๆ ไปโดย Chang ในปี ค.ศ.1959 ต่อมาเกิด รายงานความสำเร็จในหมูมาส์และหนูแรท (อ้างถึง โดย Gordon, 1994) สำหรับในโค มีรายงานความสำเร็จได้ลูกเกิดครั้งแรกในปี ค.ศ.1982 (Brackett et al., 1982) โดยการใช้เซลล์ไข่ที่เจริญถึงขั้น ปฏิสนธิในร่างกายของแม่โค นำมาผสมกับตัวอสุจิใน หลอดทดลอง ต่อมาในปี ค.ศ.1988 มีรายงานลูกโค เกิดจากกระบวนการปฏิสนธิภายนอกร่างกายทั้งหมด เป็นครั้งแรก (Goto et al., 1988) นอกจากนี้ยังมี รายงานความสำเร็จในการใช้เทคนิคการปฏิสนธินอก ร่างกายในสัตว์อื่นๆ อีกหลายชนิดซึ่งสามารถศึกษา ได้ในวารสารทางวิชาการทั้งในและต่างประเทศ ในที่ นี้จะเน้นการปฏิสนธินอกร่างกายในโคซึ่งมีการศึกษา กันมากที่สุด

การใช้เทคนิคการปฏิสนธินอกร่างกายร่วม กับการเก็บเซลล์ไข่ผ่านทางผนังช่องคลอด

ปัจจุบันเทคโนโลยีเกี่ยวกับการผลิตลูกโคจาก การปฏิสนธินอกร่างกาย ได้มีการพัฒนาไปอย่างมาก การเก็บเซลล์ไข่เพื่อนำมาปฏิสนธิกับเซลล์อสุจิในห้อง ทดลอง โดยการเจาะผ่านทางช่องคลอดร่วมกับการใช้ เครื่องอัลตราซาวด์ (ultrasound-guided transvaginal ovum pick-up : OPU) ได้เริ่มดำเนินการในสัตว์ เพื่อ



รูปที่ 1 กระบวนการปฏิสนธิ

ลดการบาดเจ็บและอันตรายสำหรับสัตว์ อีกทั้งยังทำ
ช้ำได้หลายครั้ง (Pieterse et al., 1988) หลังจาก
นั้นก็มีการพัฒนาการเก็บร่วมกับการผลิตตัวอ่อนโดย
การปฏิสนธินอกร่างกาย (Looney et al., 1994; Boni
et al., 1996; Reis et al., 2002) และได้นำมา
ประยุกต์ใช้ในโคพื้นเมืองประจำถิ่น (*Bos indicus*)
แต่ไม่ได้รายงานการผลิตตัวอ่อนถึงระยะที่นำไปย้าย
ฝากรได้ (Manik et al., 2003) ในประเทศไทย มีการ
ศึกษาไม่มากนักเกี่ยวกับการผลิตตัวอ่อนโดยใช้ไข่ที่
เก็บจากโคขณะมีชีวิตและการปฏิสนธินอกร่างกาย
(Techakumphu et al., 1996) แต่มีรายงานในกระเบื้อง
(Kittiyanant et al., 1995; Pavasuthipaisit et al.,
1995)

การเก็บเซลล์ไข่โดยใช้เครื่องอัลตราซาวด์ มีข้อ^ด้อย ได้แก่ เครื่องมือมีราคาแพง ประกอบด้วย^อุปกรณ์หลายชิ้น ทำให้ใช้งานไม่สะดวก นอกจากนี้
หัวprobeยังมีขนาดใหญ่ ไม่สามารถใช้กับโคพันธุ์^รประจำถิ่น เช่น พันธุ์พื้นเมืองภาคใต้ของไทย โคขาว
ลำพูน ซึ่งมักมีขนาดเล็กกว่าพันธุ์เนื้อหรือนมจากต่าง^{ประเทศ} อนุชา และคณะ (2545) ได้รายงานความ
สำเร็จในการเก็บโอโโอะไซต์โคนมผ่านทางช่องคลอด
โดยไม่ใช้เครื่องอัลตราซาวด์ พบว่ามีความสะดวก ใช้
ง่ายและใช้เวลาเพียง 15 นาทีต่อตัว ในส่วนของกรม
ปศุสัตว์ โดยสำนักเทคโนโลยีชีวภาพการผลิตปศุสัตว์
ได้ทดลองนำเทคนิคการปฏิสนธินอกร่างกายร่วมกับ^ก
การเก็บเซลล์ไข่ผ่านทางช่องคลอดโดยไม่ใช้เครื่อง^อ
อัลตราซาวด์ในโคพื้นเมือง (ณรงค์ และคณะ, 2547)
และสามารถผลิตตัวอ่อนระยะบลาสโตซีสได้ (สุรจิต
และคณะ, 2547) โดยล่าสุดสามารถผลิตลูกโคพื้น
เมืองได้ (ข้อมูลกำลังเตรียมเผยแพร่)

ประโยชน์ของการปฏิสนธินอกร่างกาย
ระยะเริ่มแรก จุดประสงค์หลักของการศึกษาวิจัย
การปฏิสนธินอกร่างกายในโคใน ก็คือ เพื่อผลิตตัว^อ
อ่อนให้มีราคาถูกลง (Gordon, 1994) เมื่อเทียบกับ

การผลิตตัวอ่อนโดยการกระตุ้นเพิ่มการตกไข่ (Super-ovulation) และเก็บตัวอ่อนโดยการจะจากปีกมดลูก (Embryo flushing/collection) ของสัตว์ ในการย้าย^ฝกตัวอ่อน (Embryo Transfer : ET) เนื่องจากใน^กการปฏิสนธินอกร่างกาย สามารถจะนำเซลล์ไข่^อจากรังไข่ที่ได้จากการตั้งครรภ์ ซึ่งจะได้เซลล์ไข่จำนวน^{มาก} อันหมายถึงจะมีโอกาสผลิตตัวอ่อนได้จำนวน^{มาก}ขึ้น ต่อมาได้มีการนำไปใช้ประโยชน์ในด้านอื่นๆ เพิ่มมากขึ้น รวมถึงนำไปประยุกต์ใช้ร่วมกับเทคโนโลยี^ท ทำให้การปฏิสนธินอกร่างกายหรือกระบวนการหรือ^ส่วนของกระบวนการปฏิสนธินอกร่างกายเป็นเทคโนโลยี^{พื้นฐาน}ของเทคโนโลยีการสืบพันธุ์^อ ได้แก่ การฉีด^{เซลล์ตัวอ่อน}สู่ไข่ไปในไข่ (Intracytoplasmic sperm injection : ICSI) การฉีดยีน/ดีเอ็นเอ (Gene/DNA injection) การนำการปฏิสนธินอกร่างกายไปใช้^{ประโยชน์}ด้านต่างๆ ได้แก่

1. เพิ่มจำนวนตัวอ่อน/ลูกสัตว์ในราคากล่อง

2. ใช้ร่วมกับเทคนิคการเก็บเซลล์ไข่ผ่านทาง^ผนังช่องคลอด (Ovum pick-up and in vitro embryo production : OPU-IVP) เพื่อผลิตตัวอ่อนอย่างไม่^{จำกัด}จากแม่สัตว์พันธุ์ดีซึ่งสามารถผลิตตัวอ่อนเพื่อ^{การค้า}ได้

3. ใช้ทดสอบความสามารถการปฏิสนธิของ^{เซลล์ตัวอ่อน} เป็นการตรวจสอบคุณภาพของน้ำเชื้อวิธีหนึ่ง

4. ใช้แก้ปัญหาสัตว์ที่มีพันธุกรรมดี ให้ผลผลิตดี^{เช่นโค}มีประวัติการให้ผลผลิตน้ำนมสูง แต่มีปัญหา^ผสมติดยาก อันเนื่องมาจากมดลูกคด หรือท่อน้ำไข่ตีบ^{หรือ}อายุมาก จนตั้งท้องเองไม่ได้ อย่างไรก็ตามรังไข่^{ยัง}ทำงานปกติ

5. อนุรักษ์พันธุกรรมสัตว์ที่มีจำนวนจำกัด

กระบวนการผลิตตัวอ่อนโดยการปฏิสนธินอกร่างกาย

กระบวนการผลิตตัวอ่อนจากการปฏิสนธินอกร่างกาย กระบวนการผลิตตัวอ่อนจากการปฏิสนธินอกร่างกาย ประกอบด้วยขั้นตอนต่างๆ 7 ขั้นตอน ดังนี้

1. การเก็บเซลล์ไข่จากรังไข่ ทำได้หลายวิธี เช่น การเจาะจากรังไข่โดยใช้เข็มฉีดยา ขนาด G 18-19 การผ่าฟอลลิคูลบนผิวรังไข่ (dissect intact follicle) การใช้ใบมีดโกนกรีดบนผิวรังไข่ (slicing) และการเจาะเก็บผ่านทางผนังช่องคลอด จากนั้นคัดเลือกเฉพาะเซลล์ไข่คุณภาพดี

2. การเพาะเลี้ยงเซลล์ไข่ให้เจริญพร้อมปฏิสนธิ ในหลอดทดลอง (in vitro maturation) ใช้เวลา 20-24 ชั่วโมง มีปัจจัยที่มีผลต่อการเจริญพร้อมปฏิสนธิ หลายประการ

3. การเตรียมเซลล์อสุจิ ให้อยู่ในสภาพพร้อมที่จะปฏิสนธิ (capacitation of sperm) กับเซลล์ไข่ในหลอดทดลอง มีหลายวิธี ที่นิยมใช้อย่างแพร่หลาย ได้แก่ วิธี swim-up วิธี BSA/Percoll density gradients เป็นการคัดกรองเซลล์อสุจิ เฉพาะที่แข็งแรงและสมบูรณ์

4. การปฏิสนธิ (in vitro fertilization) เป็นการนำเซลล์ไข่ที่เจริญพร้อมปฏิสนธิมาเลี้ยงร่วมกับเซลล์อสุจิที่เตรียมในข้อ 3. ระยะเวลาการเลี้ยงร่วมกันตั้งแต่ 6-18 ชั่วโมง ขึ้นกับชนิดของ

5. การเพาะเลี้ยงตัวอ่อนหลังปฏิสนธินอกร่างกาย (embryo culture) ในโคงะเลี้ยงตัวอ่อนจนถึงระยะมอรุลาหรือblastocyst โดยใช้เวลา 6-7 วัน จึงนำไปฝึกในมดลูกของโคตัวรับ สำหรับระบบการเพาะเลี้ยงตัวอ่อน มี 2 ระบบ คือ เลี้ยงภายในร่างกายสัตว์ (in vivo culture) หมายถึงเลี้ยงในท่อนำไข่หรือในไข่ไก่ และในหลอดทดลอง (in vitro culture) ในปัจจุบันนิยมใช้การเพาะเลี้ยงในหลอดทดลอง โดยมีการใช้น้ำยาเลี้ยงชนิดต่างๆ และระบบการเลี้ยงที่มีหรือไม่มีเซลล์ร่วม (co-culture system)

6. การเก็บรักษาตัวอ่อน ส่วนใหญ่จะใช้วิธีแช่แข็ง เพื่อเก็บไว้ในชุดตัวอ่อนแข็ง การแช่แข็งตัวอ่อนทำได้หลายวิธี ได้แก่ การแช่แข็งแบบลดอุณหภูมิลงอย่างช้าๆ ส่วนใหญ่จะใช้เครื่องแช่แข็งแบบมีโปรแกรมการลดอุณหภูมิแบบอัตโนมัติ การแช่แข็งแบบลดอุณหภูมิลงอย่างรวดเร็ว

7. การฝ่ากตัวอ่อนไปยังตัวรับ เมื่อตัวอ่อนเจริญถึงระยะมอรุลาหรือblastocyst หากมีตัวรับพร้อม คือหลังเป็นสัตย์นิ่ง 7 วัน ก็สามารถนำตัวอ่อนไปฝ่าแบบตัวอ่อนสดได้ หรือฝ่ากตัวอ่อนแข็ง

วิธีตรวจสอบการปฏิสนธิ

การตรวจสอบการปฏิสนธิ เป็นการตรวจว่ามีเซลล์อสุจิสามารถเจาะผ่านเข้าไปในไข่ได้หรือไม่ ตลอดจนตรวจสอบการเปลี่ยนแปลงลักษณะของนิวเคลียสของทั้งไข่และอสุจิ การปฏิบัติตามด้านการปฏิสนธินอกร่างกาย จำเป็นต้องมีการตรวจสอบการปฏิสนธิเพื่อทดสอบประสิทธิภาพของวิธีการที่ใช้ในการดำเนินงาน การตรวจสอบมีหลายวิธี ได้แก่

1. วิธีย้อมสี เพื่อตรวจสอบการเกิดโปรนิวเคลียสของเซลล์อสุจิและเซลล์ไข่ภายในไซโทพลาซึม การย้อมสีสามารถดำเนินการได้หลังการนำเซลล์อสุจิผสมกับเซลล์ไข่ 18-19 ชั่วโมง ส่วนวิธีย้อมสีมีหลายวิธี ได้แก่ การย้อมแบบ rapid staining method (Byun et al., 1991) การย้อมด้วย aceto-orcein ก็เป็นวิธีหนึ่งที่นิยมใช้กันอย่างแพร่หลาย ทั้งสองวิธีใช้ค่าใช้จ่ายไม่แพง อีกวิธีหนึ่งคือ การย้อมด้วยสารที่เป็น DNA probe ได้แก่ propidium iodide (PI), DAPI, Hoechst 33258 โดยต้องใช้กล้องจุลทรรศน์ ที่ติดอุปกรณ์ฟลูออเรสเซนส์

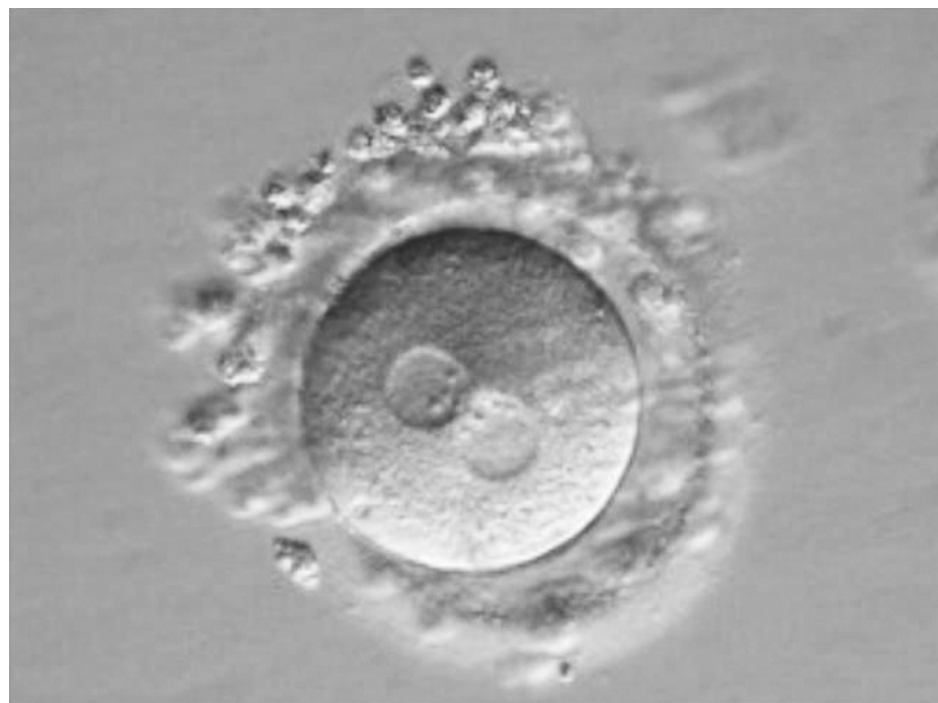
2. ตรวจสอบอัตราการแบ่งตัวของตัวอ่อน การตรวจการแบ่งตัวของตัวอ่อนที่ระยะ 2-4 เซลล์สามารถตรวจสอบได้หลังจากเลี้ยงตัวอ่อน 42 ชั่วโมงหลังการผสมกับตัวอสุจิ (Gordon, 1994) วิธีนี้ไม่ต้องทำให้ตัวอ่อนตายเหมือนวิธีแรก ทำให้ไม่สูญเสียตัวอ่อนอย่างไรก็ตาม ไม่สามารถตรวจสอบรายละเอียดการปฏิสนธิได้

3. ตรวจสอบจำนวนเซลล์อสุจิที่ติดในเปลือก (zona pellucida) ของเซลล์ไข่ โดยอาศัยหลักการหลังจากเซลล์อสุจิตัวแรกสามารถเจาะผ่านเข้าไปเปลือกแล้ว จะเกิด “zona reaction” เพื่อไม่ให้อสุจิตัว

อีนๆ เข้าไปได้ ดังนั้นเซลล์สุจิที่เหลือจะติดอยู่ที่เปลือก
สามารถสังเกตได้โดยใช้กล้องจุลทรรศน์

4. การตรวจสอบด้วยกล้องจุลทรรศน์ที่มีการ
ทำงานแบบ Differential interference contrast (DIC)
วิธีนี้ใช้ในกรณีเซลล์ไข่ชนิดที่มีไขมันภายในไข่ใหญ่
พลาซึม้อย เช่น ไข่ของกระต่าย หนู คน (รูปที่ 2)

เนื่องจากขั้นตอนการปฏิบัติงานปฏิสินธินอกร่างกาย
ประกอบด้วยหลายขั้นตอน ซึ่งต้องอาศัยความ
ละเอียดอ่อน ระมัดระวังในทุกขั้นตอน อีกทั้งยังต้อง¹
คำนึงถึงหลักวิชาการ Gordon (1994) ได้รวบรวม
ปัจจัยต่างๆ ที่มีผลต่อความสำเร็จในการดำเนินงาน
ปฏิสินธินอกร่างกาย สรุปได้ดังนี้



รูปที่ 2 โปรนิวเคลียสของไข่และอุสุจิของคนที่สังเกตได้จากการกล้อง DIC

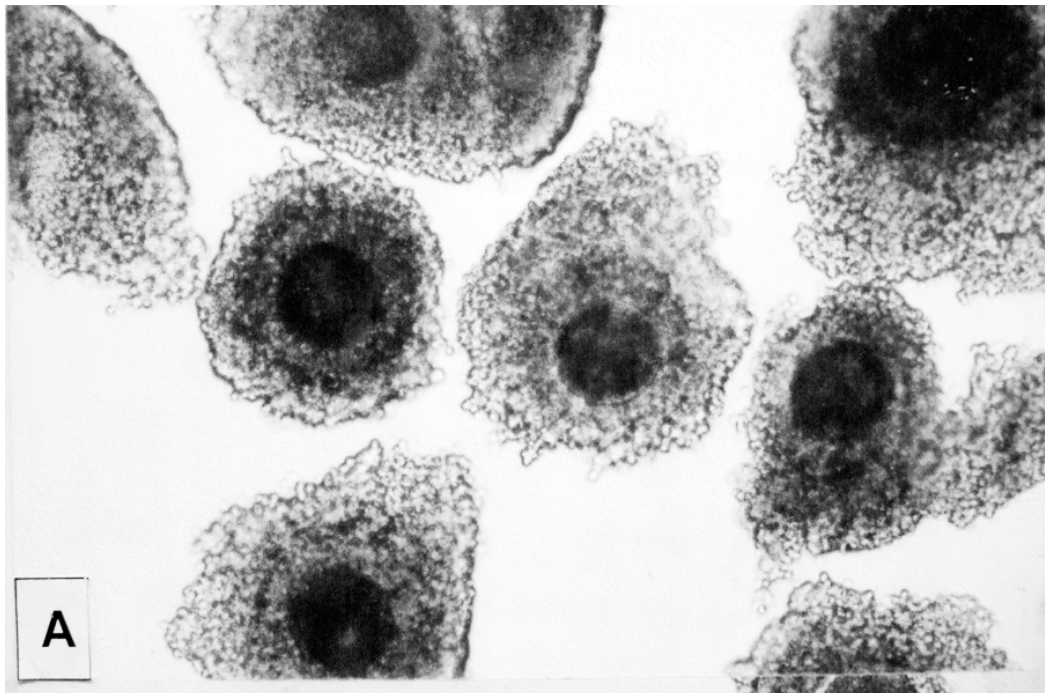
นอกจากวิธีดังกล่าวข้างต้นแล้ว ยังมีวิธีการใหม่ๆ
ที่ทันสมัย สามารถตรวจวิเคราะห์ได้รวดเร็ว

ปัจจัยที่มีผลต่อความสำเร็จในการปฏิบัติงาน ปฏิสินธินอกร่างกาย

แม้ว่าจะมีการศึกษาการปฏิสินธินอกร่างกาย
มากกว่า 40 ปีแล้ว รายงานความสำเร็จจากหลายห้อง
ปฏิบัติการ แต่ก็ยังมีอีกหลายแห่งที่มีอัตราความ
สำเร็จต่ำ หรือไม่สามารถผลิตตัวอ่อนได้ แม้ว่าจะใช้
วิธีการเดียวกับรายงานของต่างประเทศก็ตาม ทั้งนี้

1. คุณภาพของเซลล์ไข่ เซลล์ไข่ที่มีคุณภาพดี
ที่สูงคัดเลือกเข้ากระบวนการปฏิสินธินอกร่างกาย
จะให้อัตราการเจริญของตัวอ่อนถึงระบบ blasatozี
สามารถกว่าเซลล์ไข่ที่มีคุณภาพด้อยกว่า เซลล์ไข่ที่มี
คุณภาพดี คือ เซลล์ไข่ที่มีชั้นของเซลล์คิวมูลัสเกาะติด
กันอย่างหนาแน่นหลาชั้น (compact multilayered
cumulus) ใช้โบทราซึมและเซลล์คิวมูลัสเมลินวัล
สม่ำเสมอตัวอย่างเซลล์ไข่คุณภาพดี ดังรูปที่ 3

2. ระบบการเพาะเลี้ยงเซลล์ไข่ให้เจริญพร้อม
ปฏิสินธินอกร่างกาย รวมถึงชนิดของน้ำยาเพาะ



รูปที่ 3 เซลล์ไข่คุณภาพดี มีเซลล์คิวมูลสหุ้มหล่ายขั้น

เลี้ยงส่วนประกอบของสารเคมี ฮอร์โมน ชนิดและขนาดของสารที่เติม อุณหภูมิ ระยะเวลา ตลอดจนสภาพบรรยายกาศภายในตัวเพาะเลี้ยง

3. คุณภาพของน้ำเชื้อแข็งที่ใช้ในการปฏิสนธิ ต้องเป็นน้ำเชื้อที่มีคุณภาพหลังละลายตามมาตรฐานของน้ำเชื้อแข็งที่สามารถนำไปผสมเทียมแบบปกติได้

4. วิธีการเตรียมน้ำเชื้อก่อนนำไปปฏิสนธิกับเซลล์ไข่ การเตรียมน้ำเชื้อมีหลายวิธี ได้แก่ swim-up technique, Glass-wool filtration, BSA/Percoll density gradients รวมถึงความเข้มข้นของตัวอสุจิและปริมาณของน้ำยาที่มีตัวอสุจิ ที่จะนำไปผสมกับน้ำยาที่ใช้ปฏิสนธิ ซึ่งมีผลต่ออัตราการปฏิสนธิ โดยแต่ละห้องปฏิบัติการควรมีการตรวจสอบว่าวิธีการใดเหมาะสมสมกับชนิดของน้ำเชื้อที่สุด ให้ผลการปฏิสนธิสูงสุด และให้ผลอัตราการเจริญของตัวอ่อนไปถึงระบบลากโตซีสได้ที่สุด

5. ระบบการเลี้ยงในช่วงปฏิสนธิ หมายถึงการเลี้ยงเซลล์ไข่ที่พร้อมปฏิสนธิร่วมกับตัวอสุจิ มีทั้งแบบ

เลี้ยงใน microdrop เลี้ยงในหลุมของถาดพลาสติก การเลี้ยงร่วมกับเซลล์อื่นๆ อุณหภูมิ ระยะเวลาการเลี้ยง สภาพแวดล้อมในตู้เพาะเลี้ยง รวมถึงชนิดน้ำยาที่ใช้สำหรับการปฏิสนธิ

6. ระบบการเพาะเลี้ยงตัวอ่อนหลังปฏิสนธิ การเลี้ยงตัวอ่อนในท่อน้ำไข่ เป็นวิธีที่นิยมใช้ในช่วงเวลาที่เริ่มมีการศึกษาการปฏิสนธิ โดยท่อน้ำไข่ที่ใช้มาจากการต่าย แกะ โโค โดยมีการใช้ท่อน้ำไข่ต่างชนิดกับตัวอ่อน เช่น ใช้ท่อน้ำไข่แกะมาเลี้ยงตัวอ่อนโโค ซึ่งพบว่าให้ผลดี อย่างไรก็ตามวิธีนี้ไม่สะดวกนัก จึงมีการศึกษาการเพาะเลี้ยงในหลอดทดลองโดยมีเซลล์พี่เลี้ยง หรือเลี้ยงร่วมกับเซลล์ชนิดต่างๆ ต่อมามีการศึกษาการใช้น้ำยาเลี้ยงชนิดที่ไม่ต้องมีเซลล์พี่เลี้ยง ระบบการเพาะเลี้ยงมีผลอย่างมากต่ออัตราการเจริญของตัวอ่อนไปถึงระบบลากโตซีส ตลอดจนการเจริญของฟีตัส (fetus) ในห้องแม่

ตัวอย่างการนำเทคนิคการปฏิสนธินอกร่างกายร่วมกับการเก็บเซลล์ไข่ (IVF-OPU) ไปใช้ผลิตลูกโคนมและโคพื้นเมือง

กรมปศุสัตว์ โดยสำนักเทคโนโลยีชีวภาพการผลิตปศุสัตว์ ได้นำเทคนิคการปฏิสนธินอกร่างกายร่วมกับการเก็บเซลล์ไข่ไปใช้ผลิตลูกโคนมและโคพื้นเมืองได้สำเร็จ โดยดำเนินงานร่วมกับคณะสัตวแพทยศาสตร์ มหาวิทยาลัยเชียงใหม่ การเก็บเซลล์ไข่ได้สำเร็จการเก็บโดยไม่ใช้เครื่องอัลตราซาวน์ ไข่ที่เก็บได้จะถูกนำไปเข้ากระบวนการปฏิสนธินอกร่างกาย ระยะblastocyst จึงนำกลับไปย้ายฝากรังโดยตัวรับจากการดำเนินงานที่ผ่านมา มีลูกโคนมเกิด 7 ตัว (รูปที่ 4 A) และโคพื้นเมืองเกิด 2 ตัว (รูปที่ 4 B) จากผลการดำเนินงานนี้ แสดงว่า สามารถนำเทคนิคเทคนิคการปฏิสนธินอกร่างกายร่วมกับการเก็บเซลล์ไข่ไปใช้ผลิต

ลูกโคนมและโคพื้นเมืองได้ ซึ่งจะเป็นประโยชน์ต่อการวางแผนปศุสัตว์ ทั้งในแง่การผลิตลูกจากแม่พันธุ์ดีได้เพิ่มขึ้นจากแม่ตัวหนึ่งๆ และในแง่การอนุรักษ์และกระจายสัตว์พันธุ์ที่มีจำนวนจำกัด

สรุป

การดำเนินงานด้านการปฏิสนธินอกร่างกาย ต้องคำนึงถึงปัจจัยต่างๆ ที่มีผลต่อความสำเร็จ และต้องปรับปรุงให้ทันสมัยตลอดเวลา เทคนิคการปฏิสนธินอกร่างกาย ได้ถูกพัฒนามาจนสามารถนำมาใช้ผลิตลูกสัตว์ได้อย่างกว้างขวาง ในต่างประเทศ และในเมืองไทยก็สามารถนำมาใช้อย่างได้ผลแล้ว แต่ยังไม่กว้างขวางนัก หากมีการนำมาใช้อย่างจริงมากขึ้นทั้งภาครัฐและเอกชน จะทำให้การพัฒนาพันธุ์และ การปรับปรุงพันธุ์ รวมถึงการเพิ่มจำนวนสัตว์พันธุ์ เป็นไปได้รวดเร็วขึ้น



A : ลูกโคนม



B : ลูกโคพื้นเมือง

รูปที่ 4 ลูกโคอายุ 1 สัปดาห์ ที่เกิดจากการปฏิสนธินอกร่างกาย และเซลล์ไข่ที่เก็บผ่านทางผนังช่องคลอด A : ลูกโคนม B : ลูกโคพื้นเมือง

เอกสารอ้างอิง

ณรงค์ เลี้ยงเจริญ อนันท์ เทื่องสันเทียะ บุญชู ศรีสุข และ มาลี อภิเมธี ดำรง. 2547. การเก็บโอโวไซต์โคพื้นเมืองภาคใต้ผ่านทางผนังช่องคลอดโดยไม่ใช้อัลตราซาวน์. ประชุมสัมมนาวิชาการปศุสัตว์ ครั้งที่ 19, 26-30 พฤษภาคม 2547. พิพิธภัณฑ์การเกษตรเฉลิมพระเกียรติ ปทุมธานี. ชีดีรอม.

สุรจิต ทองสอดแสง ณรงค์ เลี้ยงเจริญ และ มาลี อภิเมธี ดำรง. 2547. การผลิตตัวอ่อนโคพื้นเมืองไทยภาคใต้ (โคชน) โดยการเก็บไข่ตัวอ่อนจากรังไข่ผ่านทางผนังช่องคลอดและการปฏิสนธินอกร่างกาย. วารสารสัตวแพทย์. 14 (3) : 167-178.

อนุชา สนธนวงศ์ สุวิชัย โรจน์เสถียร อภิชาต โอพารัตน์ชัย จตุรงค์ จริยะนรริชช์ กีรติ อิจฉ้า และ จุรีรัตน์ สำเร็จประสงค์. 2545. การเก็บเซลล์ไข่โคผ่านทางผนังช่องคลอดโดยไม่ใช้อัลตราซาวด์. ประชุมวิชาการทางสัตวแพทย์และการเลี้ยงสัตว์. ครั้งที่ 28, 9-11 ตุลาคม 2545. กรุงเทพมหานคร.

Boni, R., Roviello, S. and Zicarelli, L. 1996. Repeated ovum pick-up in Italian Mediterranean buffalo cows. *Theriogenology* 46: 899-909.

Brackett, B.G., Bousquet, D., Boice, M.L., Donawick, W.J., Evans, J.F. and Dressel, M.A. 1982. Normal development following in vitro fertilization in the cow. *Biol. Reprod.* 27: 147-158.

Byun, T.H., Lee, S.H. and Song, H.B. 1991. Development of a rapid staining method for nucleus of the oocyte from domestic animals. *Korean J. Anim. Sci.* 33(1): 25-31.

Gordon, I. 1994. Laboratory production of cattle embryos. CAB International, Oxon, UK: 640 pp.

Goto, K., Kajihara, Y., Kasaka, S., Koba, M., Nakanishi, Y. and Ogawa, K. 1988. Pregnancies after co-culture of cumulus cells with bovine embryo derived from in vitro fertilization of in vitro matured follicular oocytes. *J. Reprod. Fert.* 83: 753-758.

Kitiyanant, Y., Tocharus, C., Areekijser, M. and Pavasuthipaisit, K. 1995. Swamp buffalo oocytes from transvaginal ultrasound-guided aspiration fertilized and co-cultured in vitro with bovine oviductal epithelial cells. *Theriogenology* 43 (1): 250.

Looney, C.R., Lindsey, B.R., Gonseth, C.L. and Johnson, D.L. 1994. Commercial aspects of oocyte retrieval and in vitro fertilization (IVF) for embryo production in problem cows. *Theriogenology*. 41: 67-72.

Manik, R.S., Singla, S.K. and Palta, P. 2003. Collection of oocytes through transvaginal ultrasound-guide aspiration of follicles in an Indian breed of cattle. *Anim. Reprod. Sci.* 76: 155-161.

Pavasuthipaisit, K., Holyoak, R.G., Tochalus, C. and Kittiyanant, Y. 1995. Repeated transvaginal follicular aspiration in swamp buffalo. *Theriogenology* 43: 295 (Abstract).

Pieterse, M.C., Kappen, K.A., Kruip, Th.A.M. and Taveme, M.A.M. 1988. Aspiration of bovine oocytes during transvaginal ultrasound scanning of the ovaries. *Theriogenology* 30: 751-762.

Reis, A., Staines, M.E., Watt, R.G., Dolman, D.F. and McEvoy, T.G. 2002. Embryo production using defined oocyte maturation and zygote culture media following repeated ovum pick-up (OPU) from FSH-stimulated Simmental heifers. *Anim. Reprod. Sci.* 72: 137-151.

Techakumphu, M., Tantasuparak, W. and Singlor, J. 1996. Successful blastocyst production from Native Thai calf oocytes after in vitro fertilization. *Thai J. Vet. Med.* 26: 169-176.

เทคโนโลยีการผลิตตัวอ่อนโคลนนิ่ง

ดร.รังสรรค พาลพ่าย

ศูนย์วิจัยเทคโนโลยีตัวอ่อนและเซลล์ตันกำนิด และสาขาวิชาเทคโนโลยีชีวภาพ
มหาวิทยาลัยเทคโนโลยีสุรนารี จังหวัดนครราชสีมา
โทรศัพท์: 044-224 244 โทรสาร: 044-224 154 อีเมล: rangsun@g.su.ac.th

ประวัติของการโคลนนิ่ง

โดยปกติการลืบพันธุ์ของคนหรือสัตว์ต้องอาศัยการผสมกันระหว่างตัวอ่อนสุก กับไข่ หลังจากผสมกันแล้ว จะแบ่งตัวเจริญพัฒนาเป็นตัวอ่อน แล้วคลอดออกมาก เป็นสัตว์หรือคน ซึ่งจะมีลักษณะทางพันธุกรรมเหมือนพ่อแม่แต่ไม่ถูก遗传 แต่การโคลนนิ่งจะต่างจากการลืบพันธุ์ตามธรรมชาติ เพราะการโคลนนิ่งเป็นกระบวนการสร้างสิ่งมีชีวิตให้มีลักษณะทางกายภาพและพันธุกรรมเหมือนกันโดยไม่ใช้เซลล์ลืบพันธุ์เพศผู้ (อสุจิ) และเพศเมีย (ไข่) มาผสมกันแต่จะใช้เซลล์จากสัตว์ที่เราต้องการโคลนนิ่งมาใช้เป็นเซลล์ตันแบบแล้วฉีดเข้าไปในไข่ที่ดูดนิวเคลียสออกแล้ว ทำให้ลูกที่ได้มีลักษณะของเพศและพันธุ์เหมือนกับเซลล์ตันแบบทุกประการ

การโคลนนิ่งเริ่มครั้งแรกในปี พ.ศ. 2495 โดยโอมัส คิง ได้ทำการทดลองโคลนนิ่งตัวอ่อนกับโดยนำเอานิวเคลียสของตัวอ่อนกับออกม่า และนำไปใส่แทนนิวเคลียสของไข่กับที่ยังไม่ปฏิสนธิ ผลปรากฏว่า ไข่ดังกล่าวสามารถเจริญเติบโตขึ้นเป็นลูกอ่อน ต่อมา โรเบิร์ต บริกก์ และโอมัส คิง ได้พัฒนาเทคนิคที่เรียกว่า การย้ายฝักนิวเคลียส (Nuclear Transfer) ขึ้นมาและวิธีนี้ยังเป็นที่นิยมใช้อยู่จนถึงปัจจุบัน

ในช่วงแรกของการทำโคลนนิ่งนิยมใช้เซลล์ของตัวอ่อนที่เกิดจากการปฏิสนธิตามธรรมชาติเป็นเซลล์ตันแบบ มีนิวเคลียสต์หลายห้องท่านได้ทำการทดลองโคลนนิ่ง โดยใช้เซลล์ตัวอ่อนของลัตเวียนดิตต่างๆ เป็นเซลล์ตันแบบ เช่น แกะ โค หนู เป็นต้น

ต่อมาได้มีการพยายามใช้เซลล์ร่างกายเป็นเซลล์ตันแบบเพื่อทำโคลนนิ่ง ซึ่งผู้ที่บุกเบิกได้แก่ ดร.เอียน วิลเม็ท และคณะ และประสบความสำเร็จ

เป็นครั้งแรกในปี พ.ศ. 2540 ดร. วิลเม็ท ได้ทำการโคลนนิ่งแกะโดยใช้เซลล์เต้านมของแกะโดยเติมวัยเป็นเซลล์ตันแบบสำเร็จเป็นรายแรกของโลก จากนั้นเป็นต้นมา นักวิทยาศาสตร์ ทั่วโลกได้ศึกษาวิจัยการนำเซลล์จากส่วนต่างๆ ของร่างกายสัตว์อีกหลายชนิดมาทำเป็นเซลล์ตันแบบ จนประสบความสำเร็จดัง แสดงในตารางที่ 1

ในที่นี้จะกล่าวถึงขั้นตอนและวิธีการทำโคลนนิ่งโดยใช้เซลล์ใบหนูเป็นเซลล์ตันแบบ ซึ่งมีขั้นตอนดังนี้

1. การเตรียมเซลล์ตันแบบ
2. การเตรียมไข่
3. การฉีดเซลล์ตันแบบเข้าไปในไข่
4. การเชื่อมเซลล์ตันแบบให้ติดกับไข่
5. การกระตุ้นให้เกิดการแบ่งตัว
6. การเลี้ยงตัวอ่อนโคลนนิ่งในหลอดแก้ว
7. การย้ายฝักตัวอ่อนโคลนนิ่งสู่แม่ตัวรับ

ซึ่งจะกล่าวถึงขั้นตอนต่างๆ โดยละเอียด ดังต่อไปนี้

1. การเตรียมเซลล์ตันแบบ

ทำการคัดเลือกโคลนนิ่งที่ให้ผลผลิตนழิหรือเนื้อที่ดี เพื่อนำมาเป็นตัวต้นแบบในการโคลนนิ่ง และทำการเก็บตัวอย่างใบหนูโดยทำการสะอดใบหนูโคลแล้วใช้มีดตัดที่ใบหนูให้เป็นรูปสามเหลี่ยมขนาดประมาณ 1×1 เซนติเมตร หรือใช้เครื่องเจาะรูหูที่มีเส้นผ่าศูนย์กลาง 4-5 มม. หลังจากนั้นนำชิ้นใบหนูที่ได้เก็บไว้ในน้ำยา แล้วนำกลับเข้าห้องปฏิบัติการ

เมื่อถึงห้องปฏิบัติการนำชิ้นใบหนูที่ได้มาทำการ

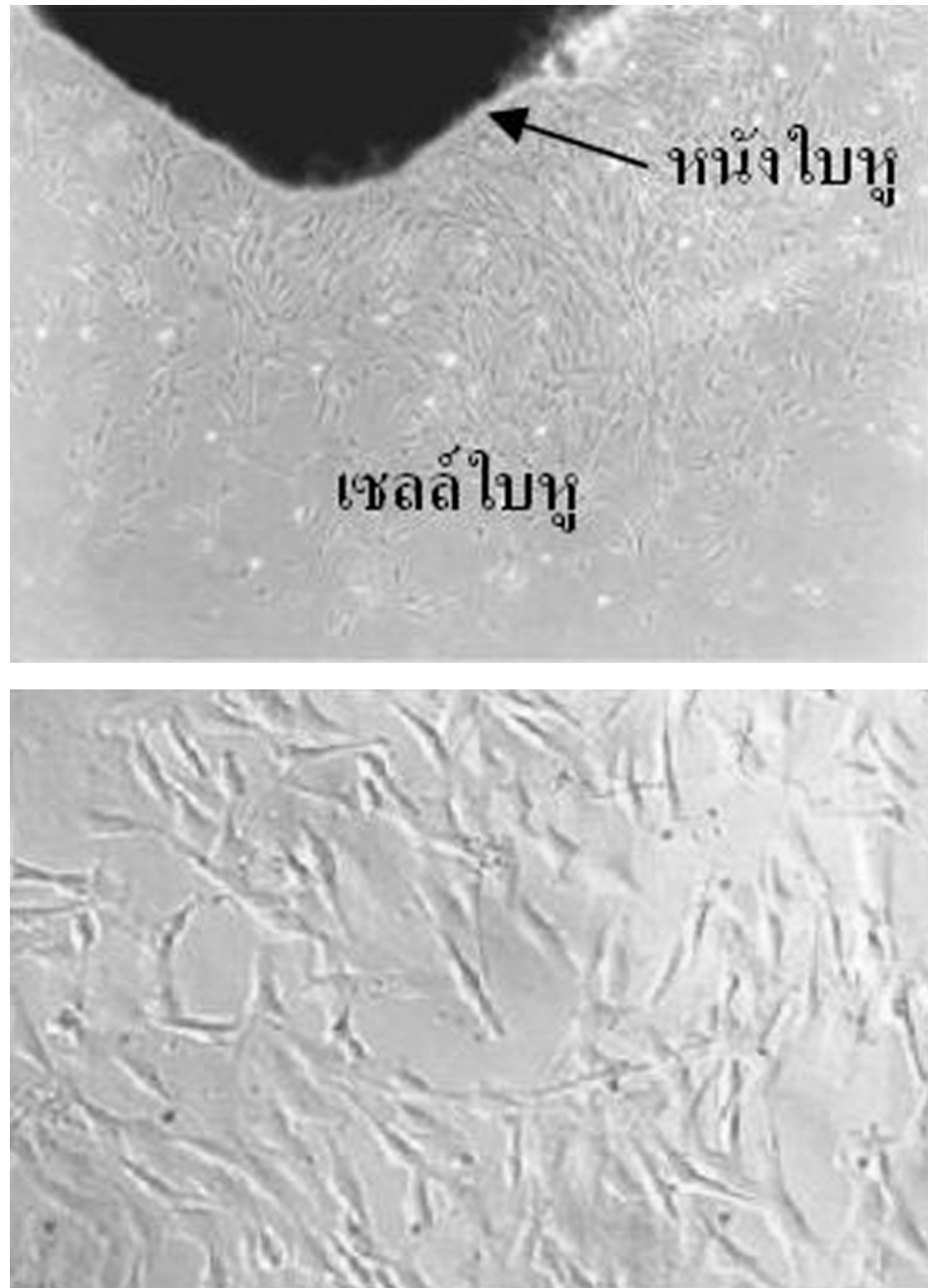
ตารางที่ 1 พลสำเร็จการคลอบบึงโดยใช้เชลล์ร่างกายเป็นเชลล์ตันแบบ

ชนิดสัตว์	ชนิดเชลล์ตันแบบ	ลูกสัตว์คลอด	ปี พ.ศ.
แกะ	เชลล์ผิวนังลูกอ่อน	+	2540
แกะ	เชลล์เต้านมลัต์โトイเต็มวัย	+	2540
โค	เชลล์ผิวนังลูกอ่อน	+	2541
หมู	เชลล์คิวมูลัส	+	2541
โค	เชลล์คิวมูลัส	+	2541
โค	เชลล์บุทอนนำไข่	+	2541
สุกร	เชลล์ผิวนังลูกอ่อน	-	2542
กระปือ	เชลล์ผิวนังลูกอ่อน	-	2542
กระปือ	เชลล์แกรนูโลชา	-	2543
สุกร	เชลล์ผิวนังลูกอ่อน	+	2543
สุกร	เชลล์แกรนูโลชา	-	2543
สุกร	เชลล์ใบหู	-	2543
สุกร	เชลล์กล้ามเนื้อ	-	2543
แมว	เชลล์คิวมูลัส	+	2545
ล่อ	เชลล์ผิวนังลูกอ่อน	+	2546
ม้า	เชลล์ผิวนังโトイเต็มวัย	+	2546
กว้าง	เชลล์ผิวนังโトイเต็มวัย	+	2546

หมายเหตุ + หมายถึง มีลูกเกิด และ - หมายถึง ไม่มีลูกเกิด

โภนชนทั้งด้านบนและด้านล่างออกให้หมดก่อน หลังจากนั้นจึงลอกหนังออกจากกระดูกอ่อน แล้วตัดส่วนที่เป็นหนังให้มีขนาดประมาณ 1x1 มิลลิเมตร หลังจากนั้นนำไปเลี้ยงในน้ำยาเลี้ยงเชลล์ในสภาวะที่เหมาะสมเป็นเวลานาน 4 วันจึงนำเชลล์ที่เลี้ยงออกมาก่อนตรวจสอบด้วยกล้องจุลทรรศน์เพื่อดูการเจริญเติบโตและเปลี่ยนหน้ายาที่ใช้เลี้ยงเชลล์ทุกๆ 3 วัน ลักษณะของเชลล์ที่เจริญขึ้นมาใหม่จะเป็นรูปกระสัยเรียงติดกัน

(รูปที่ 1) เมื่อได้เชลล์จำนวนหนึ่งแล้วจะทำการเพิ่มปริมาณให้ได้เชลล์จำนวนมากขึ้น แล้วนำไปเก็บรักษาไว้ในรูปเชลล์แข็ง เมื่อจะนำเชลล์ที่ได้มาใช้ ต้องทำการแยกให้เป็นเชลล์เดียวๆ ก่อนโดยใช้น้ำยาอย แล้วคัดเลือกเชลล์ที่มีรูปร่างปกติ กลม และมีขนาดไม่เล็กหรือใหญ่เกินไป เพื่อใช้เป็นเชลล์ตันแบบสำหรับใช้ฉีดเข้าไปในไข่



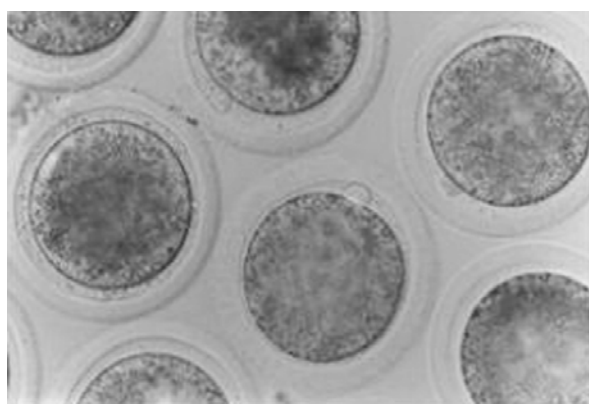
รูปที่ 1 แสดงการเจริญของเซลล์ออกจากชั้นใบหู (สีดำ) ที่จะใช้เป็นเซลล์ต้นแบบ

2. การเตรียมไข่

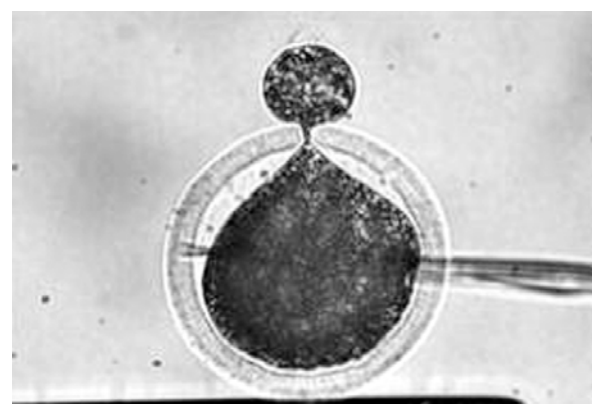
ทำการเก็บรังไข่มาจากการฟอกฟัน โดยเก็บไว้ในน้ำเกลือที่อุณหภูมิห้องระหว่างนำเข้าห้องปฏิบัติการแล้วดูดไข่ออกที่อยู่ในถุงไข่ขนาด 3-7 มม. ออกมากด้วยเข็มฉีดยาขนาด 21G ที่ต่อ กับระบบอกรสีดยาขนาด 10 ซีซี (รูปที่ 2 ก) จากนั้นนำไปที่ได้มาระเบิดในน้ำยา

สำหรับเลี้ยงไข่ให้สุกในหลอดแก้วประมาณ 19 - 20 ชั่วโมง เพื่อให้ไข่มีการเจริญต่อจนเป็นไข่สุก (รูปที่ 2 ข) เมื่อได้ไข่สุกแล้วนำมาทำการดูดตัวเนื้อเคลือยออกไป (รูปที่ 2 ค) ไข่ที่ได้จะเป็นไข่ที่พร้อมสำหรับการโคลนนิ่ง

(ก)



(ข)



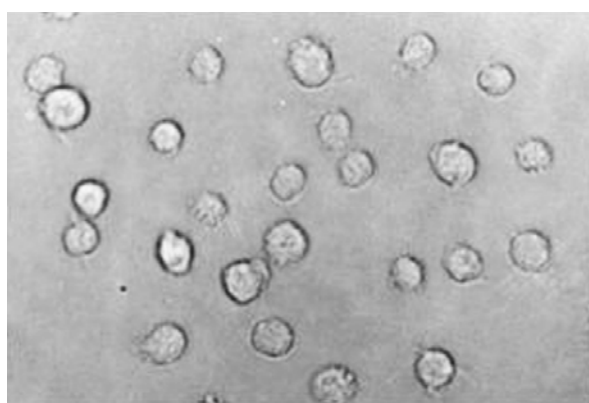
(ค)

รูปที่ 2 (ก) แสดงการดูดไข่โคจากรังไข่ที่ได้จากโรงฟาร์ม
(ข) แสดงไข่โคหลังจากที่เลี้ยงในน้ำยาสำหรับเลี้ยงไข่ให้สุกในหลอดแก้วนาน 19-20 ชั่วโมง
(ค) แสดงการดูดนิวเคลียสของไข่ออก

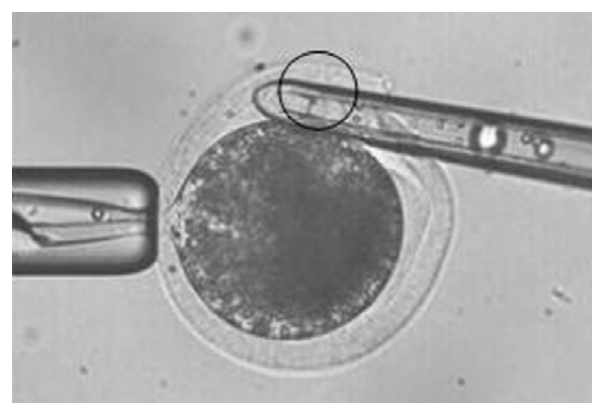
3. การจัดเซลล์ตันแบบเข้าไปในไข่

หลังจากที่ได้ไข่ที่ดูดนิวเคลียสออก และเซลล์ตันแบบที่เป็นเซลล์เดียวๆ (รูปที่ 3 ก) แล้วก็จะทำการจัดเซลล์ตันแบบ 1 เซลล์เข้าไปในไข่ โดยการ

ดูดเซลล์ตันแบบเข้ามาไว้ในหลอดแก้ว แล้วสอดผ่านผนังไข่เข้าไป จากนั้นฉีดปล่อยเซลล์ตันแบบให้เข้าไปอยู่ชิดกับไข่มากที่สุด (รูปที่ 3 ข)



(ก)



(ข)

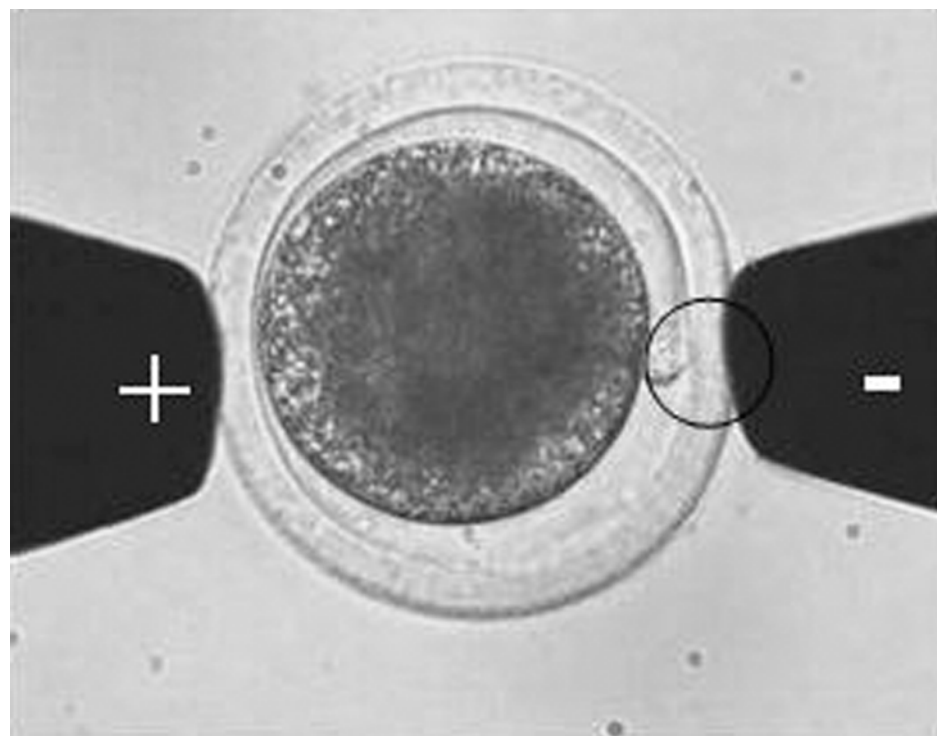
รูปที่ 3 (ก) แสดงเซลล์ตันแบบที่ถูกย่ออย่างเป็นเซลล์เดียวตัวน้อย
(ข) แสดงการจัดเซลล์ตันแบบ (วงกลม) เข้าสู่ไข่ที่ดูดนิวเคลียสออกแล้ว

4. การเชื่อมเซลล์ตันแบบกับไข่

หลังจากฉีดเซลล์ตันแบบเข้าไปในไข่แล้ว จะเป็นต้องมีการเชื่อมเซลล์ตันแบบและไข่ให้ติดกันด้วยกระแสไฟฟ้า เพื่อเป็นการหลอมเซลล์ตันแบบให้เข้ามาอยู่ภายในเซลล์ของไข่ โดยจัดให้เซลล์ตันแบบอยู่ในแนวเดียวกับอีเลคโทรดจ่ายกระแสไฟฟ้าทั้ง 2 ด้าน (รูปที่ 4) และจ่ายกระแสไฟฟ้า 30 V 15 μ sec 2 ครั้ง เพื่อเชื่อมเซลล์ให้ติดกัน

6. การเลี้ยงตัวอ่อนโคลนนิ่งในหลอดแก้ว

นำไข่ที่ผ่านการกระตุ้นให้แบ่งตัวแล้ว มาเลี้ยงในน้ำยา mSOFaa + 0.1% BSA ในตู้อบที่อุณหภูมิ 38.5°C ภายใต้บรรยากาศที่มี $5\% O_2$, CO_2 , N_2 เป็นเวลา 2 วัน จากนั้นทำการคัดเลือก ตัวอ่อนระยะ 8 เซลล์ ไปเลี้ยงในน้ำยา mSOFaa + 0.3% BSA ในตู้อบที่อุณหภูมิ 38.5°C ภายใต้บรรยากาศที่มี $5\% CO_2$ in air นาน 5 วัน โดยเลี้ยงร่วมกับเซลล์บุท่อนนำไปใช้

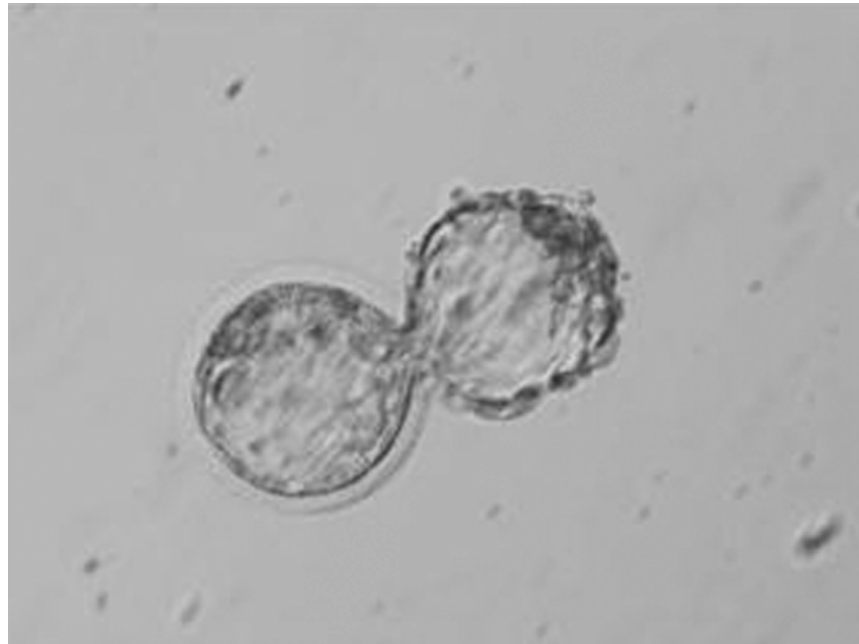


รูปที่ 4 แสดงการเชื่อมเซลล์ตันแบบ (วงกลม) กับไข่ด้วยกระแสไฟฟ้า

5. การกระตุ้นให้เกิดการแบ่งตัว

เมื่อเซลล์ตันแบบเชื่อมติดกับไข่แล้ว ขั้นตอนต่อไปที่ต้องทำคือการกระตุ้นไข่ให้เกิดการแบ่งตัว โดยการนำ ไปไว้ในน้ำยาที่มี 7% Ethanol เป็นเวลา 5 นาที และนำไปเลี้ยงต่อในน้ำยาที่มี 10 μ g/ml cycloheximide และ 1.25 μ g/ml cytochalasin D ในตู้อบอุณหภูมิ 38.5°C ภายใต้บรรยากาศที่มี $5\% CO_2$ in air เป็นเวลา 5 ชั่วโมง

ของโโคเนื้องจากเซลล์บุท่อนนำไปใช้สามารถผลลัพธ์ที่สนับสนุนการเจริญของตัวอ่อน โดยรวมแล้วจะทำการเลี้ยงตัวอ่อนในหลอดแก้วเป็นนาน 7 วัน ซึ่งจะได้ตัวอ่อนระยะblastocoeloidที่พร้อมฝังตัวในมดลูก (รูปที่ 5) หลังจากนั้นจึงทำการย้ายฝากตัวอ่อนไปยังมดลูกแม่โโคตัวรับ



รูปที่ 5 แสดงตัวอ่อนโคโรยยะบลาสโตรซีสหลังจากเลี้ยงในหลอดแก้ว 7 วัน

7. การย้ายฝากตัวอ่อนโคลนนิ่งให้โคตัวรับ

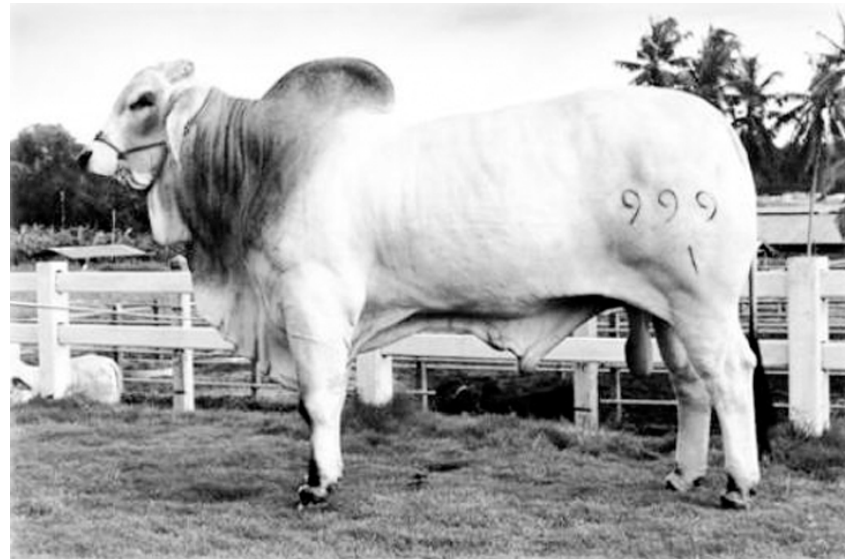
ทำการคัดเลือกแม่โคตัวรับที่มีความเหมาะสม โดยคัดเลือกเอาเฉพาะแม่โคที่มีระบบสืบพันธุ์ที่ดีคลอดลูกง่าย มาใช้เป็นแม่โคตัวรับ จากนั้นสังเกตการเป็นสัตเดือนแม่โคตัวรับเป็นสัตได้ 7 วัน จึงทำการย้ายฝากตัวอ่อนโคลนนิ่งเข้าสู่ปีกมดลูกของแม่โค อาจฝากได้ 1 - 2 ตัวอ่อนต่อ 1 แม่โคตัวรับ จากนั้นนำไปอีก 60 วันจึงล้างตรวจการตั้งท้องของแม่โค อัตราการตั้งท้องของตัวอ่อนโคลนนิ่งในระยะ 2 เดือนแรกจะมีประมาณ 30-40% และอัตราการตั้งท้องจนครบกำหนดคลอดมีประมาณ 10%

ความสำเร็จในประเทศไทย

จากการกระบวนการโคลนนิ่งที่กล่าวมา มีนักวิทยาศาสตร์จำนวนมากนำเทคนิคเหล่านี้ไปใช้ในการโคลนนิ่งสัตว์ต่างๆ จนประสบความสำเร็จอย่างแพร่หลาย โดยเฉพาะในประเทศไทยสามารถสร้างลูกโคโคลนนิ่งได้แล้ว 17 ตัว โดยใช้กระบวนการข้างต้นคือ ลูกโคพันธุ์แบบกัสเพศเมีย ชื่อ อิง เกิดเมื่อ 6 มีนาคม 2543 นับเป็นลูกโคโคลนนิ่งตัวแรกของเอเชียตะวันออกเฉียงใต้

และเป็นตัวที่ 6 ของโลก นอกจากนี้ยังมีลูกโคพันธุ์บรรหาร์มันแทเพคเมีย ชื่อ นิโคล กีดมา ทั้งอิงและนิโคล เป็นผลงานของ ดร. รังสรรค์ พาลพ่าย และคณะ ขณะปฏิบัติงานอยู่ที่คณะสัตวแพทยศาสตร์ จุฬาลงกรณ์มหาวิทยาลัย นอกจากนี้แล้วยังมีการผลิตลูกโคโคลนนิ่งพันธุ์บรรหาร์มันแทเพคผู้ ชื่อ ตูมตาม (รูปที่ 6 ก.) โดยใช้เซลล์ร่างกายส่วนใบหูเป็นเซลล์ต้นแบบ ได้ลูกโคโคลนนิ่งจากเซลล์ต้นแบบของตูมตามเกิดมาถึง 7 ตัว เกิดมาระหว่างวันที่ 25 ตุลาคม 2546 ถึง 7 มกราคม 2547 (รูปที่ 6 ข.) นอกจากนี้ยังมี ลูกโคพันธุ์บรรหาร์มันແಡงเพคเมีย (จากโคตันแบบหมายเลข SK 180) เกิดมา 5 ตัว และ ลูกโคนมพันธุ์ไฮสไลท์เน็ฟรีชี่ยน (จากโคตันแบบหมายเลข 346) เกิดมา 3 ตัว และลูกโคโคลนนิ่งพันธุ์ขาวลำพูนเพคผู้ ชื่อ ขาวมงคล (จากโคตันแบบชื่อดอยอินทนนท์) เกิดมาเป็นรายแรกของประเทศไทย เมื่อวันที่ 21 มีนาคม 2550 (รูปที่ 7) ซึ่งเป็นผลงานของ ดร. รังสรรค์ พาลพ่าย และคณะ จากศูนย์วิจัยเทคโนโลยีตัวอ่อนและเซลล์ต้นกำเนิด มหาวิทยาลัยเทคโนโลยีสุรนารี

(ก)



(ข)



คุณตาม 2,3,4,5,6,7 และ 8 ลูกโคโค่อนนี้ พันธุ์บร้าhma รวม 7 ตัว อายุ 11-12 เดือน

รูปที่ 6 (ก) โคตันแบบตูมตามพันธุ์บร้าhma เท่าเพศผู้
(ข) ลูกโคโค่อนนี้ที่เกิดจากเซลล์ตันแบบของตูมตาม

(ก)



(ข)



รูปที่ 7 (ก) โคตันแบบดอยอินทนนท์ พันธุ์ขาวลำพูนเพศผู้
(ข) ขาวมังคล ลูกโคโคลนนิ่งที่เกิดจากเซลล์ตันแบบดอยอินทนนท์

ประโยชน์และข้อจำกัดของการทำโคลนนิ่ง

การโคลนนิ่งเป็นประโยชน์ต่อวงการปศุสัตว์เป็นอย่างมาก ในแง่การเพิ่มจำนวนสัตว์พันธุ์ดีมากๆ ที่มีจำนวนไม่มากนัก แต่อย่างไรก็ตามนักวิทยาศาสตร์ยังต้องศึกษาวิจัยกันอีกมากเพื่อหาสาเหตุและหาวิธีการเพื่อลดปัญหาของการแท้งและการตายระหว่างคลอด และหลังคลอดของลูกสัตว์โคลนนิ่ง ซึ่งมีอัตราสูงกว่าสัตว์ที่เกิดมาจากการผสมพันธุ์ปกติหลายเท่าตัวสำหรับในแง่การทดลองทางวิทยาศาสตร์ การโคลนนิ่งเพื่อผลิตสัตว์ทดลองเพื่อใช้ในการทดสอบทางการแพทย์ จะสามารถช่วยลดจำนวนสัตว์ที่ใช้ในการทดลองให้น้อยลงทำให้ประหยัดค่าใช้จ่าย และช่วยลดความแปรปรวนของผลการทดลอง เนื่องจากสัตว์โคลนนิ่งเป็นสัตว์ที่มีลักษณะทางพันธุกรรมเหมือนกัน ในทางการแพทย์ได้มีการศึกษาอย่างมากในทั่วทุกมุมโลก เพื่อนำการโคลนนิ่งมาใช้ในการผลิตเซลล์ตันกำเนิดตัวอ่อน (Embryonic Stem cell) ด้วยการนำเซลล์ร่างกายของมนุษย์มาใช้เป็นเซลล์ตันแบบ เมื่อได้ตัวอ่อนจะมี

บลาสโตซีสแล้วจะแยกເອາເเซล්ล์ inner cell mass ไปเลี้ยงเพื่อผลิตเซลล์ตันกำเนิดที่มีพันธุกรรมเหมือนกับเจ้าของเซลล์ร่างกาย และนำเซลล์ตันกำเนิดตัวอ่อนที่ได้ไปใช้รักษาโรคในมนุษย์หรือใช้ในการปลูกถ่ายเนื้อเยื่อหรืออวัยวะ เพื่อลดปัญหาเรื่องการต่อต้านอวัยวะใหม่ นอกจากนี้ยังมีความพยายามที่จะโคลนนิ่งมนุษย์ให้เกิดมา แต่อย่างไรก็ตามการกระทำดังกล่าวยังไม่เป็นที่ยอมรับ เพราะยังติดปัญหาทางด้านจริยธรรม และมีกฎหมายห้ามทำดังนั้นการโคลนนิ่งมนุษย์จึงยังเป็นสิ่งที่ไม่สามารถทำได้ในปัจจุบัน ในปัจจุบันงานทดลองที่เป็นที่ยอมรับและถูกเผยแพร่จึงเน้นไปในทางการโคลนนิ่งสัตว์เศรษฐกิจ สัตว์ไก่ สุญพันธุ์ และการโคลนนิ่งเพื่อประโยชน์ในการศึกษาทางการแพทย์



การใช้ลายพิมพ์ดีเอ็นเอเพื่อพิสูจน์พ่อ-แม่-ลูกในโค

DNA Fingerprint for Parentage analysis in Cattle

กอลยา เก่งวิทย์กรรม, วิบูลย์ ตุลาธิกษา

บทคัดย่อ

เจ้าตัวอย่างเลือดของโคลูกผสมไทยโลลสไตน์จำนวน 57 ตัวอย่าง นำไปสกัดดีเอ็นเอ และเพิ่มปริมาณด้วยเทคนิคพีซีอาร์ โดยใช้ไฟรเมอร์จำนวน 11 ชุด คือ TGLA227, BM2113, TGLA53, ETH10, SPS115, TGLA126, TGLA122, INRA023, ETH3, ETH225 และ BM1824 สำหรับตรวจลายพิมพ์ดีเอ็นเอชนิดไมโครแซทเทลโลลท์จำนวน 11 ตำแหน่ง (Loci) เพื่อตรวจสอบความเป็นพ่อ-แม่-ลูก พบว่าจำนวนโค 36 ตัว มีความน่าจะเป็น ($CEP = 0.9998$) เป็นพ่อ-แม่-ลูก 12 ครอบครัว เพราะมีขนาดของดีเอ็นเอคล้ายคลึงกันในระหว่างพ่อ-แม่-ลูก ทั้ง 11 ตำแหน่ง และมี 7 ครอบครัว ที่ไม่เป็นครอบครัวเดียวกัน

คำสำคัญ : ลายพิมพ์ดีเอ็นเอ พิสูจน์พ่อ-แม่-ลูก โค

บทนำ

ในปี ค.ศ. 1953 เจมส์ ดี วัตสัน และฟราชีล คริก ค้นพบโมเลกุลของดีเอ็นเอ ที่มีโครงสร้างรั้งประกอบด้วยหน้าตานี้ ประกอบด้วยฟอสฟอสฟे�ต และเบส 4 ชนิด คือ อัตตีนีน (A-Adenine) ไทมีน (T-Thymine) ไซโตซีน (C-Cytosine) และกัวนีน (G-Guanine) ดีเอ็นเอคือสารพันธุกรรมที่อยู่ในนิวเคลียสของทุกเซลล์ เช่น เชลล์เม็ดเลือดขาว เชลล์ผิวน้ำ ปลายรากขัน เชื้ออสูร สามารถถ่ายทอดไปสู่รุ่นลูกหลาน ทำหน้าที่ควบคุมการทำงานของร่างกาย และลักษณะรูปร่าง ทำให้สิ่งมีชีวิตแต่ละหน่วยมีความแตกต่างกัน จำนวนดีเอ็นเอทั้งหมดบนเส้นโครโนมมีส่วนที่เป็นยีน (coding DNA) เพียง 5% ของดีเอ็นเอทั้งหมด และมีส่วนที่ไม่ใช่ยีน (non-coding DNA) มากถึง 95%

ในปี ค.ศ. 1985 ศาสตราจารย์ ดร. อเล็ก เจฟเฟรย์ พบว่าดีเอ็นเอในส่วนที่ไม่ใช่ยีน หรือลักษณะเป็นลายพิมพ์เหมือนบาร์โค้ด เรียกว่าลายพิมพ์ดีเอ็นเอ หรือ DNA fingerprint หรือ DNA profile มีความแตกต่างกันหลากหลายมาก (Polymorphism) จนสามารถใช้จำแนกความแตกต่างได้เฉพาะตัว หรือใช้พิสูจน์ความเป็นพ่อ-แม่-ลูกได้ เพราะดีเอ็นเอหรือสารพันธุกรรมของลูกได้รับจากพ่อครึ่งหนึ่ง และจากแม่ครึ่งหนึ่ง เมื่อนำมาดีเอ็นเอของพ่อ-แม่-ลูก มาเปรียบเทียบกันเฉพาะในส่วนที่ไม่ใช่ยีน จำนวนหลายตำแหน่ง (Loci) จะต้องพบความเหมือนกันของลายพิมพ์ดีเอ็นเอของลูก กับลายพิมพ์ดีเอ็นเอของพ่อ-แม่ ในทุกตำแหน่งที่เปรียบเทียบกัน

ในบางส่วนที่ไม่ใช่ยีน หรือ Non-coding gene เป็นส่วนที่เบสเรียงตัวซ้ำๆ กัน เรียกว่าเบสซ้ำ อよู่ภายในจีโนม (Genome) หรือดีเอ็นเอทั้งหมด มีส่วนที่เป็นเบสซ้ำประมาณ 30% ของจีโนม ลำดับเบสซ้ำมีความแตกต่างกันทั้งขนาด และจำนวนซ้ำ โดยลักษณะการเรียงตัวซ้ำกันมีอยู่ 2 กลุ่มใหญ่ๆ คือ เบสซ้ำต่อเนื่อง (tandem repeats) คือการเรียงตัวซ้ำต่อเนื่องเป็นช่วงๆ ยาว กระจายอยู่ภายในเส้นดีเอ็นเอ และเบสซ้ำ

กระจาย (interspersed repeats) เป็นกลุ่มของเบสซ้ำที่มีลักษณะไม่ต่อเนื่องและพบกระจายอยู่บริเวณต่างๆ ในจีโนม แบ่งได้เป็น 2 กลุ่มอย่างตามความยาวของเบสซ้ำ ได้แก่ ชนิดที่ 1 เบสซ้ำกระจายแบบสั้น (short interspersed elements หรือ SINES) มีขนาด 130-300 เบส พบริจีโนมในลักษณะเดียว หลายพันชุด และชนิดที่ 2 เบสซ้ำที่กระจายแบบยาว (long interspersed elements หรือ LINES) มีขนาดตั้งแต่ 500 เบสขึ้นไป

การเรียงตัวของเบสซ้ำแบบต่อเนื่อง (Tandem repeats) เป็นช่วงยาว พบรอยalty แห่งทั่วไปภายในดีเอ็นเอทั้งหมด จึงถูกนำมาใช้ในการตรวจสอบความแตกต่างเฉพาะตัว และใช้พิสูจน์พ่อ-แม่-ลูก โดยการเปรียบเทียบความเหมือนของจำนวนซ้ำของเบสในตัวอย่างของดีเอ็นเอของสิ่งมีชีวิตที่ต้องการตรวจสอบกับตัวอย่างดีเอ็นเอของสิ่งมีชีวิตที่ทราบข้อมูลที่แน่นอน

จำนวนซ้ำของเบสแบบ Tandem repeats แบ่งออกได้เป็น 3 ชนิด ตามจำนวนซ้ำและความยาวของหน่วยซ้ำ ชนิดที่ 1 คือแซทเทลไลท์ (Satellite) เป็นส่วนของดีเอ็นเอที่มีการเรียงตัวของเบสซ้ำขนาด 1-6 เบส เรียงยาวต่อเนื่องถึงหลายร้อยเบส โดยมีจำนวนซ้ำถึง 10^3 - 10^7 ครั้ง แต่มีการซ้ำชนิดนี้เพียง 1 หรือ 2 ตำแหน่งต่อโครโนม และมักพบที่บริเวณเซนโทรเมียร์ ชนิดที่ 2 คือมินิแซทเทลไลท์ (Minisatellite) เป็นส่วนของดีเอ็นเอที่มีเบสซ้ำขนาด 9-100 เบส เรียงยาวต่อเนื่อง พบริมาณ 10-1,000 ครั้ง การเรียงตัวซ้ำชนิดนี้มีจำนวนมาก และมีความหลากหลายสูง จึงมีอีกชื่อว่า วีเอ็นทีอาร์ (VNTR-Variable number of tandem repeats) ชนิดที่ 3 คือ ไมโครแซทเทลไลท์ (Microsatellite) เป็นส่วนของดีเอ็นเอที่มีเบสซ้ำขนาด 1-6 เบส เรียงยาวไม่เกิน 100 ครั้ง เช่น มีเบส C ซ้ำ 10 จะมีลักษณะการซ้ำคือ CCCCCCCCCCCC ถ้าเป็นชนิดเบสซ้ำ เช่น (CA)8 จะมีลักษณะการซ้ำคือ CA CA CA CA CA CA CA CA CA เปสซ้ำชนิดนี้มีเป็นจำนวนมากกระจายอยู่ในจีโนม ประมาณ 10^4 - 10^5 ตำแหน่ง และมีความหลากหลายสูงจนนำมาพัฒนาใช้

เป็นเครื่องมือตรวจลายพิมพ์ดีเอ็นเอ เรียกว่า ไมโครแซทเทลไลท์ มาร์คเกอร์ (Microsatellite marker-MM) (วิชัย และคณะ 2547)

ในการศึกษาพันธุ์ประวัติ (Pedigree) โโค และการพิสูจน์ฟ่อ-แม่-ลูก นิยมใช้ MM (Visscher et al., 2002, Ibeagha-Awemu and Erhard, 2005) เพราะ Taut and Renz (1984) พบว่า MM มีความหลากหลายสูง (Large polymorphism information) และพบในหลายตำแหน่งกระจายทั่วในดีเอ็นเอ เหมาะสมที่จะนำไปใช้เป็นในการตรวจลายพิมพ์ดีเอ็นเอ

ในประเทศไทยประชากรโคนมส่วนมากเป็นลูกผสมระหว่างโโคเนื้อพื้นเมือง กับโคนมพันธุ์แท้ไฮลส์ไตน์จากประเทศสหราชอาณาจักร 미국 (โดยสำนักเทคโนโลยีชีวภาพการผลิตปศุสัตว์ หรือเติมคือกองผลสมเทียม ได้พัฒนาขึ้นเป็นพันธุ์โคนมไทยไฮล์ไตน์ ในระหว่างการพัฒนาพันธุ์ ได้กำหนดโปรแกรมการผสมพันธุ์ระหว่างฟ่อพันธุ์โคนมผ่านการคัดเลือกมาแล้วด้วยวิธีทางสถิติ ว่ามีสิ่งที่ควบคุมลักษณะการให้น้ำนมสูงและมีสิ่งที่ควบคุมให้มีรูปร่างถูกต้องสมสัตถ์ส่วนโคนม กับแม่โคลูกผสมพื้นเมือง-ไฮลส์ไตน์ของเกษตรกร เพื่อให้ส่งผ่านสิ่งเหล่านี้ไปยังโคนมรุ่นลูกหลาน

ลูกโคนมที่เกิดจากการวางแผนผสมพันธุ์อย่างมีจุดมุ่งหมายเพื่อปรับปรุงพันธุกรรมให้ดียิ่งขึ้น สำหรับนำมาเลี้ยงเพื่อคัดเลือกไว้เป็นพ่อพันธุ์ ขึ้นทะเบียนไว้ผลิตน้ำเชื้อ เนื่องจากลูกโคนมเกิดในฟาร์มเกษตรกร บางครั้งการจำแนกให้ถูกต้องแน่นอนว่าเป็นลูกที่เกิดจากน้ำเชื้อพ่อพันธุ์โคนมของสำนักเทคโนโลยี ชีวภาพการผลิตปศุสัตว์ โดยตัดสินจากข้อมูลพันธุ์ประวัติเท่านั้น ไม่พึงพึง หรือการตรวจสอบว่า น้ำเชื้อที่ซื้อขายกันนั้น เป็นน้ำเชื้อของพ่อพันธุ์โโคที่มีเชื้อเสียง และมีราคาแพง แน่นอน ผลิตในศูนย์ผลิตน้ำเชื้อของเอกชน ไม่ได้ปลอมแปลง โดยเจ้าหน้าที่ซื้อพ่อโโคตัวอื่นมาขายแทน ทั้ง 2 กรณี จำเป็นต้องพิสูจน์ และตัดสินปัญหาด้วยการเปรียบเทียบลายพิมพ์ดีเอ็นเอ

การตรวจพิสูจน์ลายพิมพ์ดีเอ็นเอ โดยใช้ MM เป็นการตรวจเบลสช้าแบบไมโครแซทเทลไลท์ และจำเป็นต้องตรวจเป็นจำนวนหลายตำแหน่ง (Loci) เพื่อเพิ่มความน่าจะเป็นไปได้ให้มากขึ้น (exclusion probability-E.P.) ใน การศึกษาของ Cervini et al. (2006) พบว่าถ้าใช้เฟรเมอร์ จำนวนมากถึง 10 คู่ เพื่อตรวจตำแหน่งที่มีเบลสช้าชนิด ไมโครแซทเทลไลท์ในโคลูกผสมบร้าชลเลียนเนลเลอร์ จำนวน 10 ตำแหน่ง มีความน่าจะเป็น (E.P.) ได้สูงถึง 0.9989

วิธีดำเนินงานวิจัย

ขั้นตอนการสกัดจีโนมิกดีเอ็นเอ จากตัวอย่างเลือดโคนมลูกผสมไทยไฮลส์ไตน์ ที่ส่งสัญญาเป็นฟ่อ-แม่-ลูก จำนวน 12

ครอบครัว (พ่อโโค 12 ตัวอย่างแม่โโค 12 ตัวอย่าง และลูกโโค 12 ตัวอย่าง) ด้วยชุด AxyPrep Blood Genomic

DNA Miniprep Kit

- ขั้นตอนการทำให้เซลล์แตก โดยเติม AP1 บัฟเฟอร์ (cell lysis buffer) ปริมาณ 500 μl ลงในหลอด ไมโครเซนติพิวส์ขนาด 1.5 ml.

- เติมตัวอย่างเลือด ซึ่งมีสารป้องกันการแข็งตัวของเลือด (EDTA) ปริมาณ 200-250 μl ปิดฝาหลอดปิดฝาหลอด นำไปปั่นด้วย vortex โดยใช้ความเร็วสูงสุดเป็นเวลา 10 วินาที

- ขั้นตอนการแยกส่วนประกอบของเซลล์ที่เป็นโปรตีน ออกจากดีเอ็นเอ โดยเติม AP2 บัฟเฟอร์ (Protein -depleting buffer) ปริมาณ 100 μl ปั่นด้วย vortex โดยใช้ความเร็วสูงสุดเป็นเวลา 10 วินาที นำไปใส่ในเครื่องเซนติพิวส์ปั่นเหวี่ยงด้วยความเร็ว 12,000 รอบ/นาที ที่อุณหภูมิปกติ สารละลายแยกเป็น 2 ชั้น คือตะกอนสีน้ำตาลที่เป็นส่วนประกอบชนิดโปรตีนของเซลล์ และของเหลวใส ซึ่งมีชื่อดีเอ็นเออยู่

- หลังจากนั้นดูดของเหลวที่ได้จากการปั่น ใส่ลงในหลอดมินิเพบคอลัมน์ ที่รวมอยู่ในหลอดไมโคร

เซนติพิวส์ขนาด 2 ml. นำไปใส่ในเครื่องเซนติพิวส์ปั่นเหวี่ยงด้วยความเร็ว 6,000 รอบ/นาที เป็นเวลา 1 นาที ทึ้งของเหลวที่กรองได้หลังจากการปั่น จะได้ตะกอนดีเอ็นเอเหลืออยู่บนพิวเตอร์ของหลอดมินิเพบ

5. การซัลต์ดีเอ็นเอโดยการเติม W1A บัฟเฟอร์ (wash buffer) ปริมาณ 700 μl ลงในตะกอนดีเอ็นเออยู่บนแผ่นแอลูมิเนียมพิวเตอร์ของหลอดมินิเพบคอร์ลัมันน์ ที่ส่วนอยู่ในหลอดไมโครเซนติพิวส์ขนาด 2 ml. ตั้งทึ้งไว้ที่อุณหภูมิห้อง เป็นเวลา 2 นาที หลังจากนั้นนำไปใส่ในเครื่องเซนติพิวส์ ปั่นเหวี่ยงด้วยความเร็ว 6,000 รอบ/นาที เป็นเวลา 1 นาที

6. การซัลต์ครั้งที่ 1 โดยเติม W2 บัฟเฟอร์ (Desalting buffer) ปริมาณ 800 μl ลงในแผ่นกรองของหลอดมินิเพบคอร์ลัมันน์ ที่ส่วนอยู่ในหลอดไมโครเซนติพิวส์ขนาด 2 ml. นำไปใส่ในเครื่องเซนติพิวส์ปั่นเหวี่ยงด้วยความเร็ว 12,000 รอบ/นาที เป็นเวลา 1 นาที ทึ้งของเหลวไป

7. การซัลต์ครั้งที่ 2 โดยเติม W2 บัฟเฟอร์ (Desalting buffer) ปริมาณ 500 μl ลงบนแผ่นกรองในหลอดมินิเพบคอร์ลัมันน์ ที่ส่วนอยู่ในหลอดไมโครเซนติพิวส์ขนาด 2 ml. นำไปใส่ในเครื่องเซนติพิวส์ปั่นเหวี่ยงด้วยความเร็ว 12,000 รอบ/นาที เป็นเวลา 1 นาที ทึ้งของเหลวไป (การล้างเก็บดีเอ็นเอ 2 ครั้ง เพื่อให้แน่ใจว่าเกลือ หรือสารต่างๆ ที่อาจมีปฏิกิริยาของเอนไซม์ต่างๆ ออกไปกับของเหลวจนหมด)

8. ขั้นตอนการเก็บดีเอ็นเอจากแผ่นกรอง โดยเติม TE บัฟเฟอร์ (TE buffer) ปริมาณ 80-200 μl

ลงในแผ่นกรองที่มีตะกอนดีเอ็นเอของหลอดมินิเพบคอร์ลัมันน์ ที่ส่วนอยู่ในหลอดไมโครเซนติพิวส์ขนาด 1.5 ml. เพื่อให้สารละลาย TE บัฟเฟอร์ละลายตะกอนดีเอ็นเอที่ติดอยู่ที่แผ่นกรอง สารละลายบัฟเฟอร์จะละลายดีเอ็นเอจากแผ่นกรองลงมาอยู่ในหลอดไมโครเซนติพิวส์ และตั้งทึ้งไว้ที่อุณหภูมิห้อง 1 นาที นำมาปั่นเหวี่ยงที่ความเร็ว 12,000 รอบ/นาที จะได้ดีเอ็นเอที่ละลายอยู่ในบัฟเฟอร์

ขั้นตอนการเพิ่มปริมาณดีเอ็นเอด้วยวิธีพีซีอาร์ (Polymerase chain reaction –PCR protocol)

เติมดีเอ็นเอปริมาณ 20 ng /μl ลงในสารละลาย PCR-reaction ปริมาณ 14 μl ชี้งประกอบด้วย 5.5 μl ของพีซีอาร์ไพรเมอร์มิกซ์ (Stockmarks for cattle Bovine genotyping Kits) และdNTP มิกซ์ ปริมาณ 4.0 μl เติม PCR buffer 3.0 μl และ ไส่ Taq polymerase ปริมาณ 0.5 μl (Ampli Taq Gold™, PE Applied) เติมห้ากลั้นชนิดดีไออ่อนไนซ์ปริมาณ 1.0 μl. เพิ่มปริมาณดีเอ็นเอด้วย เครื่องพีซีอาร์ ด้วยการเริ่มแยกสายดีเอ็นเอ (Denaturation) ที่อุณหภูมิ 95°C นาน 15 นาที ทำพีซีอาร์ 31 รอบโดยเริ่มขั้นแรกทำการแยกดีเอ็นเอที่อุณหภูมิ 95°C นาน 35 วินาที ขั้นที่สอง annealing ที่ 61°C นาน 45 วินาที ขั้นที่ 3 extension ที่ 72°C นาน 60 นาที ตรวจสอบคุณภาพผลผลิตพีซีอาร์ด้วย 2% ethidium bromide stained agarose gels.

ตารางที่ 1 ข้อมูลไพรเมอร์พีซีอาร์ (StockMarks for Cattle[®]) เป็น Bovine genotyping kit ของบริษัท ABI

Locus	Size range (bp)	Primer sequence	Reference
TGLA227 (D18S1)	64-115	F:5'-CGAATTCCAAATCTGTTAATTGCT-3' R:5'-ACAGACAGAAACTCAATGAAAGCA-3'	Barendse et al., 1992
BM2113 (D2S26)	116-146	F:5'-GCTGCCTTCTACCAAATACCC-3' CTTCCTGAGAGAAGCAACACC-3'	Bishop et al., 1994
TGLA53 (D16S3)	147-197	F:5'-GCTTCAGAAATAGTTGCATTCA-3' R:5'-ATCTCACATGATATTACAGCAGA-3'	Barendse et al., 1992
ETH10 (D5S3)	198-234	F:5'-GTTCAAGGACTGGCCCTGCTAAC -3' R:5'-CCTCCAGCCCACTTCTCTTC -3'	Toldo et al., 1993
TGLA126 (D20S1)	104-133	F:5'-CTAATTAGAACATGAGAGAGGCTTCT-3' R:5'- TTGGTCTCTATTCTCTGAATATTCC-3'	Barendse et al., 1992
TGLA122 (D21S6)	130-193	F:5'-CCCTCCTCCAGGTAAATCAGC-3' R:5'-AACACATGGCAAATAAGTACATAC-3'	Barendse et al., 1992
INRA023 (D3S10)	193-235	F:5'-GAGTAGAGCTACAAGATAAACTTC-3' R:5'-TAACTACAGGGTGTTAGATGAACTC-3'	Vaiman, et al., 1992
ETH3 (D19S2)	90-135	F:5'-GAACCTGCCTCTCCTGCATTGG-3' R:5'-ACTCTGCCTGTGGCCAAGTAGG-3'	Toldo et al., 1993
ETH225 (D9S1)	135-165	F:5'-GATCACCTGCCACTATTCCT-3' R:5'-ACATGACAGCCAGCTGCTACT-3'	Steffen et al., 1993
BM1824 (D1S34)	170-218	F:5'-GAGCAAGGTGTTTCCAATC-3' R:5'-CATTCTCCAATGCTTCCTTG-3'	Bishop et al., 1994
SPS115 (D15)		F:5'-AAAGTGACACAAACAGCTTCTCCAG-3' R:5'-AACGAGTGTCCCTAGTTGGCTGTG-3'	Moore,S.S. and Byrne, K.. (1993).

วิเคราะห์ปริมาณผลผลิตพีซีอาร์ด้วยเครื่อง Automated genetic analyzer รุ่น ABI 3130 และวิเคราะห์เปรียบเทียบ
พ่อ-แม่-ลูก ด้วยโปรแกรม Gene Map per version 3.7

ผลและวิจารณ์

ตามมาตรฐานของ International Society of Animal Genetics. (ISAG) การใช้ไข่โครแซลเกลล์ มาร์คเกอร์ จำนวน 10 คู่ สามารถใช้ในการวิเคราะห์ความแตกต่างระหว่างตัวโภค และนำไปสู่การใช้ตรวจสอบพิสูจน์พ่อ-แม่-ลูก จากการตรวจสอบโคงาน 19 ครอบครัว เพื่อความแน่นอนในการคัดเลือกพ่อพันธุ์ เพื่อพิสูจน์ความสามารถในการถ่ายทอดยืนที่ควบคุมลักษณะสำคัญทางเศรษฐกิจ ในแผนการพัฒนาพันธุ์โคนม หรือโโคเนื้อ ถ้าข้อมูลพันธุ์ประวัติไม่แน่นอน การคัดเลือกเกิดความผิดพลาดได้ ทำให้ได้พ่อโโคที่ไม่เหมาะสมจะใช้เป็นพ่อพันธุ์ Geldermann et al., (1986) ประเมินความผิดพลาดที่เกิดจากการพิสูจน์พันธุ์ประวัติตัวยการตรวจรูปเลือด สูงถึง 13% ในขณะที่ Rosa et al (1996) พบความผิดพลาดเพียง 5% จากการใช้ลายพิมพ์ดีเอ็นเอชนิดใหม่โครแซลเกลล์ในฝูงโโคของอิสราเอล แต่ Ron et al., (1996) พบความผิดพลาดสูงถึง 15% เมื่อใช้การตรวจแบบ อาร์เอฟแอลพี (RFLP : Restriction fragment length polymorphism) ฝูงโโคบร้าชิล ตั้งนั้นใหม่โครแซลเกลล์ จึงเป็นที่นิยมใช้ในการพิสูจน์ประวัติพ่อ-แม่-ลูก

จากตารางที่ 2 เป็นรายละเอียดของการเปรียบเทียบของอัลลิลลูก (ตัวย่อ C) กับอัลลิลของพ่อ (ตัวย่อ S) และแม่ (ตัวย่อ D) ในแต่ละตำแหน่ง (Loci) โดย

อัลลิลของลูกจะต้องมีส่วนที่เหมือนของพ่อ และแม่ ทั้งสองอัลลิล แต่ถ้าลูกมีเพียงอัลลิลเดียว หมายความว่า อัลลิลนั้นเป็นอัลลิลที่เหมือนทั้งพ่อและแม่ เป็นไปตามกฎนี้ทั้ง 11 ตำแหน่ง และตารางที่ 3 เป็นรายละเอียดของการเปรียบเทียบอัลลิลของลูกโโคที่เจ้าของให้ข้อมูลว่าเป็นลูกของพ่อโโคทดสอบ จำเป็นต้องพิสูจน์ให้แน่ชัดในประวัติ ก่อนทำการเก็บข้อมูลน้ำนม เพื่อทดสอบพ่อพันธุ์ (Progeny Test) ใน 7 ครอบครัว พบว่าลูกโโคมีอัลลิลเหมือนแม่โโค แต่ไม่เหมือนพ่อโโค ทำให้สามารถตัดสินใจไม่ใช้ลูกโโคในแผนการพัฒนาพันธุ์ เป็นการลดค่าใช้จ่ายในการเก็บข้อมูลน้ำนม ซึ่งกินเวลานานถึง 10 เดือน

นอกจากนี้การตรวจอัลลิลทั้ง 11 ตำแหน่งด้วยไม่โครแซลเกลล์ มาร์คเกอร์ 11 ชุด ยังสามารถใช้ประโยชน์ในการตรวจนำ้เชื้อพ่อพันธุ์ปลอมปนได้ โดยเปรียบเทียบอัลลิลของนำ้เชื้อกับตัวอย่างเลือด หรือเซลล์รากขน ของพ่อพันธุ์ตัวที่ระบุว่าเป็นเจ้าของนำ้เชื้อ

กิตติกรรมประกาศ

ขอขอบคุณนักวิทยาศาสตร์ 2 ท่าน คือ คุณเจน จิรา ศุลารักษ์ และคุณบุพงา จินดาวนิชกุล ที่ให้ความช่วยเหลือในการทำงานในห้องปฏิบัติการ ให้สำเร็จลุล่วงด้วยดี



ตัวอย่างที่ 1 แสดงตารางขันตีอันดับต่อเนื่องแบบไม่ต่อเนื่องตามหลักสูตรที่เป็นแบบช้าๆ แต่ก็สามารถปรับรักษาได้ โดยใช้ไฟร์มอร์ฟิชาร์ 11 ตัวแทน โดยใช้ไฟร์มอร์ฟิชาร์ 11 ตัว และพบร่วมกับ 7 ครอบครัว มีความเป็นไปได้ที่

	TGLA227	BM2113	TGLA53	ETH10	SPS115	TGLA126	TGLA122	INRA23	ETH3	ETH1225	BM1824
S1	89.52	98.26	123.91	133.47	158.83	164.97	213.85	215.59	242.13	246.06	118.28
D1	92.06	104.57	122.45	132.04	165.11	-	219.98	211.96	246.37	250.20	116.05
C1	89.87	104.69	122.46	124.43	159.00	165.11	216.13	219.96	242.52	250.29	116.17
S2	89.52	98.26	123.91	133.47	158.83	164.97	213.85	215.59	242.13	246.06	118.28
D2	81.13	87.71	122.35	134.07	178.88	180.94	206.71	218.16	242.50	248.37	116.17
C2	81.12	98.40	124.39	134.06	159.00	180.89	214.19	218.02	242.47	248.30	118.16
S3	89.52	98.26	123.91	133.47	158.83	164.97	213.85	215.59	242.13	246.06	118.28
D3	81.06	98.42	122.41	136.00	156.73	159.00	214.21	216.17	240.51	254.08	118.18
C3	89.96	98.42	134.00	136.02	156.73	159.00	214.19	216.15	242.35	254.01	118.18
S4	89.61	91.74	129.55	131.51	156.65	158.93	210.03	215.69	247.9	249.97	116.14
D4	76.69	98.41	124.41	134.07	156.86	165.23	216.14	-	242.55	250.33	118.21
C4	92.71	98.52	124.57	132.19	156.86	165.11	210.46	216.46	242.46	248.31	120.31
S5	89.61	91.74	129.55	131.51	156.65	158.93	210.03	215.69	247.9	249.97	116.14
D5	76.69	98.41	124.41	134.07	156.86	165.23	216.14	-	242.55	250.33	118.21
C5	91.74	98.41	124.57	132.19	156.65	165.21	210.46	216.23	242.46	248.31	120.31
S6	89.61	91.74	129.55	131.51	156.65	158.93	210.03	215.69	247.9	249.97	116.14
D6	83.23	94.12	132.05	134.08	150.64	159.00	216.08	219.92	242.43	-	116.14
C6	92.06	94.12	130.07	134.09	150.51	159.40	210.36	216.14	242.40	250.16	118.25
S7	89.61	91.74	129.55	131.51	156.65	158.93	210.03	215.69	247.9	279.97	116.14
D7	81.12	92.28	128.07	-	150.76	-	216.15	-	242.41	-	116.14
C7	81.12	90.04	128.10	132.05	150.63	159.01	210.35	216.05	242.34	248.25	116.18
S8	87.27	89.60	121.91	131.44	158.80	173.05	213.82	215.70	242.14	247.94	116.24
D8	83.28	96.36	124.43	132.05	156.99	163.05	216.13	218.10	242.39	250.17	116.17
C8	87.76	96.25	132.04	-	156.99	159.00	216.27	-	242.56	248.41	116.05

ตัวอย่างที่ 1 เสตงค่าของชนิดตีอิมอ่อนส่วนที่เป็นแบบไข่โคโรน่าไวรัสที่ 11 ตามหนัง โดยใช้ไฟร์เซอร์ฟิชเชอร์ 11 คู่ และพบว่า พ่อแม่ลูก 7 ครอบครัว มีความเป็นไปได้ที่เป็นพ่อแม่ลูกที่เพี้ยนจริง (ต่อ)

	TGLA227	BM2113	TGLA53	ETH10	SPS115	TGLA126	TGLA122	INRA23	ETH3	ETH225	ETH224	BM1824
S9	87.27	89.60	121.91	131.44	158.80	173.05	213.82	215.70	242.14	247.94	116.24	122.44
D9	83.43	90.06	125.55	136.11	156.81	158.98	206.63	210.45	242.42	-	116.22	124.41
C9	87.70	89.97	122.49	132.13	156.74	172.96	206.62	214.28	242.49	-	116.16	124.35
S10	87.27	89.60	121.91	131.44	158.80	173.05	213.82	215.70	242.14	247.94	116.24	122.44
D10	87.76	98.43	132.04	134.03	156.77	158.89	216.07	-	242.39	248.18	116.13	118.27
C10	87.77	-	122.46	132.03	156.90	173.08	214.24	216.07	242.39	248.30	116.15	122.35
S11	98.84	92.10	122.41	133.85	154.79	158.89	216.08	-	242.36	-	116.05	118.08
D11	76.56	87.63	124.28	133.87	154.66	164.95	210.39	216.12	242.40	246.30	120.15	122.33
C11	89.85	89.85	122.38	124.33	159.00	165.08	210.29	216.03	242.26	-	118.18	120.22
S12	92.01	104.44	131.86	140.68	154.66	164.95	210.16	216.02	242.33	250.03	118.11	-
D12	90.39	94.75	134.94	-	156.78	158.89	216.02	217.98	242.33	250.29	118.52	124.70
C12	94.24	104.69	132.13	138.05	158.87	165.09	216.05	218.01	242.41	250.13	118.28	124.57

ตัวอย่างที่ 2 แสดงค่าของขนาดตัวอ่อนที่เป็นแบบรู้ต่อเนื่องแนวโน้มโดยรวมสำหรับ 11 ตัวแทน โดยใช้พร้อมรหัส 11 ตัวแทน ได้แก่ พ่อ-แม่-ลูก 7 ครอบครัว มีความเป็นไปได้ที่ไม่ใช่ผลของการที่หัวรุ่ง

	TGLA227	BM2113	TGLA53	ETH10	SPS115	TGLA126	TGLA122	INRA23	ETH3	ETH225	BM1824
S13	80.50	87.16	121.76	-	156.64	180.76	206.14	215.64	245.96	247.91	116.91
D13	76.45	92.01	122.37	134.01	150.51	-	210.26	215.90	-	-	116.12
C13	87.64	92.02	122.30	-	150.51	-	206.50	210.25	-	-	116.18
S14	80.50	87.16	121.76	-	156.64	180.76	206.14	215.64	245.96	247.91	116.91
D14	81.12	83.28	130.17	132.18	163.05	-	206.56	216.13	242.39	-	116.16
C14	83.35	98.41	132.19	134.09	163.18	154.77	216.12	-	242.49	-	118.25
S15	87.27	89.60	121.91	131.44	158.80	173.05	213.82	215.70	242.14	247.94	116.24
D15	81.09	92.17	124.41	132.04	159.00	165.12	-	242.45	254.07	116.05	124.30
C15	92.15	98.41	124.43	135.99	159.00	163.05	216.30	222.13	242.61	-	116.06
S16	87.27	89.60	121.91	131.44	158.80	173.05	213.82	215.70	242.14	247.94	116.24
D16	76.57	81.05	122.50	136.04	156.77	180.89	214.09	221.77	246.20	248.09	118.32
C16	76.56	87.70	122.33	-	156.78	-	206.60	214.22	-	116.03	124.39
S17	89.52	98.26	123.91	133.47	158.83	164.97	213.85	215.59	242.13	246.06	118.28
D17	100.53	104.73	136.27	137.93	156.90	172.96	210.33	216.03	242.41	-	118.17
C17	92.13	100.54	124.48	136.03	156.77	158.89	210.40	216.13	242.53	246.31	118.32
S18	89.52	98.26	123.91	133.47	158.83	164.97	213.85	215.59	242.13	246.06	118.28
D18	98.40	-	122.53	134.19	158.98	165.11	206.72	216.22	242.61	246.44	118.27
C18	83.39	98.52	118.28	134.06	159.25	-	216.17	-	242.50	248.24	118.16
S19	98.43	-	131.89	-	156.78	163.01	215.99	221.87	242.25	246.02	118.22
D19	76.46	83.20	124.34	-	156.85	-	206.39	214.04	248.08	249.98	116.13
C19	76.45	98.31	122.26	124.21	156.66	163.01	214.11	215.93	246.16	250.07	116.03

เอกสารอ้างอิง

วิชัย บุญแสง อัญชลี ทศนาขจร ชัยณรงค์ วงศ์ธีรทรัพย์ นุสรा สิทธิดิลกรัตน์ มงคลพันธุ์ยิ่ม 2547. ลายพิมพ์ดี
เอ็นเอ จากสารพันธุกรรมสู่เทคโนโลยีพิสูจน์บุคคล ฉบับปรับปรุงใหม่ สำนักงานพัฒนาวิทยาศาสตร์และ
เทคโนโลยีแห่งชาติ

Barendse W., Armitage S.M. et al. (1994). A genetic linkage map of the bovine genome. *Nature Genetics* 6 227–235.

Bishop M.D. and Kappes S.M. et al. (1994). A genetic linkage map for cattle. *Genetics* 136 619–639.

Cervini, M., Henrique-Silva, F., Mortari, N. and Matheucci, E. 2006. Genetic Variability of 10 microsatellite
markers in the characterization of Brazilian Nellore cattle (*Bos indicus*)

Geldermann H., Pieper U and Weber WE. 1986. Effect of misidentification on the estimation of breeding
value and heritability in cattle. *J Animal Sci* 63: 1759–1768.

Georges, M. and Massey, J.M.. (1992). Polymorphic DNA markers in Bovidae. Patent WO 92/13102
(1992). Ibeagha-Awemu EM and Erhard G 2005. Genetic structure and differentiation of 12
African *Bos indicus* and *Bos Taurus* cattle breeds, inferred from protein and microsatellite
polymorphisms. *J. Anim Breed Genet* 122:12–20

Moore, S.S. and Byrne, K.. (1993). Dinucleotide polymorphism at the bovine calmodulin independent
Adenylcyclase locus. *Animal Genetics* 24 150.

Steffen P., Eggen A. et al. (1993). Isolation and mapping of polymorphic microsatellites in cattle. *Animal
Genetics* 24 121–124.

Ron M., Blanc Y., Band M., Ezra E and Weller JI. 1996. Misidentification rate in the Israeli Dairy cattle
population and its implications for genetic improvement. *J Animal Sci* 79: 676–681.

Rosa AJM. 1997. Characterization of the Nellore cattle test for paternity using Molecular markers.
Master thesis. University of South Paulo.

Taut D and Renz M. 1984. Simple sequences are ubiquitous components of eukaryotic genomes. *Nucleic
Acids Res* 12:4127–4138.

Solinas Toldo S., Fries R. et al. (1993). Physically mapped, cosmid-derived microsatellite markers as
anchor loci on bovine chromosomes. *Mammalian Genome* 4 720–727.

Vaiman D., Osta D. et al. (1992). Characterisation of five new bovine microsatellite repeats. *Animal
Genetics* 23 537.

Visscher, P.M, Woolliams J.A., Smith D and Williams J.L. 2002. Estimation of Pedigree errors in the UK
dairy population using microsatellite markers and the impact on selection. *J Dairy Sci* 85 : 2368–
2375

DNA Fingerprint for Parentage analysis in Cattle

Kalaya Kengvikkum, Wiboon Tularaksa

Abstract

Blood samples of 57 Thai Holstein dairy crossbred cattle were extracted for genomic DNA by using AxyPrep Blood Genomic DNA Miniprep Kit. Then the eleven PCR primers; TGLA227, BM2113, TGLA53, ETH10, SPS115, TGLA126, TGLA122, INRA023, ETH3, ETH225 and BM1824 were used for examine 11 microsatellite loci. Each locus was compared between the suspect sire-dam-calf for parentage analysis. If they were similar for all 11 loci, there will probability be family. (The combined exclusion probability was 0.9998) Thirty six samples were the true families but fifteen samples were not.

Keywords : DNA fingerprint, parentage analysis, cattle.

การจัดการโรคในปลาสวยงาม

CLINICAL MANAGEMENT ORNAMENTAL FISH

ศ.น.สพ.ดร.จิรศักดิ์ ตั้งตรงไฟโรจน์

Jirasak.T@chula.ac.th 081-8204637

บทนำ

ปลาเป็นสัตว์น้ำที่เป็นทั้งอาหารของมนุษย์และเป็นสัตว์น้ำสวยงาม ซึ่งมีความหลากหลายทั้งในด้านรูปร่าง การดำรงชีวิตและแหล่งที่อยู่อาศัย ปลาถูกจำแนกออกเป็น 4 ชั้น (Class) 46 อันดับ (Order) 450วงศ์ (Family) ประมาณ 10,300 สกุล (Genus) และประมาณ 23,250 ชนิด (Species) ในจำนวนนี้เป็นปลาห้าจีดประมาณ 6,700 ชนิด ซึ่งส่วนใหญ่มีถิ่นกำเนิดอยู่ในเขตวอൺ และเขตคุนย์สูตร โดยเฉพาะในแถบแอเชียตะวันออกเฉียงใต้ ซึ่งบริเวณดังกล่าวที่น้ำใส่และน้ำทะเลที่มีความเค็มต่ำ เช่น แม่น้ำเจ้าพระยา แม่น้ำ��ะ แม่น้ำแม่แคว เป็นต้น

ในทวีปอเมริกาใต้ แม่น้ำอะเมซอนเป็นแหล่งน้ำที่สำคัญและมีขนาดใหญ่ที่สุดในโลก เป็นที่อยู่อาศัยของสัตว์น้ำนานาชนิดตั้งแต่ขนาดเล็กจนถึงขนาดใหญ่ เช่นพากปลาคาราชิน ซึ่งมีสมักษกที่เป็นปลาสวยงามหลายชนิด เช่น ปลาเนื้ອ่อน ปลาคาร์ดิเนล ปลาปิรันยา รวมทั้งปลาอร่า ปลาหัวหือ ช่อนอะเมซอน ซึ่งเป็นปลาที่มีความยาวมากที่สุดในโลก

ส่วนในทวีปแอฟริกา มีทะเลสาปน้ำจืดขนาดใหญ่หลายแห่ง เช่น ทะเลสาปวิคตอเรีย ทะเลสาปมาลาวี และทะเลสาปแทนกานยีกา ในทวีปนี้มีแม่น้ำในล็อชีน์ เป็นแม่น้ำที่ยาวมากที่สุดในโลก แหล่งน้ำเหล่านี้เป็นถิ่นอาศัยของพากปลาชีคลิค หรือปลาหม้อสี ซึ่งมีประมาณ 1,000 ชนิด ส่วนปลาหิลและหม้อเทศ เป็นปลาที่เป็นอาหารของคนเกือบทั่วโลก

ปลาสวยงามที่เลี้ยงในประเทศไทยมีทั้งปลาพื้นเมืองและปลาที่นำเข้ามาจากต่างประเทศ ซึ่งมีมากกว่า 200 ชนิด มีการพัฒนาสายพันธุ์และการเพาะเลี้ยง

จนได้สายพันธุ์ใหม่ จำนวนมาก เช่น ปลาทอง ปลาปอมปาด้วร ปลาทางนกยุง ชนิดต่างๆ ในแต่ละปีมีการส่งออกปลาสวยงามไปประเทศต่างๆ ทั่วโลก เป็นมูลค่ามากกว่าพันล้านบาท แต่อย่างไรก็ตามการเลี้ยงปลาสวยงามมีการสูญเสียอันเนื่องมาจากโรค ซึ่งเกิดจากสาเหตุต่างๆ ที่จำเป็นจะต้องจัดการเพื่อลดต้นทุนการผลิต และที่สำคัญเพื่อให้ผู้เลี้ยงเกิดความเชื่อมั่นในการเลี้ยงปลาสวยงามต่อไป ทั้งนี้ เพราะเมื่อเลี้ยงปลาสวยงามตัวเล็กๆ แล้วเกิดความผูกพัน และสังสารเมื่อต้องสูญเสียปลาที่เลี้ยงไป

บทความนี้จะกล่าวถึงโรคที่พบบ่อยๆ ในปลาสวยงาม เพื่อเป็นแนวทางในการจัดการให้ปลาสวยงามที่เลี้ยงมีสุขภาพดี มีอายุยืนยาวตามอายุขัยต่อไป

โรคไม่ติดเชื้อ

โรคที่เกิดจากสภาพแวดล้อมเป็นพิษ

1. การขาดออกซิเจนในน้ำที่ปลาอาศัยอยู่

(Hypoxia and anoxia)

ปริมาณความต้องการออกซิเจนที่จะลดลงในน้ำ ในปลาแต่ละชนิดย่อมมีความแตกต่างกันออกไป พบว่าในปลาкар์พ ปกติต้องการออกซิเจน ขนาด 5 มิลลิกรัม/ลิตร และควรมีออกซิเจนไม่น้อยกว่า 3 มิลลิกรัม/ลิตร ถ้าหากปริมาณออกซิเจนต่ำลงถึง 0.5 มิลลิกรัม/ลิตรจะปรากฏอาการถึงตายได้

ปริมาณของออกซิเจนจะลดลง ถ้าหากในน้ำมีการสะสมของลิ่งเน่าเป็นอยู่พังและสารอินทรีย์ติดต่อ เช่น เศษอาหารที่เพิ่มขึ้น การขาดออกซิเจนอาจเป็นสาเหตุที่ทำให้ปลาตายเป็นจำนวนมากได้ มากเกิดร่วมกับการเลี้ยงปลาหนาแน่นเกินไป มีการสะสมของเศษอาหารสิ่งเน่าเป็นอยู่พัง การระบายถ่ายเทน้ำ

เสียไม่ตีพอ หรือไม่มีการถ่ายเทน้ำในระยะเวลานาน เกินควร

ปลาที่แสดงอาการร่วมกันน้ำขาดออกซิเจน คือปลา จะว่ายอยู่บริเวณผิวน้ำเสมอ และจะสูบเอาอากาศบนผิวน้ำเข้าไป ในขณะที่การขาดออกซิเจนในน้ำยังไม่ถึงระดับที่ทำให้ปลาตาย ปลาจะแสดงอาการอ่อนเพลีย และง่ายต่อการหือรับเชื้อโรค ดังนั้นปริมาณของออกซิเจนในน้ำจึงน่าจะคำนึงและตรวจสอบด้วย

2. ความเป็นกรด-ด่างของน้ำ

การเปลี่ยนแปลง pH (ความเป็นกรด-ด่าง) ของน้ำ เป็นสาเหตุสำคัญอย่างหนึ่งที่ทำให้ปลาป่วย ระดับ pH ที่ปลาต้องการแตกต่างกันตามชนิดของปลา บางชนิดชอบอยู่ในน้ำที่มี pH ที่เป็นกรดเล็กน้อย แต่บางชนิดก็ต้องการน้ำที่มีความเป็นด่างอยู่บ้าง โดยส่วนใหญ่ของปลาแล้ว ต้องการ pH ของน้ำอยู่ระหว่างค่า pH 6-8 ถ้ามากหรือน้อยกว่านี้ก็ไม่เหมาะสมสำหรับเป็นที่อาศัยของปลา

Acidosis

Acidosis มักพบในน้ำที่มีความเป็นกรดมากเกินไป หรือพบในปลาที่ต้องการสภาพน้ำเป็นกลาง แต่ถ้าเรานำไปไว้ในน้ำที่มีความเป็นกรด หรือน้ำที่มีสภาพความเป็นกรดเกิดขึ้นเองตามธรรมชาติ เช่น ในดินขาดเกลือแคลเซียม หรือดินที่มีความเป็นกรดอันเนื่องจากน้ำแร่ ปลาจะแสดงอาการผิดปกติเกิดขึ้น โดยพยายามจะกระโดดขึ้นมาจากน้ำนั้นอยู่เสมอ และมักจะลอยตัวอยู่บนผิวน้ำ การตายจะปรากฏอย่างรวดเร็วหรือช้าขึ้นกับความเป็นกรดของน้ำมากน้อยเพียงใด โดยทั่วไปเราเห็นปลาสูญออกซิเจนของบ่อ ที่บริเวณ external gill จะมีสีเข้มขึ้นและมีเมือกมากผิวน้ำจะมีสีขาวขุ่นและตาม Ventral region จะมีสีแดงปลาที่น้ำซึ่งลังและตายในที่สุด ในปลาที่เสียชีวิต กันหลายชนิด เช่น ปลาตู้อาจตายเนื่องจากสภาพความเป็นกรดของน้ำได้ เพราะความต้องการของปลาแต่ละชนิดแตกต่างกัน ดังนั้นจึงต้องระวังถ้าหากมีการตายของปลาเนื่องจากสภาพความเป็นกรดเกิดขึ้น จะ

ต้องรีบแก้ไขสภาพน้ำให้อยู่ในสภาพปกติ ในบ่อหรือแหล่งน้ำที่มีการสะสมของสารที่ทำให้เกิดความเป็นกรด ควรจะมีการใช้ผงเคมี เช่น ผง Calcium carbonate เพื่อจะช่วยให้ระดับ pH เป็นกลางในน้ำที่เป็นกรด (pH 5) ที่มีอนุภาคเหล็กปนอยู่ จะทำให้เกิดการรวมตัวของ Colloidal iron ซึ่งจะสะสมที่เหงือกของปลา และไปขัดขวางการหายใจของปลา

Alkalosis

โรคนี้เกิดขึ้นเมื่อ pH ของน้ำสูงกว่า pH 8 ในน้ำที่เป็นน้ำอ่อนหรือมีพิช เมื่อได้รับแสงแดดพิชจะสังเคราะห์ด้วยแสง ทำให้ออกซิเจนในน้ำเพิ่มขึ้น Calcium carbonate ที่ไม่ละลายน้ำจะถูกสังเคราะห์ขึ้นจาก Calcium hydrogen carbonate Calcium carbonate เกิดขึ้นจะเปลี่ยนเป็น Calcium oxide โดยมีการดึงเอา Carbon dioxide ออกจากโมเลกุลของ Calcium carbonate Calcium oxide นี้จะมีฤทธิ์กัดกร่อนเหงือกและครีบ

ระดับ pH 9.2-10.8 จะทำให้เกิดสภาพวิการต่อปลา ดังนั้นในการป้องกัน Alkalosis ควรจะกำจัดพิชน้ำออกจากบ่อปลาบ้าง และอาจต้องเพิ่มสารเคมีที่เหมาะสมในน้ำเพื่อลดสภาพความเป็นด่าง

3. สารพิษหรือสิ่งมีพิษ

สารพิษหรือสิ่งมีพิษ บางครั้งเราไม่สามารถตรวจพบได้ แม้จะใช้วิธีเคมีแยก การดูดซึมสารพิษเกิดได้ง่ายโดยผ่านทางผิวน้ำของปลาและเหงือก การพิจารณาแยกสารพิษที่อาจมีอยู่ในเครื่องมือ เครื่องใช้สำหรับเลี้ยงปลา ให้พิจารณาลิست่อไปนี้

- 1.) วัสดุยางที่เคลือบสีต่างๆ เช่น หอยาง ถังยาง
- 2.) น้ำยาเชื่อมวัสดุ
- 3.) สีต่างๆ ที่มี Phenol ผสม
- 4.) ถังปุ๋นควรแขวน้ำทิ้งไว้ 14-25 วันก่อนนำไปใช้

สารประกอบในโตรเจนซึ่งพบในเศษอาหาร โปรตีน อุจจาระ ชาကพิช ชาคัตต์ ที่สำคัญได้แก่ แอมโมเนีย ไนโตรต์ ในเกรด ญี่เรีย ระดับต่ำที่สุดของ

สารเหล่านี้ที่ก่อให้เกิดความเป็นพิษต่อปลาคือ แอมโมเนีย 0.2-0.5 mg. / ลิตรของน้ำ ในไตรต์ 10-20 mg. / ลิตรของน้ำ ในไตรต 100-300 mg. / ลิตรของน้ำ

ในการแตกตัวของของเสียที่มีในต่อเจนเป็นองค์ประกอบย่อมต้องการออกซิเจน ถ้าหากไม่มีออกซิเจน การสร้างสารในไตรต และไตรตจะลดลง แอมโมเนีย จัดเป็นสารพิษที่อันตรายที่สุด จากการทดลองของนักวิทยาศาสตร์พบว่า แอมโมเนียสระจะมีความเป็นพิษมากกว่าในรูปของ แอมโมเนียมไอออน จำนวนและความเป็นพิษของแอมโมเนียมไอออนในสารละลายของเกลือแอมโมเนียขึ้นอยู่กับ pH ของสารละลายนั้น ถ้าหากว่ามี pH มากกว่า 9 ขึ้นไป (Alkalosis) จะมีแอมโมเนียมิอิสระเพิ่มมากขึ้น ซึ่งพิษของแอมโมเนียนั้นมีผลต่อระบบประสาทของปลา และยังอาจทำให้เหงือกเกิด hyperplasia อีกด้วย

คลอรินอิสระ

คลอรินเป็นสารพิษก่อให้เกิดความระคายเคืองทำอันตรายต่อเหงือก เนื้อเยื่อที่ใช้ในการหายใจ และอวัยวะต่างๆของร่างกาย ความเข้มข้นคลอรินขนาด 0.2 -0.4 mg. / ลิตร เพียงพอที่จะเกิดอันตราย และทำให้ปลาตายได้ถ้าแซ่ไว้นานๆ น้ำที่มีคลอรินมากใช้โซเดียมไทโอลซัลเฟตเป็นตัวทำให้สะเทิน

โลหะ

สารประกอบของเหล็กในน้ำที่มีสภาพความเป็นกรด เกิดการรวมตัวกัน และตกตะกอนเป็นเพอริคิไซด์ออกไซด์ ซึ่งจะละสมอยู่ตามบริเวณเหงือกขณะปลายทาง ไปทำลายอวัยวะเนื้อเยื่อของระบบหายใจ

ฟินอล

เป็นสารพิษมีผลต่อระบบประสาทอย่างรุนแรง เช่น ถ่านหิน, gas, coke, tar, cresol, phenic acid ฟินอลละลายในไขมัน ดังนั้นจึงสะสมอยู่ในไขมันของปลา การดูดซึมของฟินอลรวดเร็วมาก แต่การขับถ่ายออกซ้ำอาจต้องใช้เวลาประมาณ 7 วันถึงขับถ่ายหมด

ดี.ดี.ที. (D.D.T.)

เป็นสารพิษที่มีผลต่อระบบประสาท ใช้ฆ่าพืชแมลงต่างๆ ดี.ดี.ที.มักใช้เป็นยาฆ่าแมลงในการเกษตร และป้ายเมืองพืชพันในอากาศหรือตามตัวสัตว์เพื่อฆ่าเห็บเหา หมวด ซึ่งการใช้ดี.ดี.ทีอย่างกว้างขวางนี้ จึงอาจละลายไปในน้ำได้ ดังนั้นอันตรายจึงอาจเกิดแก่ปลาได้เช่นกันเมื่อได้รับแหล่งน้ำที่มีดี.ดี.ที.ละลายไปอยู่ในความเข้มข้นของดี.ดี.ที. ในน้ำที่จะทำอันตรายต่อปลาที่ขนาด 0.005 mg/l ของ ดี.ดี.ที. บริสุทธิ์ แต่ความทนทานของปลาแต่ละชนิดไม่เท่ากันในปลาบางชนิดอาจทนได้ถึง 0.2 mg/l

4. Nutritional and metabolic disturbance

เป็นที่เข้าใจว่าขบวนการ metabolism ต้องประกอบด้วยการดูดซึมของอาหารที่กินเข้าไปและอาหารนั้นก็เกิดการย่อยแตกตัวและมีการสร้างขึ้นใหม่ภายในร่างกาย ซึ่งในช่วงของการเปลี่ยนแปลงของอาหารภายในร่างกายจะมีพลังงานออกมา พลังงานเหล่านี้จะเปลี่ยนรูปไปเป็นการเคลื่อนไหวของร่างกายทุกส่วน มีหลักการอยู่ 3 ประการที่จะพิจารณาถึง metabolism ของร่างกายคือ

1. Energy metabolism

ขบวนการนี้เกี่ยวข้องกับจำนวนอาหารที่กินเข้าไปและพลังงานที่ถูกปล่อยออกมาน้ำหนักอาหารนี้ถูกย่อยและถูกดูดซึมสารอาหารที่จำเป็นนั้นได้แก่ โปรตีน คาร์โบไฮเดรต ไขมัน ในอัตราส่วนที่เหมาะสม เพื่อดำเนินกระบวนการของร่างกาย

2. Anabolism

เกี่ยวข้องกับอาหารที่จะนำไปสร้างและซ่อมแซมส่วนที่สึกหรอของร่างกาย นำไปสร้างเซลล์ต่างๆ น้ำย่อยที่สำคัญ ฮอร์โมน และน้ำเลือด ฯลฯ อาหารที่จำเป็นก่อเพื่อก่อให้เกิด Anabolism ประกอบด้วย โปรตีน คาร์โบไฮเดรต และไขมันเป็นส่วนใหญ่ แต่มีบางอย่างมาเกี่ยวข้องด้วย คือ วิตามิน เกลือแร่ต่างๆ เนื่องจากปลาเป็นสัตว์เลือดเย็น อุณหภูมิของร่างกายขึ้นกับสภาพน้ำรอบๆ ตัว เมื่ออุณหภูมิของน้ำภายนอกร่างกายอยู่ในสภาพที่เหมาะสมกับปลาชนิดนั้นๆ

ขบวนการทางเคมีรวมทั้ง Anabolism จะเพิ่มขึ้น ดังนั้นปลาจะมีสุขภาพสมบูรณ์โดยแสดงออกทางอัตราการเติบโตและความแข็งแรง จึงควรรักษา率为ดับอุณหภูมิในน้ำนั้นให้คงอยู่เสมอ

3. Intermediate metabolism

3.1 Intermediate metabolism of carbohydrate

เพราะคาร์บอไฮเดรตเมื่อเข้าสู่ทางเดินอาหารจะเกิดการย่อยแตกตัวจนได้สารอาหารที่เรียกว่า monosaccharide ถูกดูดซึมผ่านผนังลำไส้ไปตามกระเพาะโลหิตไปยังตับ ไปสะสมที่ตับในรูปของไกลโคเจน ซึ่งเป็นแหล่งสำรองของพลังงาน ตับสามารถเปลี่ยนไกลโคเจนมาเป็นน้ำตาล สำหรับในกล้ามเนื้อก็มีไกลโคเจนสะสมอยู่ เช่นกัน เมื่อกล้ามเนื้อทำงานไกลโคเจนจะถูกเปลี่ยนสภาพเป็นน้ำตาลกลูโคส ในที่สุดจะถูกเปลี่ยนไปเป็น lactic acid หรือ pyruvic acid ซึ่งกระบวนการต่างๆ นี้มีอร์โนนหล่ายชนิดมาควบคุม

ในสภาพที่เกิด fatty degeneration หรือเกิดพยาธิสภาพเนื่องจากโรค Hemorrhagic septicemia พบว่าไม่มีการสะสมไกลโคเจนที่ตับเลย

3.2 Intermediate fat metabolism

ไขมันประกอบด้วยกรดไขมันและ trivalent alcohol glycerine ซึ่งกรดไขมันอาจเป็นชนิดอิ่มตัว หรือไม่อิ่มตัว ในปลาส่วนใหญ่จะเป็นชนิดไม่อิ่มตัว เมื่อร่างกายต้องการพลังงาน ไขมันจะถูกสร้างเป็น Hepatic glycogen ขณะที่กรดไขมันถูกย่อยแตกตัวต่อไป

3.3 Intermediate protein metabolism

Amino acid ที่เกิดจากการ Proteolysis ถูกนำไปยังตับและเกิด metabolism ต่อไปในเซลล์ ระหว่างที่ขบวนการสลายตัวของโปรตีนกำลังดำเนินอยู่ จะมีสารที่เหลือจากการแตกตัวเกิดขึ้น เช่น urea กรดไขมัน และคาร์บอไฮเดรตอาจถูกสร้างขึ้น เนื่องจากการแตกตัวของกรดอะมิโน

Metabolism disturbance ที่เกิดขึ้นในปลาอาจเกิดเนื่องจาก

1. อัตราส่วนของสารอาหารไม่เหมาะสม

2. การขาดวิตามิน

3. ระบบนำสัญญาณผิดปกติ

4. อวัยวะหรือต่อมต่างๆ ที่เกี่ยวข้องกับ metabolism มีขนาดปกติ

5. กรรมพันธุ์

6. พยาธิสภาพของโรค

ดังนั้นในการพิจารณาแก้ไขปัญหาความผิดปกติของ metabolism ต้องคำนึงถึงสภาพพยาธิวิทยา สรีรัฐวิทยา ธรรมชาติ และชนิดของปลา

ในกรณการเลี้ยงปลานั้น ถึงแม้ว่าจะจัดสภาพความเป็นอยู่ สิ่งแวดล้อมให้ดีที่สุดแล้วก็ตาม ก็ยังพบว่าเกิดความผิดปกติเกิดกับปลาอยู่เสมอ ที่พบมากที่สุดคือ fatty infiltration ของอวัยวะภายใน โดยเฉพาะส่วนของลำไส้ตับ และเนื้อเยื่อระหว่างตับ ในตับอาจเกิด degeneration of cell เนื่องจากมีไขมันมาก ไขมันที่เพิ่มขึ้นจะไปทำให้เซลล์ตับแบบลีบและเสียหน้าที่ไป ในการให้อาหารที่มีไขมันสูงเกินไป แต่อาหารโปรตีนต่ำ มีการสะสมของกรดไขมันไม่อิ่มตัวเพิ่มมากขึ้น จะอาจทำให้เป็นพิษต่อตับทำให้เกิดตับแข็งและໄต้อกเสบ ตับที่เกิด degeneration จะมีสีเหลืองหรือสีน้ำตาลปนเหลือง และอาจมีบริเวณที่เป็นเนื้อตายร่วมด้วย ปลาจะแสดงอาการอ่อนเพลีย อ่อนแอบและติดเชื้อโรคได้ง่าย การให้อาหารแก่ปลาจึงต้องคำนึงถึงสภาพสมดุลของสารอาหารเพื่อป้องกัน metabolic disturbance และ nutrition deficiency

4. Amino acid and vitamin requirement

Amino acid เป็นอาหารที่จำเป็นและสำคัญมาก สำหรับการดำรงชีพ เพื่อการเจริญเติบโตของปลา กรดอะมิโนนี้มีอยู่มากหลายชนิด ร่างกายจำเป็นต้องได้รับกรดอะมิโนที่เพียงพอ และในอัตราส่วนที่เหมาะสม หากมีกรดอะมิโนตัวหนึ่งตัวใดขาดแคลนอาจทำให้เกิดสภาพความผิดปกติตามสภาพของการขาดกรดอะมิโนนั้น ในการทดลองพบว่าเมื่อ tryptophan ซึ่งเป็นกรดอะมิโนจำเป็นขาดแคลน จะเกิดสภาพที่เรียกว่า Scoliosis และ Lordosis กรดอะ

มิโน่ที่จำเป็นอย่างยิ่งในปลา มี 10 ชนิด คือ Arginine, Histidine, Isoleucine, Leusine, Lysine, Methionine, Phenylalanine, Threonine, Tryptophan และ Valine อัตราส่วนของกรดอะมิโนจะเป็นแต่ละอย่างในอาหาร โปรตีนจะต้องอยู่ในสภาพสมบูรณ์เพื่อร่างกายจะนำไปใช้ประโยชน์เต็มที่

ปริมาณความต้องการของกรดอะมิโนที่จำเป็นในอาหารโปรตีนนมอัตราส่วนที่เหมาะสมสมมติังนี้

Arginine 2.5%, Histidine 0.7%, Isoleucine 1.0%, Leusine 1.5%, Lysine 2.1%, Methionine 0.5%, Phenylalanine 2.0%, Threonine 0.8%, Tryptophan 0.2% และ Valine 1.5%

Vitamin เป็นสารที่ร่างกายขาดไม่ได้ เพราะถ้าขาดจะเกิดอาการของโรคที่ขาดวิตามินตามลักษณะเฉพาะของวิตามินแต่ละชนิด จากการทดลองในต่างประเทศโดยใช้ปลา Chonook salmon ได้สรุปผลความต้องการวิตามินต่าง ๆ ของปลาไว้ดังนี้

Vitamin C 2-3 mg/kg/วัน

Thiamine 0.13-0.2 mg/kg/วัน

Riboflavin 0.75-1.0 mg/kg/วัน

Pyridoxine 0.38-0.43 mg/kg/วัน

Choline 50-60 mg/kg/วัน

Nicotinic acid 5-7 mg/kg/วัน

Pantothenic acid 1.3-2 mg/kg/วัน

Inositol 18-20 mg/kg/วัน

Biotin 0.03-0.04 mg/kg/วัน

Folic acid 0.1-0.15 mg/kg/วัน

B12 0.0002-0.0003 mg/kg/วัน

แต่ในบางครั้งพบว่าปลาต้องการวิตามินสูงกว่าระดับที่สรุปไว้ ทั้งนี้ก็เนื่องจากสภาพแวดล้อม ถิ่นที่อยู่อาศัย การเจริญเติบโตของปลาตามสภาพแวดล้อมชาติที่แตกต่างกัน

โรคติดเชื้อ

โรคที่เกิดจากพยาธิภายนอก

1. Ichthyophthiriasis

เป็นโรคที่พบได้ทั้งในแถบประเทศไทยเมืองหนาวและเมืองร้อน เกิดกับปลาหัวใจได้หลายชนิด มักเรียกันสั้นๆว่า Ich หรือ White spot disease โรคนี้พยาธิตัวแก่ฝังตัวที่ผิวน้ำและทำให้ปลาตายได้เป็นจำนวนมาก รูปร่างกลมคล้ายผลลัมป์เขียวหวานมีขันรอบตัว ในระยะตัวเต็มวัยจะมีนิวเคลียสเป็นรูปเกือกม้า พับฝังตัวอยู่ตามเหงือก และชั้นผิวน้ำ และระยะตัวอ่อนจะว่ายอยู่ในหัวและว่ายไปที่ตัวปลา ในประเทศไทยพบได้บ่อยในช่วงฤดูหนาว อุณหภูมิของน้ำที่สูงกว่า 30 องศาเซลเซียส จะพบโรคนี้ได้น้อย รักษาได้โดยการใช้ฟอร์มาลีนเข้มข้น 30 ppm. แช่ปลาไว้ 24 ชั่วโมง นอกจากนี้การเปลี่ยนถ่ายน้ำทุกวันหรือการรับประทานไปอยู่ที่ใหม่จะทำให้ตัวอ่อนพยาธิไปเกาะที่ตัวปลาไม่ได้ตัวอ่อนจะตายภายใน 2 วันถ้าไม่มีปลา

เชื้อที่เป็นสาเหตุของโรค

เกิดจากเชื้อ *Ichthyophthirus multifilis* รูปร่างของเชื้อชื่นอยู่กับระยะที่ตรวจพบ อาจมีรูปร่างกลมหรือคล้ายลูกแพร์ มีขนาด 0.2-1 มม. แต่จะมีการเปลี่ยนรูปร่างเมื่อเชื่อมต่อกันเป็นรูปหัวเข็มสู่เหงือกและผิวน้ำ โดยจะเห็นส่วนไข้โตพลาซม ยื่นออกไปทางการเคลื่อนที่ของมัน จะเห็นแกรนูล หยาบๆ และ vacuoles เล็กๆมากมาย Macronucleus ขนาดใหญ่เป็นรูปเกือกม้าส่วน Micronucleus ขนาดเล็กและมักหายไปโดยเชื้อจะเคลื่อนไหวตลอดเวลา โดยใช้ชีลีย์ *Ichthyophthirus multifilis*

อาการทางคลินิก

ปลาที่ป่วยจะมีจุดสีขาวปุกคุลมอยู่ เมื่อโรครุนแรงขึ้นจุดขาวๆเหล่านี้จะแผ่กระจายติดกันคลายเป็นบริเวณกว้างออกไป และต่อมากจะมีส่วนของผิวน้ำลอกหลุด ครีบแบบขิดลำตัว ปลาจะว่ายน้ำผิดปกติ เอาตัวถูกลับตัว โรคที่เกิดจากเชื้อนี้มักเกิดขึ้นเมื่อเลี้ยงปลาอย่างหนาแน่นและมีอุณหภูมิของน้ำต่ำ ตลอดจน

การไม่ได้กักกันปลาใหม่ไว้ก่อนนำไปปนกับปลาเก่า การวินิจฉัย

โดยการทำ wet smear จากเหงือกหรือผิวหนัง
จากปลาที่ยังมีชีวิตอยู่หรือปลาที่เพียงตายใหม่ๆ

ลักษณะทางพยาธิวิทยา

พยาธิตัวอ่อนเข้าไปอยู่ในเยื่อบุผิว และจะเกิด epithelization ซึ่งเมื่อตรวจด้วยกล้องจุลทรรศน์จะสังเกตเห็นหลังจาก 6 วันไปแล้ว และจะสังเกตเห็นด้วยตาเปล่าหลังจาก 10-14 วันไปแล้ว เชื้อจะเข้าไปถึงชั้น basal membrane เท่านั้น ไม่ไปถึงชั้น dermis ในบริเวณที่มี epithelization จะพบว่าหัวเคลือยของเซลล์จะเรียงกันไม่เป็นระเบียบ

การรักษาและการควบคุม

เชื้อที่แก่จะทำอันตรายต่อปลาได้น้อยกว่าตัวอ่อนของเชื้อ และไม่มียาที่สามารถฆ่าพยาธิตัวแก่ได้ไม่ต้องทำลายปลา เพราะเชื้อออยู่ใต้ชั้น epidermis ดังนั้นการป้องกันควบคุมจึงมุ่งเน้นไปที่เชื้อตัวอ่อน ซึ่งเป็น free swimming infective bodies ในปลาตู้ใช้การแข็งด้วย Trypaflavine ขณะเดียวกันเพิ่มอุณหภูมิให้ถึง 30 องศาเซลเซียส เนื่องจากการเจริญเติบโตของเชื้อนี้ใช้เวลาถึง 3 สัปดาห์ ดังนั้นจึงควรแข็งด้วยนานี้ตลอด

ในปลาкар์พที่ป่วย มีการทดลองใช้ Malachite Green 1 กรัมต่อน้ำ 10 ลูกบาศก์เซนติเมตร ปรากฏว่าได้ผลดีโดยแข็งไว้ 10 วัน นอกจากนี้การป้องกันที่ได้ผลดีคือการแยกเลี้ยงปลาที่ได้มาใหม่ ไว้ตู้อาการ 4 สัปดาห์ก่อน และควรทำความสะอาดเครื่องมือเครื่องใช้ โดยการแข็งด้วยน้ำด่างทับทิมเข้มข้น

2. Chilodonelliasis

เป็นโรคผิวหนังและเหงือกในปลาкар์พนักประสบปัญหาเป็นประจำทุกปีในฤดูหนาว

เชื้อที่เป็นสาเหตุของโรค

เกิดจากการติดเชื้อ Chilodonella cyprini มีลักษณะเป็นรูปไข่ และบางครั้งพบเป็นรูปหัวใจขนาดกว้าง 45 ไมครอน ยาว 60 ไมครอน Macronucleus รูปรีมีขนาดใหญ่ถึงหนึ่งในสามของเซลล์ ส่วน Micro-

nucleus มีลักษณะกลม สีบันดูแบบไม่ออาศัยเพศ โดยแบ่งตัวตามความยาวมันอาจอาศัยอาหารจากเซลล์ผิวหนัง และเยื่อบุผิวของเหงือกที่ถูกทำลาย การติดเชื้อเกิดโดยติดจากปลาป่วยโดยตรง

อาการทางคลินิก

ผิวหนังปลาป่วยจะมีสีฟ้าขาว (bluish-white opaqueness) บริเวณเหนือคอชิ้นไปจนถึงฐานของครีบหลังมีลักษณะนูนคล้ายฝ้า ในรายที่เป็นรุนแรงผิวหนังอาจหลุดลอกเป็นแผ่นปลาจะใช้ลำตัวถูกลบพังตื้อว่ายาน้ำอย่างกระสับกระส่าย ในรายที่เป็นที่เหงือกทำให้ปลาหายใจลำบากและอาจตายได้ เนื่องจากพื้นที่สำหรับแลกเปลี่ยนก๊าซลดลง

การวินิจฉัย

โดยการป้ายเชือจากผิวหนังและเหงือกของปลาป่วย ใช้เฉพาะปลาที่ยังมีชีวิตอยู่เท่านั้น เนื่องจากเชื้อชนิดนี้จะออกจากปลาที่ตายแล้วย้อมเชือด้วย India ink และส่องดูด้วยกล้องจุลทรรศน์

ลักษณะทางพยาธิวิทยา

เชื้อทำให้ชั้น epidermis เสียหาย และทำลายเยื่อบุผิวเหงือกจนเหลือแต่โครงกระดูกอ่อนชี้เหงือก

การรักษาและป้องกัน

รักษาได้โดย Trypaflavine ควบคุมกับการเพิ่มอุณหภูมิให้สูงขึ้นถึง 28 องศาเซลเซียส เชื้อจะตายภายใน 10 ชั่วโมง หรือแข็งใน Aquarol แข็ง 3 ครั้งห่างกัน 3 วัน ซึ่งให้ผลดีสำหรับการป้องกันโรคนี้ สำหรับปลาตู้นั้นจะมีหลักการปฏิบัติโดยทั่วไปคือ

1. ไม่ควรเลี้ยงปลาหนาแน่นเกินไป ควรใช้ 5 ลิตร ต่อปลา 1 ตัว

2. สำรวจต่างๆ ต้องเหมาะสม เช่น ปริมาณออกซิเจน ความเป็นกรดด่าง อุณหภูมิ อาหาร

ปลาที่นำเข้ามาเลี้ยงใหม่ ต้องแยกเลี้ยงไว้ต่างหากก่อน

3. Monogenea หรือปลิงใส

พบได้ในปลาสวยงามทุกชนิด Monogenea ที่ตรวจพบมีหลายชนิด ไม่ใช่มีเพียงแต่ *Dactylogyrus sp.*

และ *Gyrodactylus sp.* ดังที่หลายคนเข้าใจกันเท่านั้น ความจริงเป็นเพียง 2 สกุล ในจำนวนหลาย ๆ สกุลที่ตรวจพบ แต่ในที่นี้ขอให้วัดกันในนามกลุ่ม *Monogenea* หรือปลิงใสเท่านี้ก่อน *Monogenea* สามารถกำจัดได้โดยใช้ฟอร์มาลีนเข้มข้น 30 ppm. แค่ 2 วัน



รูปแสดง *Monogenea* หรือปลิงใส

4. *Digenea* หรือ พยาธิใบไม้ (Flukes)

จากการตรวจหาปรสิตภายในปลาสายพาราสิตสั่งออกพับ *Digenea* ในระยะตัวอ่อนระยะ *Metacercaria* เท่านั้น โดยจะเข้า cyst ผังตัวอยู่ที่เหงือก และกล้ามเนื้อผิวตัว พับได้ในปลาเกือบทุกชนิดแต่พบมากในปลาทางใหม้ ปลาจีน ปลาทรงเครื่อง ปลาการแดง เนื่องจาก *Digenea* จะผังตัวอยู่ใต้ชั้นผิวนังจึงไม่สามารถทำการรักษาได้

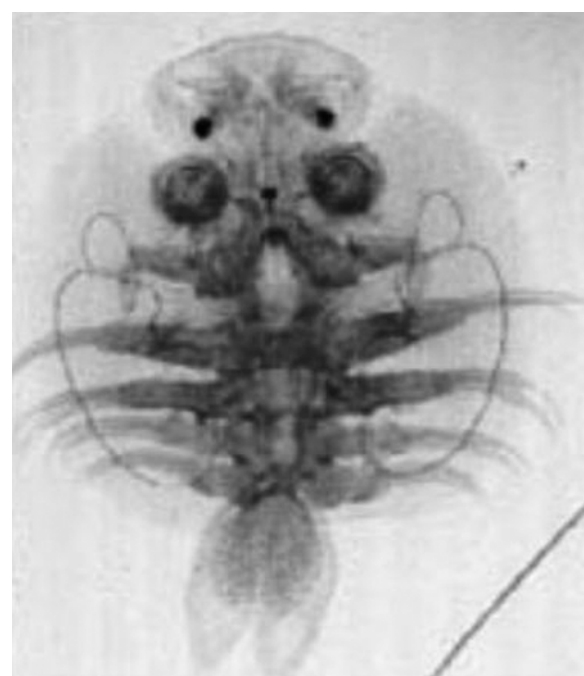
5. *Lernaea sp.* หรือ หนอนสมอ

จะพบเฉพาะเพศเมียเท่านั้นที่เป็นปรสิต และจะพับได้เฉพาะในปลาเมี๊เกล็ด โดยหนอนสมอจะใช้ส่วนหัวที่มีลักษณะคล้ายสมอผังเข้าไปตามโคนครีบ ซอกเกล็ด พับได้ในปลาเมี๊เกล็ดเกือบทุกชนิด

6. *Argulus sp.* หรือเห็บปลา

รูปร่างแบนกลมด้านหลังโคงมน มีสีเขียวปนเหลืองหรือน้ำตาล พับเกาะอยู่ตามผิwtัวสามารถมองเห็นได้ด้วยตาเปล่าพับได้ในปลาเมี๊เกล็ดเกือบทุกชนิด สำหรับปรสิตในกลุ่ม Copepod และ กลุ่ม Branchiura

นี้สามารถรักษาได้โดยการแซ่ติพเทอร์เริกซ์ 0.25 ppm. สัปดาห์ละครั้ง 4 สัปดาห์ ติดต่อกัน นอกจากนี้การตรวจพบปรสิตในกลุ่มต่างๆ ดังที่กล่าวมาแล้ว ยังตรวจพบโรคที่เกิดจากเชื้อไวรัสอีกด้วยคือ โรค *Lymphocystis* หรือ โรคหัววแสงนม อาการโรคนี้คือ มีตุ่มสีขาวเล็กขึ้นเป็นกระฉูก อยู่ตามครีบหลัง ครีบหาง และลำตัว ตรวจพบในปลาตะกรับ และปลาเสือฟันห้า ซึ่งโรคนี้เมื่อเป็นมากแล้วก็สามารถรักษาให้หายได้ แต่ถ้ายังไม่เป็นไม่มากนัก



รูปแสดง *Argulus sp.* หรือเห็บปลา

โรคที่เกิดจากเชื้อแบคทีเรีย

• โรค Motile Aeromonas Disease

สาเหตุของโรค (Etiological agent)

เกิดจากเชื้อ *Aeromonas hydrophila* เรียกว่า Motile aeromonas disease ซึ่งเป็นที่ยอมรับกันทั่วไปตั้งแต่ ค.ศ. 1974 เนื่องจากเชื้อแบคทีเรียนิดนี้เคลื่อนที่ได้โดยใช้ Polar flagella ลักษณะของโรคเมื่อเชื้อเข้าไปในกระเพาะเลือดและผลิตสารพิษ (Toxins) โรคนี้พับได้อย่างกว้างขวางในทุกประเทศที่มีการเลี้ยง

ปลาห้ามีด และเป็นสาเหตุสำคัญที่ทำให้เกิดโรคระบาด ในปลารวงทั้งในสัตว์เลือดเย็นอื่นๆ หล่ายชนิด ความรุนแรงของเชื้อจะต่างกันตามแหล่งที่อยู่ จึงมีเชื้อพ้องอิกหลายชื่อสำหรับโรคที่เกิดจากแบคทีเรียชนิดนี้โดยเรียกตามอาการของปลาหรือสัตว์ป่วย ได้แก่

1. hemorrhagic septicemia ทำให้ปลาป่วยมีอาการตกเลือด เกิดกับปลาเขตร้อนทั่วๆ ไป เช่น ปลาใน (*Cyprinus carpio*)

2. red sore disease ในปลา Pike (*Esox lucius*)

3. bacteria septicemia เป็นลักษณะอาการที่มีเชื้อแบคทีเรียแพร่ไปยังอวัยวะส่วนต่างๆ ตามกระแสเลือด

4. red pest บริเวณด้านท้องของปลา มีสีแดงและเลือดคั่ง (dermal hyperemia)

5. rubella ปลาкарฟในญี่ปุ่นตะวันตก อาการท้องมาน (ascites) และเชื้อแพร่ไปตามกระแสเลือด

6. freshwater eel disease พบในปลาไหล ตกเลือดเป็นจุดเล็กๆ (petechial hemorrhage) บริเวณท้อง

7. red-leg disease ในกบ

รูปร่าง (morphology)

เป็นแบคทีเรียแกรมลบ รูปร่างเป็นแท่งสั้นตรงข้าดความยาวโดยทั่วไปประมาณ 1.0-1.5 ไมครอน หรือ 2-4.5 เท่าของความกว้าง แล๊ (Flagellum) มักมีเพียง 1 เส้นที่ปลายเซลล์จึงสามารถเคลื่อนที่ได้ ไม่สร้างสปอร์ ไม่สร้างสารสี (pigment) ไม่มีแคปซูล ลักษณะโคโลนีแตกต่างกันบ้างบนอาหาร TSA โดยทั่วไปมีลักษณะกลม ผิวเรียบ ทรงกลม เด้งนูน สีขาวนวล มักอยู่เป็นเซลล์เดียวหรือเป็นคู่ บางครั้งพบเป็นสายสั้น ๆ

คุณสมบัติทางชีวเคมี (biochemical properties)

คุณสมบัติทางชีวเคมีคล้ายกับแบคทีเรียในครอบครัว Enterobacteraceae เจริญได้ในอาหารเลี้ยงเชื้อทั่วๆ ไป สามารถใช้สารอินทรีย์เป็นแหล่ง

อาหารและให้พลังงาน เจริญได้ทั้งในสภาพที่มีและไม่มีออกซิเจน เปลี่ยนใน過程ให้เป็นไนโตรเจนได้ เจริญได้ในอุณหภูมิช่วงกว้าง ต่ำสุด 0-5 องศาเซลเซียส สูงสุด 38-45 องศาเซลเซียส อุณหภูมิที่เหมาะสมสูงต่อการเจริญเติบโตประมาณ 25-30 องศาเซลเซียส ช่วงความเป็นกรดต่าง (pH) 5.5-9.0 นอกจากนี้ยังสามารถผลิต extracellular enzymes ซึ่งเป็นปัจจัยที่ทำให้แบคทีเรียชนิดนี้มีความรุนแรงและสามารถทดสอบความรุนแรงได้ ได้แก่

Hemolysins ทำให้เม็ดเลือดแตกแตก บนอาหารเลี้ยงเชื้อที่ผสมเลือด (Blood agar) จะปรากฏ clear zone เป็นบริเวณกว้างรอบๆ โคโลนี

นอกจากนี้ยังสามารถสร้าง Resistance (R) factor โดยถ่ายทอดทาง Plasmid ทำให้เชื้อมีความรุนแรงมากขึ้น Cytochrome oxidase test ให้ผลเป็นบวก สามารถสร้างอินдол (Indol) เจริญเติบโตได้บนอาหารเลี้ยงเชื้อเฉพาะชนิด (Selective media) คือ Rimler-Shotts (RS) medium บ่มไว้ที่อุณหภูมิ 35 องศาเซลเซียส เป็นเวลา 18-24 ชั่วโมง จะได้โคโลนีสีเหลือง

RS medium ประกอบด้วยกรดอะมิโนบางชนิด และเติมปฏิชีวนะโนโวไบโอซิน (Novobiocin) ลงไปด้วยเพื่อช่วยให้สามารถแยกเชื้อ *A. hydrophila* ออกจากแบคทีเรียพวกอื่นๆ ได้ง่ายขึ้น ให้ผลถูกต้องประมาณ 94% เมื่อจากไม่สามารถแยกเชื้อแบคทีเรีย *Citrobacter spp.* ซึ่งเป็น H2S-variable ได้ และอาหารเลี้ยงเชื้อชนิดนี้ไม่สามารถแยกเชื้อ *A. hydrophila* ชนิดที่ไวต่อยาปฏิชีวนะโนโวไบโอซิน และให้อ่อนไขม์ Lysine carboxylase ได้ นอกจากนี้ยังไม่สามารถแยกให้เห็นความแตกต่างระหว่าง *A. hydrophila* กับ *Vibrio Group F* หรือ *EF6* ซึ่งแบคทีเรียพวก *Vibrio* ส่วนใหญ่แพร่กระจายอยู่ทั่วไปในน้ำกร่อยและทะเล

การแพร่กระจายโรค

โรค *Motile aeromonas* มีการแพร่กระจายทั่วโลก ส่วนใหญ่พบในน้ำจืด โดยเฉพาะอย่างยิ่งแหล่ง

น้ำที่มีปริมาณอินทรียสารมาก น้ำทึ้งจากแหล่งชุมชน
น้ำกร่อยที่มีความเค็มไม่เกิน 10 พีพีที่นอกจากนี้ยัง¹
พบในดินด้วย

ชนิดของสัตว์ที่ไวต่อการติดเชื้อ (Susceptible species)

สัตว์หลายชนิดเป็นโรคนี้ได้แก่

ปลาหัวจีดและปลาทະเต (เป็นโรคเนื่องจากเชื้อ *A. hydrophila* ที่เจริญเติบโตในที่มีความเค็มได้) เช่น ปลาใน (*Cyprinus carpio*) ปลาสวยงามหัวจีดทุกชนิด รวมทั้ง ปลาดุก กบ ฯ จะระเข้ เต่า ตะพาบ น้ำ

การระบาดของโรค

การระบาดของโรคนี้มีความเกี่ยวข้องกับความเครียดเป็นอย่างมาก ปกติพบเชื้อ *A. hydrophila* ในแหล่งน้ำทั่วๆ ไปและในลำไส้ของปลาปกติ หากแหล่งน้ำนั้นอยู่ในสภาพสมดุลเชื้อแบคทีเรียชนิดนี้จะไม่ทำให้เกิดปัญหาภัยปลากับปลา แต่เมื่อได้ก่อตัวที่มีสาเหตุทำให้สภาวะสมดุลเปลี่ยนแปลงไป ได้แก่ เชื้อโรคเพิ่มปริมาณขึ้น หรือสภาพแวดล้อมเปลี่ยนแปลงไปในทางที่ไม่ดีจะทำให้ปลาเกิดความเครียดโอกาสที่ปลาจะเป็นโรคก็มีมากขึ้น

สภาพแวดล้อมที่สำคัญได้แก่ อุณหภูมิ ในเขตหนาวปลาที่มีเชื้อ *A. hydrophila* อยู่ในร่างกาย (Latent infection) จะไม่เป็นโรคเมื่อเลี้ยงในน้ำที่อุณหภูมิต่ำกว่า 7-8 องศาเซลเซียส อุณหภูมิของน้ำต่ำลงเป็นเหตุให้ปลาเกิดอาการน้อยลง การสร้างภูมิคุ้มกันอยู่ในระดับต่ำกว่าปกติ การตายน้อย แต่โรคระบาดเมื่ออุณหภูมิของน้ำเพิ่มขึ้นเกิน 12-14 องศาเซลเซียส แบคทีเรียมีจำนวนอย่างรวดเร็ว แต่การสร้างภูมิคุ้มกันของปลาเพิ่มอย่างช้าๆ ไม่ได้สัดส่วนกับปริมาณเชื้อ แบคทีเรีย โรคระบาดอย่างรวดเร็วในปลาที่ติดเชื้อ *A. hydrophila* และอ่อนแอ โดยเฉพาะอย่างยิ่งเมื่อปลาเครียดและมีเชื้อปริมาณมากในน้ำเป็นสาเหตุให้การตายเพิ่มขึ้น โรคระบาดในประเทศไทยน่าสังเกตว่ามักจะเกิดขึ้นในช่วงปลายฤดูฝนต่อ กับต้นฤดูหนาว ทำให้สภาพแวดล้อมเปลี่ยนแปลงไปในเวลา

อันรวดเร็ว ในรอบวันอุณหภูมิสูงขึ้นถึง 28 องศาเซลเซียส ปลาไม่อาจปรับตัวได้ทัน และหลังจากน้ำท่วมมักจะเกิดโรคระบาด

นอกจากนี้ การเปลี่ยนแปลงทางกายภาพ ปลาที่บอบช้ำจากการชนล่น ฝีบัดแพลผิวน้ำและเหงือกถูกทำลายเนื่องจากปรสิตคุณสมบัติของน้ำไม่เหมาะสม เช่น ปริมาณออกซิเจนที่ละลายน้ำต่ำเกินเป็นเวลา นาน ๆ ปริมาณ Unionized ammonia (NH3) ในน้ำมีมากเกินมาตรฐาน (0.025 ppm.) การปนเปื้อนของสารมลพิษ เลี้ยงปลาหนาแน่นเกินไปมีของเสียขับถ่ายออกมากปริมาณมาก ให้อาหารมากเกินไป จนเหลือตกค้างในบ่อหรือร่องชั้ง เป็นสาเหตุให้ปริมาณออกซิเจนละลายน้ำลดน้อยลง สิ่งเหล่านี้จะเป็นสาเหตุโน้มนำให้ปลาอ่อนแอและเครียด เปิดโอกาสให้เชื้อแบคทีเรียเข้าไปทำอันตรายได้

กลไกการเกิดโรค Motile aeromonas

การเกิดโรค *Motile aeromonas* เนื่องจาก *A. hydrophila* เป็นการติดเชื้อในระบบภายในตัวปลา (System infection) เชื้อแบคทีเรียจะเข้าไปทางปาก ยกเว้นเมื่อผิวน้ำหรือเหงือกถูกทำลายเชื้อนี้ก็เข้าไปได้จะไปเพิ่มจำนวนในลำไส้และบริเวณที่เข้าไป แล้วแพร่กระจายตามกระแสเลือดทั่วร่างกาย ปลาкарพที่เป็นโรคติดเชื้อชนิดนี้ แบคทีเรียจะเพิ่มจำนวนอย่างรวดเร็วในทางเดินอาหาร หลอดเลือด และแพร่ไปทุกเนื้อเยื่อที่มีเลือดไปหล่อเลี้ยง หลังจากนั้นพังหลอดเลือดถูกทำลาย ตกเลือด พลางาม ไอลซึมออกมาระสมรรถห่วงเซลล์ใต้เกล็ดทำให้เนื้อเยื่อบริเวณนั้นบวม น้ำ เกล็ดตั้งพอง (Lepidorthosis) แต่จากการรายงานกลไกการเข้าสู่ตัวปลาของเชื้อ *A. hydrophila* ในประเทศไทยพบว่าปลาปูจำนวนมากที่เป็นโรคระบาดต่างๆ วิการของโรคที่เด่นชัดที่สุดคือผลที่ผิวน้ำ มีตุ่มแดงหรือตุ่มฝี (Vesicle) เล็กๆ เกิดขึ้นก่อน ต่อมาจะแตกออกเป็นแผลเปิด แผลลุกalamขยายวงกว้างออกไป แสดงว่าการติดโรคเฉพาะที่ที่จุดใดจุดหนึ่งในบริเวณเนื้อเยื่อบุผิวของตัวปลา โดยการ

เล็ดลอดผ่านเนื้อเยื่อบุผิวเข้าไป ไม่ได้เข้าสู่ภายในตัว ปลาก่อนแล้วจึงสูรับหมุนเวียนเลือดแล้วจึงมาก่อ แผลตามผิวนังที่หลัง ส่วนกลไกการเล็ดลอดผ่าน เนื้อเยื่อบุผิวของตัวปลาได้อย่างไรนั้นยังไม่เป็นที่ ทราบกัน อย่างนั้นที่สำคัญประการหนึ่งคือ *Aeromonas* เป็นเชื้อนิดเดียวที่สามารถแยกได้จากตุ่มฝีที่ยังไม่ แตกແแทบทุกตุ่ม และตรวจไม่พบเชื้อแบคทีเรียใดๆ ใน ตัวอย่างเลือดและอวัยวะภายในที่สำคัญในปลาเกือบทั้งหมดที่นำมารักษา

อาการของโรค

อาการโดยทั่วไปของโรค Motile aeromonas เนื่องจากเชื้อ *A. hydrophilla* แบ่งออกได้เป็น 4 กลุ่ม ดังต่อไปนี้

1. อาการรุนแรงแบบเฉียบพลัน (Acute) ปลา จะตายอย่างรวดเร็วมากโดยไม่ปรากฏอาการภายนอก ให้เห็นหรือมีอาการเพียงเล็กน้อยเท่านั้น อวัยวะภายในมีเลือดคั่ง บริเวณลำไส้ส่วนปลายตกเลือด เยื่อบุช่องห้องและกล้ามเนื้อตกเลือดเป็นจุดเล็กๆ การระบาดของโรคเกิดขึ้นภายใน 1 หรือ 2 วัน เนื่องมาจากการเครียดที่เกิดจากการชนสั่น การที่ปลาอยู่รวมกันอย่างหนาแน่นและการที่อุณหภูมิของน้ำเพิ่มขึ้น

2. อาการรุนแรงแบบเฉียบพลันและมีอาการบวมน้ำ (Dropsy) เป็นแพลงพอง (Blisters), มีฝี, เกล็ดตั้งพอง, ตาโปน (Exophthalmia) การเปลี่ยนแปลงที่เกิดขึ้นดังกล่าวเป็นผลมาจากการพิษ (Toxin) ที่แบคทีเรียสร้างขึ้น ปลาจะตายภายใน 1 - 2 วันหลังจากมีอาการดังกล่าว

3. อาการเรื้อรังแบบมีแผลลึกถึงขั้นกล้ามเนื้อ (Chronic ulcerous) ระยะแรกแผลอาจจะตื้น มีขนาดเล็ก ต่อมากขยยานัดขึ้นและลึกลงไปถึงขั้นกล้ามเนื้อ ปลาที่รอดตายจากการดังกล่าวส่วนมากจะมีแผลเป็นสีดำเห็นได้ชัด

4. ปลาไม่แสดงอาการของโรค (Latent form) ไม่ สามารถเห็นอาการทั่วไปของนกและภายใน แต่ สามารถแยกเชื้อแบคทีเรียได้จากอวัยวะภายในและ

เยื่อบุช่องห้อง เป็นต้น ปลาเหล่านี้มักจะสร้างภูมิคุ้มกันสำหรับแบคทีเรีย *A. hydrophilla* สายพันธุ์นั้นๆ และเป็นพาหะของโรค (Carrier)

สำหรับในประเทศไทยว่า โรคติดเชื้อส่วนใหญ่เกิดจาก *A. hydrophilla* ทำความเสียหายให้แก่ผู้เลี้ยงปลามากที่สุด มักจะตรวจพบเชื้อนี้ในสัตว์น้ำที่มีผลเรื้อรัง เกิดเนื้อตายและแพลงเน่า เชื้อแบคทีเรียชนิดนี้จะทำให้ปลา死จัดชนิดต่างๆ เป็นโรคเมื่อปลาอ่อนแอ อาการของโรคมีบาดแผลบนลำตัวและครีบกร่องมีเลือดไหลซึมออกมาน้ำ ตับ ไต และม้ามบวมโต กว่าปกติ ตกเลือดในอวัยวะภายในทั้งหมด



รูปแสดงปลาที่ติดเชื้อ *A. hydrophilla*

การวินิจฉัยโรค

สามารถวินิจฉัยโรคนี้ได้จากปลาที่ปรากฏอาการติดเชื้อแล้วทำการแยกเชื้อและจำแนกชนิดของแบคทีเรีย *A. hydrophilla* เป็นแบคทีเรียแกรมลบและสามารถแยกเชื้อได้จากบริเวณแพลงและอวัยวะเป้าหมาย เช่น ตับ ม้าม น้ำในช่องห้อง โดยเฉพาะอย่างยิ่งจากไต ทำการเพาะเชื้อโดย streak บน RS-medium หรือ Trypticase soy agar (TSA) และสามารถเจริญเติบโตได้ดีบนอาหารเลี้ยงเชื้อหرمดา แต่ RS-medium เป็นอาหารเลี้ยงเชื้อเฉพาะสำหรับ *A. hydrophilla* ถึงแม้ว่า RS-medium จะไม่สามารถแยก *A. hydrophilla* ออก จาก Vibrio group F หรือ EF6 ก็ตาม แต่โดยทั่วไปถ้าปลามีอาการของโรคแบบ bacterial hemorrhage

septicemia และพบแบคทีเรียแกรมลบเคลื่อนที่ได้รูปร่างเป็นแท่งสัน ไซโตโครอมออกซิเดสบวก สามารถใช้น้ำตาลในสภาพที่มีและไม่มีอากาศได้ เจริญในอาหารที่มี Vibriostat 0/129 เชื้อชนิดนี้คือ *A. hydrophilla* อย่างแน่นอน ความแตกต่างระหว่าง *A. hydrophilla* กับ คือ *A. hydrophilla* เคลื่อนที่ได้แต่ *A. salmonicida* ไม่เคลื่อนที่

การรักษาและการควบคุมโรค

การรักษาโรคติดเชื้อ Motile aeromonas โดยทั่วไปใช้

- Oxytetracycline ผสมในอาหารในอัตรา 55 มิลลิกรัมต่อปลา 1 กิโลกรัมต่อวัน เป็นเวลา 10 วัน
- Sulfamerazine 264 มิลลิกรัมต่อปลา 1 กิโลกรัม ผสมในอาหารเป็นเวลา 3 วัน ตามด้วย 154 มิลลิกรัมต่อปลา 1 กิโลกรัม เป็นเวลาอีก 11 วัน
- Enrofloxacin hydrochloride ขนาด 10 มก./ลิตร ติดต่อ กัน 5 วัน

การป้องกัน

การป้องกันเป็นวิธีที่ดีที่สุดเพื่อที่จะลดอัตราการตายของปลาจากโรคนี้ เพราะปลาที่เป็นโรคติดเชื้อรักษายากและสิ้นเปลืองมาก เนื่องจาก *A. hydrophilla* จะทำให้ปลาเป็นโรคเมื่อเกิดความเครียด จะสังเกตได้ว่าหลังจากการขนส่งสู่กุ้งปลา เมื่อปล่อยลงเลี้ยงใหม่จะมีปลาตายเป็นจำนวนมากในช่วงสัปดาห์แรกแม้ว่าจะแข็งปลาในยาต้านจุลชีพเพื่อป้องกันการติดเชื้อก็ตาม การลดความอบอุ่นจากการตัดเลือกปลาเพื่อบรรจุในภาชนะและไม่ใส่ปลาแห่นจนเกินไป ตลอดจนการใส่เกลือแกงในปริมาณ 0.1 - 0.5% (ขึ้นอยู่กับขนาดของปลา) จะสามารถลดอัตราการตายได้มาก แม้ว่าความเข้มข้นของเกลือในระดับนี้จะไม่สามารถฟื้นฟื้นเชื้อแบคทีเรียได้ก็ตาม แต่เกลือจะสามารถควบคุมสมดุลของไอออนในตัวปลา หรือทดแทนคลอไรด์ไอออนที่ปลาเสียไปเนื่องจากการเครียด จากรายงานการวิจัยส่วนมากจะพบว่า เมื่อปลาเครียดปริมาณคลอไรด์ไอออนในเลือดจะลดลง นอกจากนั้นเกลือสามารถลด

ความเป็นพิษของแอมโมเนียมและไนโตรทีฟะสมเพิ่มขึ้นตามเวลาในขณะที่ขึ้นสูงได้

โรคที่เกิดจากเชื้อร่า

• โรคSaprolegniasis

เป็นโรคราที่เกิดขึ้นกับปลาและไข่ปลา ที่มีสาเหตุมาจากการเชื้อร่าในแฟมิลี่ Saprolegniaceae ชนิดของเชื้อร่าที่ทำให้เกิดโรคอยู่ในสกุล *Saprolegnia*, *Achlya* หรือ *Dictyuchus* ในบางครั้งเรียกชื่อโรคนี้ว่า *Achlyiasis* ถ้าวินิจฉัยพบว่ามีสาเหตุมาจาก *Achlya* ทั้ง *Saprolegnia* และ *Achlya* มีความคล้ายคลึงกันมาก ทางด้านลักษณะและรูปร่าง หน่วยสีบพันธุ์ของ *Dictyuchus* แตกต่างไปจากหน่วยสีบพันธุ์ของ *Saprolegnia* และ *Achlya* แต่ลักษณะของโรค *Dictyuchiasis* ในปลาและไข่ปลาจะเหมือนกับโรคที่เกิดจาก *Saprolegnia* และ *Achlya* การตรวจสอบด้วยกล้องจุลทรรศน์เพียงอย่างเดียวสามารถบอกเชื้อร่าที่เป็นตัวทำให้เกิดโรคได้ การรักษาโรคที่เกิดจากเชื้อร่าเหล่านี้เหมือนกัน ดังนั้นจึงเรียกชื่อร่วมๆ กันว่า *Saprolegniasis* หรือเรียกว่า fish fungus disease หรือ fungus disease

เชื้อร่าที่เป็นสาเหตุของโรค

ราในแฟมิลี่ Saprolegniaceae พบร้าทั่วโลก อาจจะเรียกว่าราหัว (water mold) พบร้ารังแรกในน้ำ จีดแต่เมืองชนิดเจริญได้ในน้ำกร่อยที่มีความเค็ม 2.8 ส่วนในพันส่วน (ppt.) แต่ไม่พบในน้ำทะเลที่มีความเค็มสูงกว่า 3.5 ส่วนในพันส่วน มีหลายชนิดพบอยู่ในดินที่ชื้น

ราส่วนมากในแฟมิลี่เป็นพาก saprophyte บนอินทรีย์วัตถุที่ตายแล้ว ชนิดของราที่ทำให้เกิดโรคในปลาเป็นทั้งพาก saprophyte และ facultative parasite

เชื้อร่าที่ทำให้เกิดโรค *Saprolegniasis* คือ *Saprolegnia parasitica*, *Achlya hoferi*, *Dictyuchus sp.* และมีชนิดอื่นๆ ที่อยู่ในสกุลเหล่านี้กระจายทั่วไปในโลก ลักษณะของราเหล่านี้คือ เป็นสีน้ำเงินมีขนาดยาว แตก

แขนงและไม่มีผนังกั้นระหว่างเซลล์ มีการสืบพันธุ์แบบไม่อาศัยเพศโดยการสร้าง zoosporangia บน fertile hyphae zoosporangia มีลักษณะยาวเรียว และ มีเส้นผ่าศูนย์กลางใหญ่กว่าเส้นไข่ อีก 2 เซ้น ภายในมี zoospore รูปทรงกลม sporangia ของ *S. parasitica* และ *A. hoferi* จะแตกออกแล้วปล่อย zoospore ลงสู่น้ำหรือดินในขณะที่ zoosporangia ยังติดอยู่บน hyphae ส่วน zoosporangia ของ *Dictyuchus sp.* จะหลุดออกจาก hyphae เมื่อเจริญเต็มที่ primary zoospore ของ *S. parasitica* หรือ *A. hoferi* จะสร้าง cyst และลัวปล่อย secondary zoospore เป็นจำนวนมาก secondary zoospore ที่สามารถอกเป็น hyphae ใหม่ ต่อไป zoosporangia ของ *Dictyuchus sp.* ที่ยังติดอยู่บน hyphae มีการสร้าง cyst หุ้ม zoospore และผลิต secondary zoospore ก่อนที่จะปล่อยออกภายนอก ราดต่ำลงนิดทีกล่าวถึงสามารถสร้าง zoospore ได้เป็นจำนวนมาก และสามารถเกิดการติดต่อได้ทั้งในลักษณะที่เป็น saprophyte อยู่ในน้ำที่มีปลาอยู่หรือบนตัวปลา ไข่ปลา การสืบพันธุ์แบบอาศัยเพศของเชื้อราแต่ละชนิดตั้งกล่าวไว้ก็ขึ้นได้

การแพร่กระจายของโรค

ทั้ง zoospore และ mycelium ของ *S. parasitica*, *A. hoferi* หรือ *Dictyuchus sp.* พบร้าไปทุกแห่งในโลก zoospore สามารถติดไปกับขนนก ขนสัตว์ ลม หรือกระแสน้ำ ดังนั้นการเกิดโรค Saprolegniasis ในปลา หรือไข่ปลาเกิดได้ตลอดไป

ชนิดของปลาที่เป็นโรค

ปลาทั้งหมดและน้ำกร่อยทุกชนิด และไข่ปลา มีโอกาสที่จะเป็นโรค Saprolegniasis ไข่ปลาที่ยังมีชีวิตอยู่ไม่ค่อยติดเชื้อรา Saprolegnia แต่ไข่ปลาที่เสียจะเป็นอาหารสำหรับการเจริญของเชื้อราก

การระบาดของโรค

สาเหตุเบื้องต้นของการเกิดโรค Saprolegniasis ได้แก่ อันตรายที่เกิดขึ้นแก่ผิวน้ำ ครีบ และเหงือก อาจเนื่องมาจากการปรสิตภายนอก สารมลพิษต่างๆ การ

เปลี่ยนแปลงอุณหภูมิ หรือการเปลี่ยนแปลงความเป็นกรดด่าง สิ่งต่างๆเหล่านี้เป็นปัจจัยเบื้องต้นที่ทำให้เชื้อราเข้าไปทำอันตรายต่อไป จึงถือว่าเชื้อราพกนี้เป็น secondary infection ป้อยครั้งเร้าจะพบว่า เชื้อราจะเกิดร่วมหรือหลังจากโรคติดเชื้อจากแบคทีเรียต่างๆ

Zoospore ของ Saprolegnia จะสร้างเส้นใยปุกคลุมเนื้อเยื่อที่ได้รับบาดเจ็บหรือบริเวณที่เชื้อราบุกรุก และกระจายออกไปในเนื้อเยื่อที่ปกติซึ่งอยู่รอบๆแล้วปล่อยเอนไซม์ออกมาย่อยเนื้อเยื่อบริเวณนั้น เส้นใยของราจะกระจายออกไปเรื่อยๆจนกระทั่งเส้นใยลงไปในน้ำที่อยู่รอบๆทำให้ดูคล้ายกับปุยฝ่ายปุกคลุมลำตัว ถ้าเกิดที่บริเวณเหงือกอาจทำให้ปลาตายได้เนื่องจากจะไปขัดขวางการหายใจ

ปลาที่ตายจะเป็นอาหารสำหรับการเจริญของเชื้อรา และการสร้าง zoospore ทำให้จำนวน zoospore ในน้ำเพิ่มขึ้นเป็นจำนวนมาก มีโอกาสที่จะเข้าไปทำอันตรายปลาตัวอื่นที่บาดเจ็บเพียงเล็กน้อย

ไข่ปลาที่ตายเป็นอาหารที่เหมาะสมต่อการเจริญของ Saprolegnia zoospore เพียงหนึ่ง zoospore สามารถเริ่มมีการเจริญเติบโตบนไข่ปลาได้ กลุ่มของเส้นใยจะกระจายออกจากร่องสูบน้ำที่อยู่รอบๆและเส้นใยที่เกิดอยู่บนไข่ปลาที่ตายนี้จะไปขัดขวางการหายใจของไข่ปลาที่ยังมีชีวิตอยู่ได้ ทำให้ไข่ปลาที่มีชีวิตนั้นตายและถูกบุกรุกโดยรарат่อไป

การเจริญเติบโตของราบนปลาที่ยอมรับเชื้อรา ไข่ปลาซึ่งอยู่กับอุณหภูมิของน้ำ อุณหภูมิที่เหมาะสมอยู่ระหว่าง 15-30 องศาเซลเซียส แต่เจริญเติบโตอย่างรวดเร็วที่อุณหภูมิ 18-26 องศาเซลเซียส และเจริญเติบโตช้าที่อุณหภูมิ 0-15 องศาเซลเซียส

อาการทางคลินิก

ปลาหรือไข่ปลาที่เป็นโรค Saprolegniasis จะมีลักษณะคล้ายปุยฝ่ายสีขาวอมเทาจนถึงสีเทาอมน้ำตาล เจริญอยู่บนผิวน้ำ ครีบ เหงือก ตา หรือบนไข่ปลา บางครั้งเชื้อราอาจจะบุกรุกลึกลงไปในเนื้อเยื่อ

กล้ามเนื้อใต้ผิวหนัง หรือเชื้อราก Ged Jak Gay ในแล้วส่งเลี้นไอกมาภายนอกที่ผิวหนัง



รูปแสดงปลาที่มีรอยโรคที่มีสาเหตุมาจากเชื้อรา

การวินิจฉัยโรค

ปลาที่ติดเชื้อรากสังเกตได้ง่ายจากลักษณะคล้ายปุยฝ่ายสีขาวอมเทาเจริญอยู่บนผิวหนังหรือบนไข่ปลาที่ตายแล้ว และเพื่อความแน่นอน นำตัวอย่างเส้นใยจากตัวปลาหรือไข่ปลามาส่องดูด้วยกล้องจุลทรรศน์จะพบเส้นใยที่แตกแขนง ไม่มีผังกันระหว่างห่วงเชลล์ ที่ปลายสุดของเส้นใยจะมี zoospore primary zoospore มี 2 เส้น มีกระแท้ม ภายในมี secondary zoospore

การรักษาและควบคุมโรค

การควบคุมโรค Saprolegniasis โดยการกำจัดสาเหตุเบื้องต้นที่ทำให้เกิดโรคหรือควบคุมสภาวะแวดล้อมให้ดี

การรักษาที่นิยมกันโดยใช้สารเคมี ได้แก่

- malachite green (zinc-free) เช้มขัน 0.1 ส่วนในล้านส่วน 24 ชั่วโมง
 - เปรลี่ยนถ่านห้าอย่างส้ม่าเสมอ

โรคที่เกิดจากเชื้อไวรัส

• Koi Herpes Virus (KHV)

ในปัจจุบัน มีโรคที่เกิดขึ้นกับปลาสวยงามที่อาจ

ทำให้ผู้ที่จะเลี้ยงหรือกำลังเลี้ยงปลาสวยงามอยู่เกิดความสะพรึงกลัวได้นั่นคือ Koi Herpes Virus ซึ่งพบรายงานในปลาสวยงามของอิสราเอลและญี่ปุ่น เมื่อไม่多久 อาจวินิจฉัยได้ว่า โรคนี้เกิดในญี่ปุ่นหรือไม่ เพียงแต่รู้ว่า ปลาสวยงามจากประเทศข้างตันป่วยเป็นโรคนี้ และตอนนี้พบว่า ผู้แทนจำหน่ายปลาสวยงามใน California, Ohio, Louisville, Atlanta, Texas, Chicago, New York, Indiana, Nevada, Arizona, Virginia และ Florida ต่างก็พบร่วมกันว่า มีปลาของตัวเองป่วยเป็นโรคนี้ ส่วนในปลาทองไม่พบการเกิดโรค โรค Koi Herpes Virus นับเป็นโรคที่สำคัญโรคหนึ่งในปลาคาร์พ เนื่องจากมีอัตราการตายสูง ก่อให้เกิดความเสียหายทางเศรษฐกิจเป็นอย่างมาก ที่ USA ปี 2003 โรค KHV ทำปลาตายมาก ในประเทศไทย ยังไม่เคยมีรายงานการเกิดโรคแต่ก็ควรระมัดระวัง เนื่องจากมีการนำเข้าปลาคาร์พจากต่างประเทศ มีรายงานการเกิดโรคนี้ครั้งแรกในประเทศไทยอิสราเอลในปี 2541 จากนั้นได้แพร่ระบาดไปในหลายประเทศ ได้แก่ เบลเยียม เดนมาร์ค อังกฤษ เยอรมนี เนเธอร์แลนด์ ล่าสุดในเดือนตุลาคม 2546 ได้มีการระบาดครั้งใหญ่ในประเทศไทยญี่ปุ่นที่จังหวัด Ibaraki ทางตะวันออกเฉียงเหนือของกรุงโตเกียว ซึ่งข้อมูลทางการช่าวรายงานว่า ปลาคาร์พตายถึง 1.124 ตัน เสียหายเป็นเงิน 280 ล้านเยน

ເຂົ້າທີ່ເປັນສາເຫດຂອງໂຮມ

เกิดจากเชื้อไวรัส Herpes เป็นชนิดของ DNA virus ที่ทำให้เกิดโรคกับปลาได้มากที่สุดโรคแพลพูพอง ที่เกิดกับปลาкар์พ (Carp pox) ที่เป็นสาเหตุให้เกิดก้อนเนื้อใสๆ ไม่น่าดูในอาการที่เย็นขึ้น มีเชื้อว่า Cyprinid Herpes Virus (CHV) ไม่ควรสับสนกับ KHV ซึ่งของ KHV ไม่ได้ถูกนำมาใช้กันอย่างแพร่หลาย และผู้ที่เชื่อว่าโรคนี้ไม่ได้มีสาเหตุมาจากการเชื้อไวรัส Herpes ขอที่จะใช้ KV เรียกแทนมากกว่า

เชื้อจะสามารถก่อโรคที่อุณหภูมิต่ำได้ตึกกว่าที่อุณหภูมิสูง (ไม่เกิน 30 องศาเซลเซียส) อุณหภูมิเป็นปัจจัยสำคัญที่ทำให้เกิดระยะเวลาห่าง exposure

กับ onset โดยที่อุณหภูมิต่ำทำให้เชื้อไวรัส Herpes virus ดำรงชีวิตได้ยาวนาน โรคมักเกิดที่อุณหภูมิระหว่าง 18-28 องศาเซลเซียส

ชนิดของปลาที่เป็นโรค

โรค Koi Herpes Virus เกิดได้ในปลาкарพทั่วไป ปลาน้ำ และปลาสวยงามอื่นๆ อีกหลายชนิด

อาการทางคลินิก

ส่วนใหญ่ปลาจะได้รับเชื้อจากการสัมผัสปลาป่วยด้วยกัน อาจจะมีบ้างที่ได้รับเชื้อจากน้ำหรืออุปกรณ์บางชนิด เช่น ตาข่าย ปลาкарพที่ได้รับเชื้อ มีทั้งที่ตายหายป่วยและเป็นพาหะ (พาหะ หมายถึง ติดเชื้อแล้วไม่ป่วย แต่จะแพร่เชื้อออกมาระยะเวลานาน) โดยเมื่อได้รับเชื้อแล้ว จะแสดงออกมาได้ 4 แบบ คือ

1. ไม่ติดเชื้อ (โดยระบบภูมิคุ้มกัน หรือความต้านทานการติดเชื้อด้วยธรรมชาติ)
2. ติดเชื้อและตาย
3. ติดเชื้อแต่รอดชีวิต และกำจัดไวรัสออกนอกร่างกาย

4. ติดเชื้อและรอดชีวิต แต่เป็นตัวเก็บกักโรคโดยไม่แสดงอาการ แต่มี KHV แฝงอยู่ และเมื่อมีสภาวะที่เหมาะสม จะถูกกระตุ้นและแพร่เชื้อออกมานอกไป (กลไกยังไม่ทราบแน่นชัด) โดยความเครียดมีผลตั้งกล่าวและมักทำให้เกิด secondary infection ตามมา

หลังจากปลาติดเชื้อไวรัสด้วยน้ำเข้าไปแล้ว เชื้อไวรัสจะทำลาย Epithelium cell ของ Koi โดยเฉพาะที่ผิวนังและเหงือก เป็นผลทำให้เมือกมาก ผิวแห้งทำให้เกิดการลอกหลุด และ cell ของเหงือกตาย มีการติดเชื้อรา ปรสิต และแบคทีเรียตามมา ปลาจะไม่กินอาหาร ไม่ค่อยหายใจ และตายอย่างช้าๆ

ยิ่งไปกว่านั้นคือ จะทำให้เกิดการติดเชื้อแทรกซ้อนได้โดยเฉพาะ Aeromonas sp. และแบคทีเรียตัวอื่นที่ก่อโรคกับปลา มีผู้เลี้ยงปลาจำนวนมากกล่าวว่า ปลาที่ติดเชื้อไวรัสด้วยน้ำ จะก่อให้เกิดความสูญเสียภายใน 10-14 วันหลังการติดเชื้อ แต่กราฟนั้นก็มีบ้างที่ไม่ได้เกิดความเสียหายขึ้นในช่วงเวลาดังกล่าว ซึ่ง

ปฏิบัติวิธาร่างกายของปลาภายนอกที่เราสังเกตได้คือ ลักษณะเป็นแผลใหม่ตามข้างลำตัว มีการหลังเมือกออกอย่างมาก และปลาจะมีอาการแย่ลงเมื่อเหงือกของมันถูกทำลาย

อาการของปลาที่ติดเชื้อที่พอสังเกตได้ เช่น การว่ายน้ำ โดยที่หัวดิ่งลง ไม่กินอาหารและอ่อนแอ ตاجมพบรรอยโรคที่เหงือก มีเมือกเหนียวๆที่ผิวนัง รอยแผลมีสีดำในปลาป่วยระยะสุดท้าย มีความเจ็บปวดตามร่างกาย และมีบ้างที่พบว่า ที่เหงือกของปลาป่วยจะมีลักษณะเป็นแแวงรอบขา ซึ่งปกติเหงือกจะมีสีแดงแต่บางที่จะไม่พบรรอยโรคเหงือกของปลาป่วยเลยก็ได้อัตราการตาย 50-100 % (highly mortality) และเป็น permanent carrier fish พบว่า ปลาที่ป่วยเป็นโรคนี้ ลักษณะรอยโรคคล้ายๆกับโรคที่เกิดจาก Aeromonas sp. ซึ่งอัตราการเกิดโรคมีประมาณ 10-20 % แต่อัตราการตายเพียง 7-8 %

การระบาดของโรค

เมื่อปลาที่มีเชื้ออยู่อยู่บนและหรือได้รับบาดเจ็บ เชื้อจะแพร่ตัวและก่อโรคได้ถึงแม้จะอยู่ในสภาพแวดล้อมที่ดีตัวแทนจำหน่ายหรือผู้ค้าปลาที่มีความรู้ว่า การทำให้น้ำที่เลี้ยงปลา มีความอุ่นที่ 30 องศาเซลเซียสสามารถหยุดอาการของโรค และอาจจะทำให้ปลาหายป่วยได้ จากนั้นนำปลาเหล่านี้ไปขาย เมื่อมีคนอื่นซื้อไปเลี้ยง แม้มีความเข้าใจในโรค Koi Herpes Virus ก็อาจทำให้ปลาดังกล่าวเกิดโรคขึ้นได้อีก และจากที่อัตราการตายต่ำ อีกทั้งปลาหลายชนิดก็มีความทนต่อการติดเชื้อ แต่เมื่อนำไปเลี้ยงรวมกันกับปลาหลายชนิด ก็จะเป็นสาเหตุให้ปลาที่ไม่ทนต่อเชื้อ เกิดโรคขึ้นได้ นอกจากนี้ ภาวะความเครียดต่างๆ เช่น การขนส่ง การติดเชื้อปรสิต และคุณภาพน้ำไม่ดี จะมีบทบาทสำคัญที่จะช่วยเสริมให้เกิดโรคได้ง่ายขึ้น

การวินิจฉัยโรค

การวินิจฉัยโรค มีหลายวิธี ได้แก่

- วิธี Polymerase Chain Reaction (PCR) โดยการเพิ่มปริมาณสารพันธุกรรมของไวรัส และตรวจจับ

ด้วยสารพันธุกรรมที่จำเพาะกับเชื้อไวรัสที่เป็นสาเหตุ ควรส่งตัวอย่างปลามาตรวจอย่างน้อย 3 ตัว เพื่อให้ได้ ผลการตรวจสอบที่น่าเชื่อถือ และเพื่อป้องกันไม่ให้ผล การตรวจสอบบิดพลาดได้ ตัวอย่างที่ส่งตรวจควรจะ ออยู่ในน้ำสะอาด มีออกซิเจนเพียงพอ แม้ว่าผลที่ออก มาจะสรุปว่า เกิดจากเชื้อไวรัส แต่ก็ยังไม่อาจยืนยัน ได้ว่า KHV เป็นตัวการที่ทำให้เกิดโรคเสมอไป

- วิธีเฉพาะแยกเชื้อไวรัส (Virus Isolation) ใน Koi Fin (KF 1 cells) ที่อุณหภูมิ 20 องศาเซลเซียส

- วิธีอิมมูโนเอนไซต์โคลเมอริกซ์ (Immunohistochemistry) ใช้แอนติบอดีที่จำเพาะต่อเชื้อไวรัส ในการตรวจหาเชื้อไวรัสที่เป็นสาเหตุในเนื้อเยื่ออของปลา

- วิธีอินไซต์ไฮบริดไซซ์ (In Situ Hybridization) โดยใช้สารพันธุกรรมที่จำเพาะกับเชื้อไวรัส เช้าไปเกาะกับสารพันธุกรรมของเชื้อไวรัสในเนื้อเยื่อ ของปลา

การรักษาและควบคุมโรค

ไม่มีทางรักษาโรคนี้ได้โดยตรงเนื่องจากเป็นเชื้อ ไวรัส มีเพียงการรักษาภาวะแทรกซ้อนต่างๆ ที่อาจจะ เกิดขึ้น เช่น การติดเชื้อแบคทีเรีย เชื้อรา และเชื้อปรสิต ยาดังกล่าวได้แก่

- คลอรามีนที (Chloramin T) หรืออาจจะใช้ ด่างทับทิม (KMnO₄) ในการรักษาการติดเชื้อ แบคทีเรียที่เหงือก ในอัตรา 2 พีพีเอ็ม (ส่วนในล้าน ส่วน) หากใช้เกินขนาด จะกลایเป็นพิษต่อปลา เพื่อ ควบคุมเชื้อราและปรสิต มีรายงานว่า คลอรามีนที และ KMnO₄ จะช่วยลดจำนวนของเชื้อไวรัสที่มีอยู่ในน้ำบาง

- ยาปฏิชีวนะ สำหรับรักษาการติดเชื้อ แบคทีเรียภายใน



การนำเสนอผลงานภาคบรรยาย (18/10/2550)

14.45–15.00 u.

1. A preliminary study on digestion of individual fatty acids
in growing-finishing pigs fed diets containing either beef tallow or sunflower oil
J. Mitchaothai C. Yuangklang S. Wittayakun K. Vasupen,
S. Wongsuthavas P. Srenanul R. Hovenier and A. C. Beynen

15.00–15.15 u.

2. Review Study of the Comparison on Response of Estrus Induction in Dairy Cows by Intramuscular,
Intraischiorectal fossa and Intravulvosubmucosa Injection of Prostaglandin F2
Jatuporn Kajaysri

15.15–15.30 u.

3. Sex Identification of Some Psittacine Birds by Polymerase Chain Reaction
Chanathip Thammakarn Apichart Punchukrang Kanya Jirajaroenrat and Kanokrat Srikiikasemwat

15.30–15.45 u.

4. Effect of Reduced FSH Dose on Superovulatory Response and Embryo Yield in Brahman Cows :
A Case Study
ณรงค์ เลี้ยงเจริญ อนันท์ เทืองสันเทียะ กีรติ อิจฉ้า บันลือ กล้ำழ พีระพงษ์ สำราญทรัพย์
สุรศิทธิ์ ดวงสอนยา จุรีย์รัตน์ สำเร็จประสงค์ และ มาลี อภิเมธีอ่อง

15.45–16.00 u.

5. Investigation of Relationship and Agreement between Serum P4 Concentration and Estrous Signs
in Thai Swamp Buffalo (*Bubalus bubalis*): A Preliminary Study
T. Chaikhun J. Suwimontheerabut C. Usawareruk J. Ratanadhep and M. Techakumphu

16.00 – 16.15 u.

6. การพัฒนาอุปกรณ์ฉีดยาสัตว์ระยะไกล Development of veterinary injector ; Vet remote injection equipment
เฉลิมพงศ์ จิรพุฒิคิริ และ สมพัสต์ พนสุข

การศึกษาเบื้องต้นของการย่อยได้ของกรดไขมัน ในสุกรรุ่น-ขุนที่ได้รับอาหารผสมไขว้หรือน้ำมันกานตะวัน

จำลอง มิตรชาวยไทย^{1,*} เวลิมพล เยี้ยงกลาง² สุนทร วิทยาคุณ² ไกรสิงห์ วสุพิญ²
ศศิพันธ์ วงศ์สุกราวาส² ไพรว้อย ศรีนาวนล² โรเบิร์ต ไฮวีเนียร์³
และ แอนตอน ชี ไบเบิน³

¹Department of Clinic for Swine, Faculty of Veterinary Medicine, Mahanakorn University of Technology,
Nong Chok, Bangkok 10530, Thailand

²Faculty of Natural Resources, Rajamangala University of Technology Isan, Phangkhon,
Sakon Nakhon 47160, Thailand

³Department of Nutrition, Faculty of Veterinary Medicine, Utrecht University, Utrecht, The Netherlands

บทคัดย่อ

การศึกษาครั้งนี้ใช้สุกรจำนวน 4 ตัว เพื่อศึกษาเบรี่ยบเที่ยบผลของไขมันที่มาจากการสัตว์ (ไขว้) กับ ไขมันที่มาจากพืช (น้ำมันกานตะวัน) ต่อความสามารถในการย่อยได้ของไขมันรวม และกรดไขมันแต่ละตัว สุกรทั้ง 4 ตัวถูกจัดเข้ากลุ่มทดลองได้เป็น 2 กลุ่มทดลอง ตามแผนการทดลองแบบ 2×2 จตุรัสสัลติน โดยมีสุกรจำนวน 2 ตัวต่อกลุ่มทดลอง และใช้เวลา 5 อาทิตย์ต่อช่วงเวลาทดลอง สุกรทั้งหมดเลี้ยงในกรงเมทตาโบลิซึมแบบรายตัว และได้รับอาหารทดลองแบบเต็มที่ ทำการจดบันทึกปริมาณอาหารที่ให้และที่เหลือตลอดงานทดลอง อาทิตย์ที่ 5 และ 10 หลังจากเริ่มทดลองทำการเก็บตัวอย่างมูลสุกรแบบเก็บทั้งหมดตลอดทั้งวันเป็นเวลา 7 วันติดต่อกัน จากนั้นนำตัวอย่างอาหารและมูลไปหาปริมาณองค์ประกอบของไขมันรวม และกรดไขมัน ผลการทดลองครั้งนี้พบว่าอาหารทดลองที่ใช้มีผลต่อความสามารถการย่อยได้ของไขมันรวม, กรดปาล์มมิติก, กรดสเตียริก, กรดโอลีอิก และ กรดไขมันไม่อิมตัวเชิงช้อน แต่สุกรที่ได้รับอาหารสูตรที่เสริมด้วยน้ำมันกานตะวันมีความสามารถในการย่อยได้ของกรดลิโนเลอิก, กรดอัลฟ้าลิโนเลนิก และกรดไขมันไม่อิมตัวเชิงเดี่ยว สูงกว่าสุกรที่รับอาหารที่เสริมด้วยไขว้ ซึ่งทั้งกรดลิโนเลอิกและกรดอัลฟ้าลิโนเลนิกเป็นกรดไขมันที่จำเป็นสำหรับสุกร ด้วยเหตุนี้สุกรจึงได้รับประโยชน์สูงกว่าจากการเสริมด้วยน้ำมันกานตะวันในอาหาร ดังนั้นในการทดลองครั้งนี้แสดงให้เห็นว่าการให้อาหารที่เสริมด้วยน้ำมันกานตะวันแก่สุกร ทำให้สุกรสามารถย่อยกรดไขมันที่จำเป็นได้มากกว่า และได้รับพลังงานเมทตาโบไลท์มากกว่า

A preliminary study on digestion of individual fatty acids in growing-finishing pigs fed diets containing either beef tallow or sunflower oil

J. Mitchaothai^{1, 3 *}, C. Yuangklang², S. Wittayakun², K. Vasupen²,
S. Wongsuthavas², P. Srenanul², R. Hovenier³ and A. C. Beynen³

¹Department of Clinic for Swine, Faculty of Veterinary Medicine, Mahanakorn University of Technology,
Nong Chok, Bangkok 10530, Thailand

²Faculty of Natural Resources, Rajamangala University of Technology Isan, Phangkhon,
Sakon Nakhon 47160, Thailand

³Department of Nutrition, Faculty of Veterinary Medicine, Utrecht University, Utrecht, The Netherlands

Abstract

Four castrated, male pigs (Landrace X Large White X Duroc) were used in the current study to determine the effect of an animal fat (beef tallow; BT) and a vegetable oil (sunflower oil; SO) source on the digestibility of fat and individual fatty acids. The pigs were allotted to one of two experimental diets (BT or SO diet) according to a 2 X 2 Latin Square Design with 2 replications per treatment and 5 weeks for each period. The pigs were kept in individual metabolism cages and were fed ad libitum. The amount of feed supplied and feed refusals, if any, were recorded twice a day. At 5 and 10 weeks after the start of the experiment, the faeces of all individual pigs were collected for 24 hours on 7 consecutive days. The dietary and faecal samples were analyzed for crude fat and fatty acid composition. In this study, there was no effect of dietary treatment on the digestibility of crude fat, palmitic acid, stearic acid, oleic acid and PUFA. However, the pigs fed the sunflower oil diet had a higher digestibility of the essential fatty acids linoleic acid, α -linolenic acid and MUFA ($p<0.05$). As a result, pigs fed the sunflower diet obtained more essential fatty acids and more metabolizable energy from their diets when compared to pigs fed the beef tallow diet.

Key Words : Fatty acids, Digestibility, Sunflower oil, Beef tallow, Pigs

*Corresponding author

Jamlong Mitchaothai, Faculty of Veterinary Medicine, Mahanakon University of Technology, Nong Chok, Bangkok, 10530, Thailand, Tel. +66-(0)2-988-3655 ext. 246, 247 Fax. +66-(0)2-988-4040, E-mail address : jmitchaothai@yahoo.com

INTRODUCTION

The fat source (animal or vegetable origin) in the diet of pigs can affect the utilization of fat and fatty acids. It is known that supplementation of fat from a vegetable source in pig diets results in a higher fat digestibility than supplementation from an animal source (Cera et al., 1989; Li et al., 1990). As a consequence, the pigs fed vegetable oil could benefit from a higher availability of fat and fatty acids. Although there were many studies on the digestibility of fat in pigs fed different kinds of fat or oil, the effect of sunflower oil supplementation (rich in linoleic acid, C18:2, n-6) in on the fat and fatty acid digestibility is not well established in pigs. Hence, the current preliminary study was designed to yield information on the utilization of fat and fatty acids of pigs fed diets supplemented with sunflower oil. The authors hypothesized that the digestibility of the dietary fat and polyunsaturated

fatty acids would be higher in the pigs fed the diet containing sunflower oil.

MATERIALS AND METHODS

Animal, experimental diets and design

Four castrated-male pigs (crossbred : Landrace Large White Duroc), with an average BW of 24.6 kg, were allotted to one of two groups of 2 pigs on the basis of their body weight. The four pigs were housed individually in metabolism cages. The experiment was conducted according to a 2 x 2 Latin square design with 5 weeks for each period. The pigs were fed ad libitum with one of the two experimental diets (beef tallow ; BT or sunflower oil ; SO) and had free access to drinking water throughout the experiment. The ingredients and macronutrient composition of the diets are shown in Table 1.

Table 1. Ingredient and analyzed composition of the diets on as-fed basis

	Beef tallow diet	Sunflower oil diet
Raw materials (%)		
Cassava chips	45.53	45.53
Soybean meal (44% CP)	34.00	34.00
Extruded soy beans	7.00	7.00
Beef tallow	5.00	-
Sunflower oil	-	5.00
Molasses	4.00	4.00
Calcium carbonate	1.00	1.00
Di-calcium phosphate	2.70	2.70
NaCl	0.35	0.35
DL-Methionine	0.17	0.17
Premix*	0.25	0.25
Analysed macronutrients (%)		
Dry matter	86.5	86.3
Crude protein	19.3	19.2
Crude fat	6.8	6.7
Dietary fiber	4.7	4.9
Ash	7.7	8.2

*1 kg of vitamin and mineral premix contained: 325,000 IU vitamin A; 75,000 IU vitamin D3; 75 IU vitamin E; 1 mg vitamin B12; 80 mg vitamin K3; 300 mg riboflavin; 1,200 mg niacinamide; 540 mg pantothenic acid; 6,000 mg choline chloride; 4,700 mg Fe; 6,500 mg Zn; 4,500 mg Mn; 20 mg Co; 1,400 mg Cu and 45 mg I.

Sample collection and analysis

Amounts of feed offered were recorded and was any feed remains were weighed. At 5 and 10 weeks after the start of the experiment and after the adaptation period, faeces of all individual pigs were quantitatively collected for 24 hours a day on 7 consecutive days. The bags were weighed and kept at -20°C until analysis. Feed and faecal samples were collected for chemical analyses (AOAC, 1990).

The dried samples of diets and faeces were extracted as described previously (Horwitz, 1975). Each sample was added to a flask and 2 ml of ethanol was added. Subsequently, 10 ml of HCl (8 mol/L) was added; the content was gently mixed, and the flask was placed in a water-bath of 80°C for 30–40 min. The tubes were cooled down, 10 ml of ethanol (96%, w/w) and 25 ml of petroleum ether (boiling point between 40 and 60°C) were added and the tube was shaken for one min. The fat-containing upper layer was decanted into a 150-ml round-bottom flask. The extraction procedure was repeated twice with 15 ml of diethyl ether and 15 ml of petroleum ether and the lipid extract was evaporated to dryness under N₂ in a water-bath of 40°C. The round-bottom flasks with the lipids were dried overnight at 60°C and the total lipids were measured gravimetrically. Total lipids, the small samples of adipose tissue and the dripping oil were saponified and methylated according to the procedure of Metcalfe et al. (1966) followed by gas chromatography for determination of fatty acid composition (Javadi et al., 2004).

Statistical analysis

The effect of dietary treatments on fat and fatty acid digestibility statistically analyzed using analysis of variance (ANOVA) assuming a linear model (SAS, 1996). Differences between treatments were considered to be significant at $p < 0.05$.

RESULTS AND DISCUSSION

In the present study, beef tallow and sunflower oil were equally added into the experimental diets. Consequently, the fatty acid composition of each diet depended on the fatty acid pattern of supplemented fat or oil. Beef tallow mainly consists of saturated fatty acids (SFA, 53% of total fat), while sunflower oil mainly contains polyunsaturated fatty acids (PUFA, 51% of total fat).

The digestibilities of crude fat for the BT and SO diets are approximately 75% and 79%, respectively (Table 3). The absence of any significant effects of treatments could be due to the high variation in the obtained data. When the digestibilities of individual fatty acids are compared between both treatments, there was no difference in the digestibility of palmitic acid (C16:0), stearic acid (C18:0) and oleic acid (C18:1 n-9) acid, whereas the digestibility of linoleic acid (C18:2 n-6) and α-linolenic acid (C18:3 n-3) was higher for pigs fed the sunflower oil diet (Table 3). The negative digestibility of stearic acid on the SO diet could be the result of the hydrogenation of undigested unsaturated fatty acids from the sunflower oil by microbes in the large intestine (JØrgensen et al., 2000). The higher digestibility of dietary

fat rich in linoleic acid, as opposed to fats rich in saturated fatty acids, is well known (Cera et al., 1989; Li et al., 1990). For poultry, fat digestibility was also increased, when the fat source in the feed contained more unsaturated fatty acids (Lessire and Leclercq, 1982). A higher formation of micelles with unsaturated instead of saturated fatty acids could be an explanation for this higher absorption (Stahly, 1984) and as a result, the higher fat digestibility in the pigs fed the diet with sunflower oil. Thus, diets containing unsaturated oils

will generally provide pigs with more essential fatty acids and relatively more metabolizable energy (ME) than diets containing similar amounts of animal fat sources. However, in this study, the digestibility for MUFA was higher ($p<0.05$) for the pigs fed the SO diet, but there was no dietary effect on the digestibility of PUFA. The absence a significant effect on the digestibility of PUFA might be due to the low number of pigs in the current study. Therefore, a greater number of pigs should be included in any further research.

Table 2. Selected fatty acid composition of the experimental diets

	Beef tallow diet	Sunflower oil diet
Fatty acid, g methylester/100 g methylesters		
C 16:0 (Palmitic acid)	19.23	9.26
C 18:0 (Stearic acid)	29.48	4.34
C 18:1 n-9 (Oleic acid)	21.91	31.52
C 18:2 n-6 (Linoleic acid)	11.65	49.07
C 18:3 n-3 (α -linolenic acid)	1.63	1.42
Unidentified fatty acids	4.75	0.57
Σ Saturated fatty acids (SFA)	52.92	15.27
Σ Monounsaturated fatty acids (MUFA)	28.49	33.60
Σ Polyunsaturated fatty acids (PUFA)	13.65	50.54
Σ SFA = C8:0 + C10:0 + C14:0 + C15:0 + C16:0 + C18:0 + C20:0 + C22:0 + C24:0		
Σ MUFA = C14:1 + C15:1 + C16:1 + C17:1 + C18:1 n-7 + C18:1 n-9 + C20:1 n-9 + C22:1 n-9		
Σ PUFA = C18:2 n-6 + C18:3 n-3 + C18:3 n-6 + C18:4 n-3 + C20:5 n-3		

In conclusion, pigs fed the SO diet had a similar digestibility of crude fat, palmitic acid, stearic acid and oleic acid, but a higher digestibility of the essential fatty acids linoleic acid and α -linolenic acid when compared to pigs fed the BT diets. Thus, pigs fed the SO diet obtained more essential fatty acids and more metabolized energy from their diets.

Table 3. Digestibility of crude fat and individual fatty acids

	Beef tallow diet	Sunflower oil diet	Pooled SE	p-value
Apparent faecal digestibility, % of intake				
Crude fat	74.59	78.96	6.50	0.4426
C 16:0 (Palmitic acid)	71.11	78.90	6.97	0.2547
C 18:0 (Stearic acid)	50.35	-31.39	27.40	0.0518
C 18:1 n-9 (Oleic acid)	92.37	94.81	1.53	0.1522
C 18:2 n-6 (Linoleic acid)	91.10a	94.93b	0.66	0.0147
C 18:3 n-3 (α -linolenic acid)	90.43a	95.28b	0.63	0.0083
Σ Saturated fatty acids (SFA)	72.10	63.24	3.25	0.0613
Σ Monounsaturated fatty acids (MUFA)	91.37a	98.07b	0.57	0.0037
Σ Polyunsaturated fatty acids (PUFA)	94.97	95.72	0.70	0.2699

Σ SFA = C8:0 + C10:0 + C14:0 + C15:0 + C16:0 + C18:0 + C20:0 + C22:0 + C24:0

Σ MUFA = C15:1 + C16:1 + C18:1 n-9

Σ PUFA = C18:2 n-6 + C18:3 n-3 + C20:1 n-9

ACKNOWLEDGEMENTS

The authors would like to thank the Faculty of Natural Resources, Rajamangala University of Technology for providing the facilities, the Faculty of Veterinary Medicine, Utrecht University for the laboratory analysis, and the Mahanakorn University of Technology for the financial support.



References

- AOAC. 1990. Association of official analysis chemists, Washington DC.
- Cera, K.R., D.C. Mahan, and G.A. Reinhart. 1989. Apparent fat digestibilities and performance responses of postweaning swine fed diets supplemented with coconut oil, corn oil or tallow. *Journal of Animal Science* 67:2040-2047.
- Horwitz, W. 1975. Official Methods of Analysis of Official Analytical Chemist, p. 225 Official Methods of Analysis of Official Analytical Chemist, 12 ed. Benjamin Franklin Station, DC.
- Javadi, M., H. Everts, R. Hovenier, S. Kocsis, A.E. Lankhorst, A.G. Lemmens, J.T. Schonewille, A.H. Terpstra, and A.C. Beynen. 2004. The effect of six different C18 fatty acids on body fat and energy metabolism in mice. *Br J Nutr* 92:391-9.
- JØrgensen, H., V.M. Gabert, M.S. Hedemann, and S.K. Jensen. 2000. Digestion of fat does not differ in growing pigs fed diets containing fish oil, rapeseed oil or coconut oil. *J Nutr* 130:852-7.
- Lessire, M., and B. Leclercq. 1982. Metabolisable energy value of fats in chicks and adult cockerels 7, 365-374. *Animal Feed Science and Technology* 7:365-374.
- Li, D.F., R.C. Thaler, J.L. Nelssen, D.L. Harmon, G.L. Allee, and T.L. Weeden. 1990. Effect of fat sources and combinations on starter pig performance, nutrient digestibility and intestinal morphology. *J Anim Sci* 68:3694-704.
- SAS. 1996. User's guide; Statistics Statistical analysis system inst., Cary, NC, USA.
- Stahly, T.S. 1984. Use of fats in diets for growing pigs. 1st ed. Anchor Bredon Ltd., Essex.

Review Study of the Comparison on Response of Estrus Induction in Dairy Cows by Intramuscular, Intraischiorectal fossa and Intravulvosubmucosa Injection of Prostaglandin F_{2α}

Jatuporn Kajaysri*

Department of Clinic for Obstetrics and Gynecology Andrology and Artificial Insemination of Domestic animals,
Faculty of Veterinary medicine, Mahanakorn University of Technology, Nong-Chock, Bangkok 10530
Tel. 0 2988 3655 ext. 247, 107, Fax. 0 2988 4040, *Corresponding person; e-mail: paully95@hotmail.com

Abstract

The experiments were carried out in sixty crossbred Holstein Fresian of postpartum cycling dairy cows with Corpus luteum on the one side of ovary. The animals were divided in to three groups of twenty cows. Every cow in the first group was induced estrus with prostaglandin F_{2α} (PGF_{2α}) analogue (Cloprostenol) by intramuscular (IM) injection with 500 µg (2 ml/cow, full dose) Cloprostenol. In the second group every cow was induced estrus by injecting into intraischiorectal fossa (IRF) with 300 µg (1.2 ml/cow, 60% of full dose) Cloprostenol. And every cow in the third group was injected intravulvosubmucosal (IVSM) on the same side of finding persistent Corpus luteum in the ovary with 125 µg (0.5 ml/cow, 25% of full dose) Cloprostenol. The signs of estrus were detected in all of 60 cows on day 3 after PGF_{2α} injection. Every cow presented the sign of estrus with uterine contraction when cows were palpated by rectal palpation. The concentration of serum progesterone (P₄) levels and Estradiol (E₂) levels from each individual cows in all groups were lower than 0.1 ng/ml and above 7.17 pg/ml respectively. The mean and standard deviation values of Estradiol (E₂) levels from 20 cows of group 1, 2 and 3 after PGF_{2α} injection were 27.35±8.09 pg/ml, 26.15±9.07 pg/ml and 27.40±6.61 pg/ml respectively. The mean?SD of serum E2 levels from all groups were not significantly different ($p > 0.05$). The confirmation of successful estrus synchronization after PGF_{2α} treatment with 3 above methods were done by Artificial Insemination (AI). The results showed that the pregnant cows in group 1, 2 and 3 were 75% (15/20 cows), 75% (15/20 cows) and 45% (9/20 cows) respectively. The data from this study indicates that the dose reduction at 40% of the PGF_{2α} full dose, injected via IRF and 75% of the full dose injected via IVSM produced similar estrus induction effectiveness comparable to that of IM full dose.

Keyword : Prostaglandin, Intramuscular, Intraischiorectal fossa, Intravulvosubmucosal, Dairy cow

Introduction

Anestrus cows has been known as the major problems in dairy production industry. Especially in case of anestrus postpartum cows are they prolong day open and calving interval that can cause economic loss (Mwaagna and Janowski, 2000). In Thailand Prostaglandin F_{2α} (PGF_{2α}) and its analogues have been used to produce luteolytic effects of Corpus luteum especially in luteal phase of bovine estrus cycle. PGF_{2α} can regress Corpus luteum and manipulate estrus in through its action by a decrease progesterone hormone and increase estrogen hormone in the blood (De Rensis and Peters, 1999). Several products of PGF_{2α} have been used in Thailand normally for inducing estrus with single dose > 25 mg/cow or double doses 15 and 10 mg/cow (24 hours interval period of injection) (Atthapinit et al., 2001) or with usually single dose of PGF_{2α} analogue (Cloprostenol) 500 µg/cow, 2 ml (Virakul et al., 2001). Because of the cost of PGF_{2α} is considerably expensive and for the highest benefit of farmer to be worthwhile using PGF_{2α}, clinicians and scientists try to reduce effective dose of PGF_{2α} to the minimum. Some studies in Thailand reported that the decreasing dose of PGF_{2α} has been administrated in dairy cows to intravulvosubmucosal (IVSM) or intrauterine (IU) at 25% of full dose (Wenkoff, 1984, Virakul et al., 2001) and intraischiorectal fossa (IRF) at 60% of full dose (Punyapornwithaya et al., 2005). Those results were presented that the dose of PGF_{2α} can be reduced when administrated by IVSM, IU and IRF methods. However, it is quite difficult to use IU methods as administration route in dairy cows in the field when compared to IVSM and IRF methods, but IRF method must use dose of PGF_{2α} higher than

decreasing dose of PGF_{2α} by IVSM administration methods.

The primary objective of this study is to compare the efficiency of decreasing dose of prostaglandin in between intraischiorectal fossa (IRF) and intravulvosubmucosal (IVSM) to intramuscular (IM) methods base on estrus response and concentration of serum estrogen hormone (Estradiol, E2) levels during estrus period of crossbred Holstein Friesian dairy cows under field condition in Thailand.

Materials and Methods

Experimental animals

Sixty crossbred Holstein Fresian of postpartum cycling dairy cows varying in ages between 3-10 years old from three farms in Chonburi and Ratchaburi provinces were studied. These farms were similar in general and reproductive management. All of experimental cows with body condition score 2.5-3.5 (5-scales; Edmonson et al., 1989) were chosen to examine by rectal palpation by one fixed veterinarian. The cows were housed in individual stall barns and could be free in grazing field near their barns area. This study was conducted during November 2004 to February 2005.

Estrus induction

All sixty postpartum cycling cows with Corpus luteum on ovary without other abnormality of reproductive tract to find out by rectal palpation were divided in 3 groups (each 20 cows/group) and induced estrus with prostaglandin F_{2α} (PGF_{2α}) analogue. First control group was injected intramuscular (IM) with 500 µg (2 ml/cow, full dose) Cloprostenol. Second experimental group

was injected intraischiorectal fossa (IRF) with 300 µg (1.2 ml/cow, 60% of full dose) Cloprostenol. Third experimental group was injected intravulvosubmucosal (IVSM) on the same side of finding persistent Corpus luteum in the ovary with 125 µg (0.5 ml/cow, 25% of full dose) Cloprostenol.

Estrus detection

Estrus detection was done on day 3 after PGF_{2α} injection in all groups of cows by visual observation of signs by the fixed veterinarian. The signs of estrus were detected by the presence of standing heat, mounting and riding other cows, vaginal mucous or uterine contraction when cows were palpated by rectal palpation.

Serum progesterone and estrogen hormonal assay

The experiment was designed to measure serum progesterone (P₄) and estrogen hormone (Estradiol, E₂) on day 3 after PGF_{2α} injection to find out the estrus cows by comparing the levels of hormones in Secondly experimental group and thirdly experimental group with Firstly control group. 20 ml of blood samples were collected by jugular vein puncture from each cow. The blood samples were allowed to clot overnight in a refrigerator. The serum was separated by centrifugation at 3,000 rpm for 15 minutes. Each serum sample was pipetted, collected and stored at -20°C until E₂ Microparticle Enzyme Immunoassay (MEIA) as previously described of Central Laboratory co., Ltd., Maung district Nonthaburi province.

Artificial Insemination and Pregnancy detection

Artificial Insemination was done with all of estrus cow in 3 groups at the time of estrus after

PGF_{2α} injection by the same skillful veterinarian throughout the experiment. The frozen semen (0.25 ml/dose) of Holstein Fresian used in AI was single dose/estrus cow which prepared from Lamphayaklang AI Bull Center, Department of Livestock Development at Lopburi provinces. Pregnancy detection was preformed with the same skillful veterinarian by rectal palpation method on day 60 after AI.

Statistical analysis

Estrus response of each group was defined: % of estrous cows that the cows showed signs or symptoms of estrus, serum progesterone (P₄) levels < 0.1 ng/ml (Virakul et al., 2001) and serum estrogen hormone (Estradiol, E₂) levels ≥ 7.17 pg/ml when the cows were in estrus (Pavasuthipaisit et al., 1986). All values of Estradiol level from each individual cows in the same group were expressed as the mean and standard deviation. Statistical analysis were performed with Statistical package for the social sciences (SPSS) program version 11 by one way ANOVA method.

Results

The signs of estrus were detected in all of 60 cows on day 3 after PGF_{2α} injection. Every cow presented the sign of estrus with uterine contraction when cows were palpated by rectal palpation. The least of estrus cows showed the sign of mounting and riding other cows after PGF_{2α} injection. The sign of estrus response were expressed in table 1.

Table 1 The sign of estrus response of all estrus cows in 3 groups after PGF_{2α} injection at IM, IRF and IVSM

Parameter	Value (no./total) of estrus cows after PGF _{2α} injection at IM	Value (no./total) estrus cows after PGF _{2α} injection at IRF	Value (no./total) estrus cows after PGF _{2α} injection at IVSM
-Percentage cows showed the sign of standing heat	25% (5/20)	45% (9/20)	15% (3/20)
-Percentage cows showed the sign of mounting and riding other cows	15% (3/20)	10% (2/20)	20% (4/20)
-Percentage cows showed the sign of vaginal mucous	40% (8/20)	45% (9/20)	50% (10/20)
-Percentage cows showed the sign of uterine contraction	100% (20/20)	100% (20/20)	100% (20/20)

The concentration of serum progesterone (P_4) levels and serum Estradiol (E_2) levels from each individual cows in all of 3 groups < 0.1 ng/ml and > 7.17 pg/ml respectively. The mean and standard deviation values of Estradiol (E_2) levels from 20 cows of group 1 after PGF_{2α} injection at IM, from 20 cows of group 2 after PGF_{2α} injection at IRF and from 20 cows of group 3 after PGF_{2α} injection at IVSM were 27.35 ± 8.09 pg/ml, 26.15 ± 9.07 pg/ml and 27.40 ± 6.61 pg/ml respectively. The mean \pm SD of serum E_2 levels from all of 3 groups were not significant different ($p > 0.05$) and expressed in table 2.

Table 2 The mean \pm SD of serum E_2 levels from all cows of each group on day 3 after PGF_{2α} injection.

Group no.	Parameter	Value (pg/ml)
1	Mean \pm SD of serum E_2 levels from 20 cows after PGF _{2α} injection at IM	$27.35 \pm 8.09^*$
2	Mean \pm SD of serum E_2 levels from 20 cows after PGF _{2α} injection at IRF	$26.15 \pm 9.07^*$
3	Mean \pm SD of serum E_2 levels from 20 cows after PGF _{2α} injection at IVSM	$27.40 \pm 6.61^*$

* No differential significant ($p > 0.05$)

The result of pregnancy detection from all cows of 3 groups by rectal palpation method showed in table 3. The number of pregnant cows from the first and the second group were similar but the least number of pregnant cows was found from the third group.

Table 3 The result of pregnancy detection from all cows of 3 groups by rectal palpation method on day 60 after AI.

Group no.	Parameter	Value (no./total)
1	Percentage of pregnant cows	75% (15/20)
2	Percentage of pregnant cows	75% (15/20)
3	Percentage of pregnant cows	45% (9/20)

Discussion

The results from this study showed that use of PGF_{2α} injection with full dose at IM or reduce dose at IRF or IVSM, can synchronize estrus in dairy cows and improve estrus cow by the sign of estrus detection and the concentration of serum progesterone (P₄) levels and serum Estradiol (E₂) levels. From this experiment showed the sign of estrus with uterine contraction when cows were palpated by rectal palpation in all of 60 cows after PGF_{2α} treatment. But the estrus sign of mounting and riding other cows was found in the least number (9 cows) of estrus cows. It was observed that the sign of estrus was difference in each cow. Because it depended on the individual cow, estrus detection (Pursley et al., 1997) and the stage of follicular growth in ovary at the time of luteal regression (De Rensis and Peters, 1999). For the concentration of serum progesterone (P₄) levels < 0.1 ng/ml and Estradiol (E₂) levels > 7.17 pg/ml were found in all of 60 cows that express all 60 cows were in estrus period (Virakul et al. 2001, Pavasuthipaisit et al., 1986). The mean±SD of serum E₂ levels from 20 cows in group 2 on day 3 after PGF_{2α} injection at IRF with the mean±SD of serum E2 levels from 20 cows in group 3 on day 3 after PGF_{2α} injection at IVSM were similarly ($p > 0.05$) and this both groups had the mean±SD

of serum E₂ levels not significant difference from the mean±SD of serum E₂ levels from 20 cows in group 1 on day 3 after PGF_{2α} injection at IM ($p > 0.05$). The confirming of successfully estrus synchronization after PGF_{2α} treatment at IRF and IVSM with IM were pregnancy detection of cow after AI by rectal palpation. They were found, had the pregnant cows in all of 3 groups about on day 60 after estrus synchronization and AI. Although in the third group was found percentage of pregnant cows less than the first and the second groups. Because the conception rate of estrus cow after synchronization might be also depending on many other factors.

Then in this study presented that the using of reduced dose PGF_{2α} by injection at IRF or IVSM with IM to synchronize estrus cows were more similarly efficiency. It was similar to the previous report of Atthapinit et al. (2001), Colazo et al. (2002a), Colazo et al. (2002b), Horta et al. (1986), Punyapornwithaya et al. (2005) or Virakul et al. (2001).

The success of estrus synchronization by reduced dose PGF_{2α} injection at IRF was discussed by Colazo et al. (2002a). The PGF_{2α} was deposit in fat tissue of subcutaneous when it was injected into IRF. Its distribution from injection area to blood flow was prolonging. The large number of PGF_{2α}

signals and more effectively CL luteolysis were done from this mechanism. For Atthapinit et al. (2001) discussed the success of estrus synchronization by reduced dose PGF_{2α} injection at IVSM. The PGF_{2α} would be deposit in fat tissue of vulva-submucosa and absorpted to utero-ovarian vein for effectively CL luteolysis on ovary in the same side of injection area.

Conclusion

We can conclude, based on economic benefit, from this study that the using of reduced

40% PGF_{2α} from full dose injection at IRF and 75% PGF_{2α} from full dose injection at IVSM will produce full effective route for estrus synchronization in dairy cows.

Acknowledgements

The finance was supported by Mahanakorn University of technology. The Authors thank to Dr.Samphan Singhajan and Asst. Prof. Dr.Udom Tipayamontri for their beneficial advices in this study, Dr.Apiradee Intarapuk for statistic analysis.



References

- Atthapinit, P., Ratanadheb, C. and Krasairsintukomol, V. 2001. Intravulva technique for prostaglandin F_{2α} synchronization in beef cows. *Artif. Insem Bulletin.* 11 (2): 18-25.
- Colazo, M.G., Martinez, M.F., Kastelic, J.P., Mapleton, R.J. and Carruthers, T.D. 2002a. The ischiorectal fossa : an alternate route for the administration of prostaglandin in cattle. *Can. Vet. J.* 43 (7): 535-541.
- Colazo, M.G., Martinez, M.F., Kastelic, J.P. and Mapleton, R.J. 2002b. Effects of dose and route of administration of cloprostenol on luteolysis, estrus and ovulation in beef heifers. *Anim. Reprod. Sci.* 72: 47-62.
- De Rensis, F and Peters, A.R. 1999. The control of follicular dynamics by PGF_{2α}, GnRH, hCG and oestrus synchronization in cattle. *Reprod. Dom. Anim.* 34: 49-59.
- Edmonson, A.J., Lean, I.J., Weaver, L.D., Faver, T., and Webster, G. 1989. A body condition scoring chart of Holstein dairy cows. *J. Dairy Sci.* 72: 68-78.
- Horta, A.E.M., Costa, C.M.S.G., Robalo, S.J. and Rios, V.M.L. 1986. Possibility of reducing the luteolytic dose of Cloprostenol in cycling dairy cows. *Theriogenology* 25: 291-301.
- Mwaagna, E.S. and Janowski, T. 2000. Anoestrus in dairy cows: Causes, prevalence and clinical forms. *Reprod. Dom. Anim.* 35: 193-200.
- Pavasuthipaisit, K., Boabucha, W., Trivitayaratn, C., Punprapa, M. and Kijksuksa, S. 1986. Optimal period for artificial insemination in cows by measurement of reproductive hormones. *Thai. J. Vet. Med.* 16 (1): 17-30.
- Punyapornwithaya, V., Pintana, P., Chokeboonmongkol, C., Rangabpit, E. and Teepratimakorn, S. 2005. Characteristics of estrus response in dairy cows induced by a reduced dose of prostaglandin injecting at ischiorectal fossa. *KKU. Vet. J.* 15 (1): 79-85.
- Pursley, J.R., Michael, R.K. and Milo, C.W. 1997. Reproductive management of lactating dairy cows using synchronization of ovulation. *J. Dairy Sci.* 80: 301-306.
- Virakul, P., Butchareon, S. and Suwimolteerabutr, J. 2001. Induction of estrus in postpartum dairy cows using a lowered dose of PGF_{2α} administered by intrauterine and intravalvovsubmucosa injections. Present at: 27th Annual Conference of the TVMA. 24-26 October 2001. Bangkok.
- Wenkoff, M. 1984. Estrus synchronization in cattle. *Current veterinary therapy 3: Food animal practice.* Howard, L.J. (ed). W.B. Saunders Co., Philadelphia. P. 158.

การศึกษาทบทวน เพื่อเปรียบเทียบการตอบสนองต่อการใช้ออร์โรมน พรอสตาแกลนдин เหนี่ยวน้ำการเป็นสัดในแม่โคนม ด้วยวิธีการฉีด เข้ากล้ามเนื้อ การฉีดเข้าแองโคนหาง และการฉีดเข้าเยื่อเมือกปากช่องคลอด

จตุพร ใจเจริญ*

ภาควิชา คลินิกสำหรับสุนัข-ໄก-neutery 医学院วิทยา และการพยาบาลของสัตว์เลี้ยง

คณะสัตวแพทยศาสตร์ มหาวิทยาลัยเทคโนโลยีสุรนารี หนองจอก กรุงเทพฯ 10530

โทรศัพท์ 0 2988 3655 9 ต่อ 247, 107, โทรสาร 0 2988 4040 *พูบี้ยนพูรับผิดชอบ; e-mail: paully95@hotmail.com

บทคัดย่อ

แม่โคนมลูกผสมไฮลส์ไทน์ ฟรีเซียน หลังคลอดลูก มีวงรอบการเป็นสัดปกติ และมีคอร์ปัส สูเทียม ออยู่บนรังไข่ซึ่งได้ข้างหนึ่ง จำนวน 60 ตัว ถูกแบ่งออกเป็น 3 กลุ่ม กลุ่มละ 20 ตัว กลุ่มที่ 1 แม่โคทุกตัวถูกเหนี่ยวน้ำให้เป็นสัดด้วยการฉีดออร์โรมน พรอสตาแกลนдин ชนิดลังเคราะห์ (Cloprostenol) ขนาด 500 ไมโครกรัม (2 มล./แม่โค 1 ตัว) ของ Cloprostenol เข้ากล้ามเนื้อ กลุ่มที่ 2 แม่โคทุกตัวถูกเหนี่ยวน้ำให้เป็นสัดด้วยการฉีด Cloprostenol ขนาด 300 ไมโครกรัม (1.2 มล./แม่โค 1 ตัว) เข้าแองโคนหาง และกลุ่มที่ 3 แม่โคทุกตัวถูกเหนี่ยวน้ำให้เป็นสัดด้วยการฉีด Cloprostenol ขนาด 125 ไมโครกรัม (0.5 มล./แม่โค 1 ตัว) เข้าเยื่อเมือกปากช่องคลอด พบร่วม 3 วันหลังจากฉีด พรอสตาแกลนдин แม่โคทั้ง 60 ตัวแสดงอาการเป็นสัดโดยมีการบีบหดตัวและเกิดโหนของมดลูกเมื่อถูกคลำผ่านทางทวารหนักของแม่โค นอกจากนี้ยังพบว่าระดับความเข้มข้นของออร์โรมน โปรเจสเตอโรน และเอสตร้าไดออล ในชีรั่มของแม่โคทุกตัวอยู่ในระดับที่ต่ำกว่า 0.1 นาโนกรัม/มิลลิลิตร และสูงมากกว่า 7.17 พิโคกรัม/มิลลิลิตร ตามลำดับ โดยค่าเฉลี่ยระดับความเข้มข้นของ เอสตร้าไดออล ในชีรั่มของแม่โคในกลุ่มที่ 1, 2 และ 3 คือ 27.35 ± 8.09 พิโคกรัม/มิลลิลิตร, 26.15 ± 9.07 พิโคกรัม/มิลลิลิตร และ 27.40 ± 6.61 พิโคกรัม/มิลลิลิตร ตามลำดับ ซึ่งค่าเฉลี่ยดังกล่าวของทั้ง 3 กลุ่มไม่มีความแตกต่างกันอย่างมีนัยสำคัญ ($p > 0.05$) และเพื่อยืนยันว่าการให้ออร์โรมน พรอสตาแกลนдин แบบทั้ง 3 วิธีดังกล่าวซึ่งต้นสามารถเหนี่ยวน้ำให้แม่โคเป็นสัดได้จริง จึงทำการทดสอบเทียมแม่โคทั้ง 60 ตัวนี้ที่เป็นสัดหลังถูกเหนี่ยวน้ำ ผลปรากฏว่าในกลุ่มที่ 1, 2 และ 3 มีแม่โคตั้งท้อง 75% (15/20 ตัว), 75% (15/20 ตัว) และ 45% (9/20 ตัว) ตามลำดับ จากผลการศึกษาแสดงให้เห็นว่าการใช้ออร์โรมนพรอสตาแกลนдин ในขนาดที่ลดลง 40% ของขนาดเต็ม ฉีดเข้าตำแหน่งแองโคนหาง และในขนาดที่ลดลง 75% ของขนาดเต็ม ฉีดเข้าใต้เยื่อเมือกปากช่องคลอด มีประสิทธิภาพในการเหนี่ยวน้ำการเป็นสัดในแม่โคนม ไม่ต่างจากวิธีการฉีดเต็มขนาดเข้ากล้ามเนื้อ

คำสำคัญ : พรอสตาแกลนдин, เข้ากล้ามเนื้อ, เข้าแองโคนหาง, เข้าเยื่อเมือกปากช่องคลอด, โคนม

Sex Identification of Some Psittacine Birds by Polymerase Chain Reaction

Chanathip Thammakarn¹, Apichart Punchukrang²,
Kanya Jirajaroenrat¹, Kanokrat Srikiikasemwat¹

¹Department of Animal Production Technology, Faculty of Agricultural Technology,
King Mongkut's Institute of Technology Ladkrabang, Bangkok 10520, Thailand

²The Subproject Graduate Study and Research in Agricultural Biotechnology, Faculty of
Agricultural Technology, King Mongkut's Institute of Technology Ladkrabang, Bangkok 10520, Thailand

Corresponding author : ktchanat@kmitl.ac.th

Abstract

Blood samples from many Psittacine birds including Green-cheeked conure (*Pyrrhura molinae*), Sun conure (*Aratinga solstitialis*), Rosella (*Platycercus spp.*), Amazon parrot (*Amazona spp.*), Congo african gray parrot (*Psittacus erithacus erithacus*) and Blue – and – gold macaw (*Ara ararauna*) were collected for sex identification by PCR – based method. The design of the P2/NP/MP primers was based on differences in sequences between CHD1W and CHD1Z genes using 3'-terminal mismatch primer on point mutation of the female CHD1W gene. We tested this set of primers with DNA samples extracted from a variety of these birds. The PCR amplification using the P2/NP/MP primers showed clearly different patterns of the PCR products between male and female birds of Green-cheeked conure, Sun conure, Rosella, Amazon parrot. For Congo african gray parrot and Blue – and – gold macaw, only male birds were identified. Therefore the results for these two species need to be confirmed by further testing. The results clarify that the PCR method using the P2/NP/MP primers is suitable for sex identification of some Psittacine birds. This method may be applied for sexing of other Psittacine bird species in the future.

Keyword : Psittacine bird, Sex identification, Chromo-helicase-DNA binding protein (CHD) gene, Polymerase chain reaction (PCR)

ผลของการลดขนาดฮอร์โมนเอฟเฟอสเซชต่อการตอบสนอง

การกระตุ้นเพิ่มการตกไข่

และตัวอ่อนที่ได้ในโคพันธุ์บราhma : กรณีศึกษา

Effect of Reduced FSH Dose on Superovulatory

Response and Embryo Yield

in Brahman Cows : A Case Study

ณรงค์ เลี้ยงเจริญ¹ อนันต์ เทืองสันติเที่ยง¹ กีรติ วาจีบันลือ กล้าพู¹
พิระพงษ์ สำราญกรพย์¹ สุรัสกิริ ดวงสอนยา² จุรีย์รัตน์ สำเร็จประสงค์³
และ มาลี อกไแมรีธรรม¹

¹สำนักเทคโนโลยีเชิงการพัฒนาคุณภาพ กรมปศุสัตว์ อ.เมือง จ.ปทุมธานี 12000

²สำนักงานปศุสัตว์จังหวัดมหาสารคาม จ.มหาสารคาม

³คณะสัตวแพทยศาสตร์ มหาวิทยาลัยเชียงใหม่ 50100

บทคัดย่อ

จากการดำเนินงานย้ายฝากตัวอ่อนในโคพันธุ์บราhma ในระยะเริ่มแรก การกระตุ้นเพิ่มการตกไข่ได้ใช้ฮอร์โมนเอฟเฟอสเซชนาดตามน้ำหนักตัวที่แนะนำไว้บนฉลาก พบร่วมตัวอ่อนคุณภาพดีที่เก็บได้มีจำนวนน้อย แต่มีไข่ที่ไม่ได้รับการผสมเป็นจำนวนมาก ดังนั้นจึงทดลองใช้ขนาดฮอร์โมนเอฟเฟอสเซชที่ลดลงเพื่อกระตุ้นเพิ่มการตกไข่ ในช่วงปี 2548-2550 ได้ทำการกระตุ้นเพิ่มการตกไข่ในโคพันธุ์บราhma จำนวน 34 ตัว โดยเป็นพันธุ์บราhmaแดง (RAB) 2 ตัวและเมริกันบราhma (AB) 32 ตัว น้ำหนักตัวระหว่าง 400-550 กก. อายุระหว่าง 4-8 ปี โคทุกตัวได้รับฮอร์โมนเอฟเฟอสเซช (Folltropin®, Vetrepharm, Canada) ขนาด 200 มก. (10 มล.) ฉีดเข้ากล้ามเป็นเวลา 3 วัน วันละ 2 ครั้ง ห่างกัน 12 ชั่วโมง แบ่งฉีดแบบลดโถล์ส (2.5/2.5, 1.5/1.5 และ 1.0/1.0 มล.) ฉีดเข็มแอลกอฮอล์ที่ 9 หลังเป็นสัดยืนนิ่ง จากการเห็นไข่ยานำด้วย CIDR-B และ PGF2 จากนั้นเก็บตัวอ่อนหวนที่ 7 หลังผสมเทียม นับจำนวน CL โดยการล้วงตรวจ ผ่านที่เก็บตัวอ่อน จากการดำเนินงานเก็บตัวอ่อนทั้งหมด 46 ครั้ง ในโค 34 ตัว มีโค 5 ตัว (AB) ไม่ตอบสนองต่อฮอร์โมน (10.86%) จึงไม่เก็บตัวอ่อน พบร่วมมีจำนวน CL ทั้งหมด 481 จากการเก็บ 41 ครั้ง (1 ครั้งนับเป็นการเก็บ 1 ตัว) เก็บตัวอ่อน/ไข่ รวม 307 ใบ (อัตราการเก็บ 63.83%) เฉลี่ย 7.49 ใบ/ตัว เป็นตัวอ่อนคุณภาพย้ายฝากได้ (transferable embryos: A, B, C grades) จำนวน 224 ใบ เฉลี่ย 5.46 ใบ/ตัว เป็นตัวอ่อนคุณภาพแข็งได้ (freezable embryos: A, B grades) จำนวน 203 ใบ เฉลี่ย 4.95 ใบ/ตัว ทำการฝากตัวอ่อนจำนวน 27 ใบ ในโคตัวรับ 27 ตัว โดยเป็นตัวอ่อนสด 12 ใบ ตัวอ่อนแข็ง 15 ใบ ตรวจท้องด้วยอัลตราซาวน์หลังฝาก 35-40 วัน พบร่วมตัวรับท้องจากการฝากตัวอ่อนสด 8 ตัว (66.67%, 8/12) และจากตัวอ่อนแข็ง 6 ตัว (40%, 6/15) ผลจากการณีศึกษาครั้ง แสดงว่า สามารถใช้ฮอร์โมนกระตุ้นเพิ่มการตกไข่ ((Folltropin®) ขนาด 200 มก. ได้ โดยค่าเฉลี่ยตัวอ่อนคุณภาพดีที่เก็บได้อยู่ในเกณฑ์สำหรับการย้ายฝากตัวอ่อนโคบราhma

คำสำคัญ : การย้ายฝากตัวอ่อน โคบราhma ตัวอ่อนคุณภาพย้ายฝากได้

การสำรวจความสัมพันธ์และความสอดคล้องระหว่างความเข้มข้นของโปรเจสเตรโโนในซีรั่มกับการแสดงออกของการเป็นสัตดในกระเบื้องปลักไทย (*Bubalus bubalis*): การศึกษาเบื้องต้น

รัชฎาพร ไชยคุณ^{1, 2*} จันทร์เพ็ญ สุวิมลรีระบุตร² ชาญชัย อัศฤทธิ์³
จริตเมร์ รัตนเทพ³ มงคล เตชะกำภู²

¹Department of Clinic for Obstetrics Gynaecology Andrology and Artificial Insemination of Domestic Animals, Faculty of Veterinary Medicine, Mahanakorn University of Technology, Nong Chok, Bangkok 10530, Thailand

²Department of Obstetrics, Gynaecology and Reproduction, Faculty of Veterinary Science, Chulalongkorn University, Bangkok 10330, Thailand

³Chonburi Artificial Insemination Research Center, Banbung, Chonburi 20220, Thailand

บทคัดย่อ

การศึกษาเบื้องต้นนี้ใช้กระเบื้องปลักไทยเพศเมีย จำนวน 18 ตัว ที่เลี้ยงตามฟาร์มเกษตรกรรายย่อยในเขตพื้นที่จังหวัดชลบุรี มีวัตถุประสงค์เพื่อสำรวจความสัมพันธ์และความสอดคล้องระหว่างความเข้มข้นของโปรเจสเตรโโนในซีรั่มกับการแสดงออกของการอาการเป็นสัตด โดยกลุ่มตัวอย่างเป็นกลุ่มกระเบื้องปลักที่ได้รับแจ้งให้บริการผสมเทียม ทำการเก็บตัวอย่างเลือดและบันทึกักษณะอาการเป็นสัตด ณ วันผสมเทียม นำตัวอย่างซีรั่มตรวจหาระดับความเข้มข้นของฮอร์โมนโปรเจสเตรโโนด้วยวิธี Solid-phase¹²⁵ I-radioimmunoassay (RIA) ผลการทดลองพบว่าค่าม้อดิจูานของระดับความเข้มข้นของฮอร์โมนโปรเจสเตรโโนในซีรั่มของแม่กระเบื้องทั้ง 18 ตัว เท่ากับ 0.215 นาโนกรัมต่อมิลลิลิตร มีค่า 0.155 และ 0.315 นาโนกรัมต่อมิลลิลิตรที่ระดับ佩อร์เซ็นต์ไทล์ 25 และ 75 ตามลำดับ ความเข้มข้นของฮอร์โมนโปรเจสเตรโโนหั้งหมุดอยู่ในช่วงระหว่าง 0.12-1.56 นาโนกรัมต่อมิลลิลิตร ถึงแม้ว่าการเป็นสัตดจากการสังเกตและการเป็นสัตดโดยคาดการณ์จากการดูดับความเข้มข้นของฮอร์โมนโปรเจสเตรโโนในซีรั่มไม่มีความสัมพันธ์กันและสอดคล้องกันเพียงเล็กน้อย แต่พบว่ากระเบื้องที่สังเกตพบอาการเป็นสัตดและมีระดับความเข้มข้นของฮอร์โมนโปรเจสเตรโโนในซีรั่มต่ำกว่า 0.40 นาโนกรัมต่อมิลลิลิตร จะมีโอกาสผสมติดมากที่สุด อย่างไรก็ตามการเพิ่มขนาดกลุ่มตัวอย่างในการศึกษารังส์ต่อไปอาจได้ผลความแตกต่างทางสถิติที่ชัดเจนและมีระดับความน่าเชื่อถือมากขึ้น

คำสำคัญ : กระเบื้องปลัก โปรเจสเตรโโน ระยะสัตด การผสมเทียม

Investigation of Relationship and Agreement between Serum P4 Concentration and Estrous Signs in Thai Swamp Buffalo (*Bubalus bubalis*): A Preliminary Study

T. Chaikhun^{1, 2 *}, J. Suwimontheerabut², C. Usawareruk³,
J. Ratanadhep³ and M. Techakumphu²

¹Department of Clinic for Obstetrics Gynaecology Andrology and Artificial Insemination of Domestic Animals, Faculty of Veterinary Medicine, Mahanakorn University of Technology, Nong Chok, Bangkok 10530, Thailand

²Department of Obstetrics, Gynaecology and Reproduction, Faculty of Veterinary Science, Chulalongkorn University, Bangkok 10330, Thailand

³Chonburi Artificial Insemination Research Center, Banbung, Chonburi 20220, Thailand

Abstract

This preliminary study was carried out in eighteen female Thai swamp buffaloes in small holding farms in Chonburi Province. The objective of this study is to investigate of relationship and agreement between serum progesterone (P4) concentration and estrous signs. All buffaloes were inseminated by inseminator service. Blood samples were collected and the estrus signs on insemination day were recorded. Then serum were detected the progesterone concentration by Solid-phase¹²⁵I-radioimmunoassay (RIA). The results showed that the median for the P4 concentration is 0.215 ng/ml with 25th and 75th percentile at 0.155 ng/ml and 0.315 ng/ml, respectively. The range of the P4 concentration is 0.120 to 1.560 ng/ml. Although, the agreement between both methods is slight and fair indicating very low relationship between the methods used. However, the buffalo that have estrous signs and more than 0.04 ng/ml P4 were highly successful to conception. Therefore, the further research needs a larger sample size to increase statistic power for detecting significant differences.

Keyword : swamp buffalo, progesterone, estrus, artificial insemination

บทนำ

การผสานเทียนเป็นเทคโนโลยีชีวภาพอย่างแรกที่นำมาใช้ในการเพิ่มประสิทธิภาพของการผลิตสัตว์

เกือบทุกชนิด รวมไปถึงกระเบื้องซึ่งได้นำมาใช้กันอย่างแพร่หลายในประเทศไทยที่เลี้ยงกระเบื้องเพื่อผลิตหัวนมซึ่งการผสานเทียนสามารถลดปัญหาการระบาดของโรคเนื่องจากการเคลื่อนย้ายสัตว์ และโรคติดต่อจากการผสานพันธุ์ได้ อีกทั้งสามารถพัฒนาพันธุกรรมของผู้สูงได้อย่างรวดเร็วและสะดวกในการปฏิบัติ ส่วนประเทศไทยนั้นการผสานเทียนกระเบื้องแม้ว่าได้มีการพัฒนามากไปแล้วกว่า 50 ปี แต่ยังไม่เป็นที่นิยมมากนักเนื่องจากมีอุปสรรคของการผสานเทียนในกระเบื้องที่สำคัญที่สุดคือปัญหาที่แม่กระเบื้องไม่แสดงอาการเป็นสัตชัดเจน ทำให้การกำหนดเวลาผสานเป็นไปได้ยาก (Presicce et al., 2004; De Araujo Berber et al., 2002; De Rensis et al., 2005; Campanile et al., 2005; Paul and Prakash, 2005; Neglia et al., 2003; Madam and Raina, 1984.; Madam, 1998; Lohachit et al., 2006) สำหรับเทคนิคการผสานเทียนกระเบื้องในประเทศไทยทั้งการจับสัตด ระยะการเป็นสัตด การสังเกตอาการเป็นสัตด และการกำหนดเวลาผสานจะใช้หลักการเช่นเดียวกันกับโค คือ กำหนดเวลาผสานเทียนหลังจากกระเบื้องเป็นสัตดยืนนิ่งให้ตัวอื่นเข้าไป (standing heat) 12 ชั่วโมง แต่กระเบื้องมีความแตกต่างจากโค โดยกระเบื้องจะไม่ค่อยแสดงอาการสัตดต่างๆ ให้เห็นเด่นชัด หรือเป็นสัตดเงียบ (Silent heat) ระยะนี้ใช้เวลาประมาณ 28 ชั่วโมง จากการรายงานของ Chantalakhana (1992) พบว่าช่วงระยะการเป็นสัตดในกระเบื้องปัลกอยู่ระหว่าง 12-36 ชั่วโมง หรือนานถึง 3-5 วัน อย่างไรก็ตามการศึกษาส่วนใหญ่รายงานว่าอยู่ในช่วง 24-36 ชั่วโมง และมีการตกไข่ 6-21 ชั่วโมง หลังสิ้นสุดการเป็นสัตด (เฉลี่ย 13.3 ชั่วโมง) (Kanai and Shimizu, 1983) ทั้งนี้มีการใช้เทคโนโลยีหลักหลายนำมาใช้สำหรับตรวจหาระยะต่างๆ ในวงรอบการเป็นสัตดในกระเบื้อง และวิธีที่ค่อนข้างนิยมและเป็น

ที่ยอมรับคือการตรวจหาระดับความเข้มข้นของฮอร์โมนโปรเจสเตอโรน โดยมีรายงานการวิจัยตรวจหาระดับฮอร์โมนโปรเจสเตอโรนด้วยวิธี Radioimmunoassay (RIA) ในกระเบื้องลักษณะในปี 1976 (Kamonpatana et al., 1976) ซึ่งสามารถนำมาใช้ศึกษาสถานภาพของระบบสืบพันธุ์ได้ นอกจากนี้ยังมีการศึกษาการเปลี่ยนแปลงของระดับฮอร์โมนโปรเจสเตอโรน ในวงรอบการเป็นสัตดของกระเบื้องมาแล้วทั่วโลก ได้แก่ การศึกษาของ Kumad (1999) ในกระเบื้องมูร่าห์พบว่าระดับของฮอร์โมน โปรเจสเตอโรนจะสูงสุดประมาณ วันที่ 13-15 ของวงรอบการเป็นสัตด และจะมีค่าระหว่าง 0.13-0.27 นาโนกรัมต่อมิลลิลิตรในช่วงเป็นสัตดทั้งกระเบื้องลักษณะและกระเบื้องมูร่าห์ แต่จะยังไม่เปลี่ยนแปลงจนกว่าหลังวันที่ 5 โดยฮอร์โมนจะเพิ่มขึ้นตามลำดับจนกระทั่งวันที่ 14-16 มีค่าประมาณ 1.51-2.6 นาโนกรัมต่อมิลลิลิตรในกระเบื้อง ขณะเดียวกันเมื่อเทียบกับกระเบื้องมูร่าห์จะอยู่ที่ 4.0-4.26 นาโนกรัมต่อมิลลิลิตร Chua et al. (1983) รายงานว่าระดับความเข้มข้นของฮอร์โมนโปรเจสเตอโรนในพลาสม่าในช่วงเป็นสัตดเท่ากับ 0.24 นาโนกรัมต่อมิลลิลิตร และ 1.76 นาโนกรัมต่อมิลลิลิตร ในวันที่ 12-14 โดยที่ Leenauuraksa และคณะ (1979) พบว่า ในวันที่ทำการผสานจะระดับต่ำประมาณ 0.16 ± 0.20 นาโนกรัมต่อมิลลิลิตร อย่างไรก็ตามยังไม่มีการศึกษาที่แน่ชัดว่าการกำหนดเวลาผสานเทียนที่กระทำกันในพื้นที่ (12 ชั่วโมงหลังเป็นสัตดยืนนิ่ง) เป็นเวลาที่เหมาะสมอยู่ในระยะการเป็นสัตดและสามารถนำมาใช้ในกระเบื้องลักษณะในประเทศไทยได้จริงหรือไม่ อีกทั้งไม่มีการรายงานว่า เกษตรกรผู้เลี้ยงกระเบื้องในพื้นที่สามารถจับสัตดได้มีประสิทธิภาพเพียงใด รวมถึงเวลาผสานของเจ้าหน้าที่ผสานเทียนเหมาะสมหรือไม่

จากปัญหาดังกล่าวคณะผู้วิจัยจึงมีความต้องการศึกษาเบื้องต้นเพื่อสำรวจความสัมพันธ์และความสอดคล้องระหว่างความเข้มข้นของโปรเจสเตอโรนใน

ซึ่งร่วมกับการแสดงออกของการอาการเป็นสัดในกระเบื้อง
ปลักไทยของฟาร์มเกษตรกรรายย่อย ในเขตพื้นที่
จังหวัดชลบุรี

อุปกรณ์และวิธีการ

สัตว์ทดลอง

กระเบื้องที่ใช้ในการศึกษาครั้งนี้ เป็นกระเบื้องปลัก
ไทยอายุระหว่าง 4 - 8 ปี เป็นกระเบื้องขาว 6 ตัว และ
กระเบื้องขาว 12 ตัว จากฟาร์มเกษตรกรรายย่อยใน
เขตพื้นที่จังหวัดชลบุรี โดยเลือกแบบปล่อยแปลงหญ้า
ไม่มีพ่อพันธุ์กระเบื้องคุณภาพ และได้ผ่านการตรวจ
อย่างละเอียดโดยการล้วงตรวจผ่านทางทวารหนัก
ก่อนเข้ารับการศึกษาว่ามีลักษณะเป็นปกติ

วิธีการศึกษา

เกษตรกรจะแจ้งเจ้าหน้าที่ผู้สมเทียมเมื่อสังเกต
พบว่ากระเบื้องแสดงอาการเป็นสัด ได้แก่ อย่างเพศ
บรวมแดง ร้องกระวนกระวาย มีเมือกใสไหลออกมา
จากช่องคลอด และกระเบื้องตัวอื่นขึ้นเป็น (การจับสัด
ของเกษตรกรอาจพบว่ากระเบื้องแสดงอาการเป็น
สัดเพียงบางอาการเท่านั้น) หลังจากนั้นเจ้าหน้าที่
ผู้สมเทียมจะเข้าพื้นที่เพื่อผู้สมเทียม 12 ชั่วโมง หลัง
จากได้รับแจ้งจากเกษตรกร บันทึกลักษณะอาการ
เป็นสัดขณะผู้สมเทียม ได้แก่ อย่างเพศบรวมแดง มีเมือกใส
ไหลจากช่องคลอด การหดเกร็งของมดลูก และ
สามารถสอดปืนผู้สมเทียมไปยังปากมดลูก โดย
กำหนดว่ากระเบื้องมีอยู่ในระยะเป็นสัด (estrus) หาก
พบว่ามีการหดเกร็งของมดลูกและสามารถสอดปืน
ผู้สมเทียมไปยังปากมดลูกได้ และเจาะเก็บเลือดจาก
Jugular vein บริมادر 10 มิลลิลิตร ด้วยหลอดเก็บ
ซึ่งร่วม (Monovette®, SARSTEDT, Germany) ตั้งทึบไว้ที่
อุณหภูมิห้องประมาณ 2 ชั่วโมง และแยกซึ่งร่วมด้วย
เครื่องปั่นความเร็วสูง (Centrifuge) 3,000 รอบ 5
นาที เก็บซึ่งร่วมปริมาตร 1 มิลลิลิตร ในหลอดขนาด 1.5
มิลลิลิตร (Microtube) นำไปแช่แข็งรักษาไว้ที่อุณหภูมิ
-70 องศาเซลเซียส จนกว่าจะนำตัวอย่างมาวิเคราะห์

หาระดับความเข้มข้นของฮอร์โมนโปรเจสเตอโรนด้วย
วิธี Solid-phase¹²⁵ I-radioimmunoassay (RIA)
(Coat-a-Count®, Diagnostic Products; Los Angeles, CA, USA)

การวิเคราะห์ผลทางสถิติ

คำนวณค่ามัธยฐานของระดับความเข้มข้นของ
ฮอร์โมนโปรเจสเตอโรนในซึ่งร่วมของกระเบื้องทั้งหมด
เนื่องจากการแจกแจงความถี่ของข้อมูลเป็นแบบไนป์กติ
วิเคราะห์ค่าความสัมพันธ์และระดับความสอดคล้อง¹
กันของการเป็นสัดจากการสังเกตและการเป็นสัดโดย
คาดการณ์จากระดับความเข้มข้นของฮอร์โมนโปรเจส
เตอโรนในซึ่งร่วม โดยเลือกจุดตัด (cutoff) ของระดับ
ความเข้มข้นของฮอร์โมนโปรเจสเตอโรนที่ 0.2, 0.4
และ 1.0 นาโนกรัมต่อมิลลิลิตร และวิเคราะห์ความ
สัมพันธ์ระหว่างการวัดสองวิธี ด้วยโปรแกรม SPSS
for Windows version 11.5 (Chicago, IL, SPSS Inc.)
โดยวิธี Fisher's exact test และความสอดคล้อง²
ระหว่างการวัดทั้งสองวิธีด้วย โปรแกรม Winepiscope
2.0 (Borland International Inc.) โดยวิธี Kappa
statistics ตามลำดับ ที่ระดับความเชื่อมั่น 95%

ผลและอภิปราย

ค่ามัธยฐานของระดับความเข้มข้นของฮอร์โมน
โปรเจสเตอโรนในซึ่งร่วมของแม่กระเบื้องทั้ง 18 ตัว เท่ากับ
0.215 นาโนกรัมต่อมิลลิลิตร ที่ระดับเบอร์เช็นต์ไฟล์
25 และ 75 มีค่าเท่ากับ 0.155 และ 0.315 นาโน
กรัมต่อมิลลิลิตร ตามลำดับ ความเข้มข้นของฮอร์โมน
โปรเจสเตอโรนทั้งหมดอยู่ในช่วงระหว่าง 0.12 - 1.56
นาโนกรัมต่อมิลลิลิตร

ตาราง 1 ผลการวิเคราะห์ด้วยตาราง 2 X 2 แสดงความล้มเหลวของการเป็นสัตจาก การสังเกต และการเป็นสัตโดยคาดการณ์จากการดับความเข้มข้นของฮอร์โมนโปรเจสเทอโรนในซีรั่ม (เลือกค่า จุดตัดระดับความเข้มข้นของฮอร์โมนโปรเจสเทอโรนที่ 0.20, 0.40 และ 1.00 นาโนกรัมต่อ มิลลิลิตร)

Cutoff at P4 = 0.20 ng/ml	Oestrus	Non-oestrus	Total
Expected oestrus ($p4 \leq 0.20 \text{ ng/ml}$)	6 (75.0%)	2 (40.0%)	8
Expected non-oestrus ($p4 > 0.20 \text{ ng/ml}$)	9 (90.0%)	1 (10.0%)	10
Total	15	3	18

Fisher's exact test; $p = 0.559$

Cutoff at P4 = 0.40 ng/ml	Oestrus	Non-oestrus	Total
Expected oestrus ($p4 \leq 0.40 \text{ ng/ml}$)	13 (86.7%)	2 (13.7%)	15
Expected non-oestrus ($p4 > 0.40 \text{ ng/ml}$)	2 (66.7%)	1 (33.3%)	3
Total	15	3	18

Fisher's exact test; $p = 0.442$

Cutoff at P4 = 1.00 ng/ml	Oestrus	Non-oestrus	Total
Expected oestrus ($p4 \leq 1.00 \text{ ng/ml}$)	14 (87.5%)	2 (12.5%)	16
Expected non-oestrus ($p4 > 1.00 \text{ ng/ml}$)	1 (50.0%)	1 (50.0%)	2
Total	15	3	18

Fisher's exact test; $p = 0.314$

ตาราง 2 แสดงระดับความสอดคล้องระหว่างการเป็นสัตจากการสังเกตและการเป็นสัตโดยคาดการณ์ จากระดับความเข้มข้นของฮอร์โมนโปรเจสเทอโรนในซีรั่ม ด้วยวิธีวิเคราะห์ทางสถิติ (Kappa statistics) โดยเลือกค่าจุดตัดระดับความเข้มข้นของฮอร์โมนโปรเจสเทอโรนที่ 0.20, 0.40 และ 1.00 นาโนกรัม ต่อมิลลิลิตร

	Kappa^a	Classification of agreement
Cutoff at P4 = 0.20 ng/ml	-0.138 (-0.968; 0.692)	Slight agreement
Cutoff at P4 = 0.40 ng/ml	0.200 (-0.351; 0.751)	Fair agreement
Cutoff at P4 = 1.00 ng/ml	0.308 (-0.301; 0.916)	Fair agreement

^aThe numerical values inside the parentheses indicate the 95% confidence interval

จากตาราง 1 พบร่วมมีความสัมพันธ์ของการเป็นสัต JA จากการสังเกตและการเป็นสัตโดยคาดการณ์จากระดับความเข้มข้นของฮอร์โมนโปรเจสเทอโรนในชีรั่ม ในทุกค่าจุดตัด (cutoff) ของระดับความเข้มข้นของฮอร์โมนโปรเจสเทอโรนที่ 0.20, 0.40 และ 1.00 นาโนกรัมต่อมิลลิลิตร โดยสังเกตจากค่า Fisher's exact test; $p = 0.559$, $p = 0.442$ และ $p = 0.314$ ตามลำดับ เช่นเดียวกันกับการวิเคราะห์ระดับความสอดคล้องระหว่างทั้งสองค่าดังกล่าวพบว่ามีความสอดคล้องกันในระดับน้อย (slight agreement) จนถึงระดับปานกลาง (fair agreement) โดยค่าความสอดคล้องกันที่ระดับความเชื่อมั่น 95% มีช่วงกว้างมากซึ่งน่าจะเป็นผลเนื่องจากจำนวนสัตว์ทดลองที่น้อยอย่างไรก็ตามจะเห็นว่าระดับความสอดคล้องของทั้งสองวิธีจะเพิ่มขึ้นเมื่อเพิ่มค่าจุดตัดระดับการวิเคราะห์ความเข้มข้นของฮอร์โมนโปรเจสเทอโรนในชีรั่ม (cutoff) ดังแสดงในตาราง 2 เมื่อติดตามผลอัตราการตั้งท้องด้วยเครื่องอัลตร้าซาวน์ที่ 60 วันหลังผสมพบว่า กลุ่มกระบือที่เป็นสัตทั้งจากการสังเกตและมีระดับความเข้มข้นของฮอร์โมนโปรเจสเทอโรนต่ำกว่า 0.20 และกลุ่มที่อยู่ระหว่าง 0.20-0.40 นาโนกรัมต่อมิลลิลิตรเท่ากับ 37.5% (3/8) และ 57.14% (4/7) ตามลำดับ โดยที่กลุ่มที่มีค่ามากกว่า 0.40 นาโนกรัมต่อมิลลิลิตรไม่มีตัวใดตั้งท้อง (0/3) ซึ่งสอดคล้องกันกับการศึกษาเรื่องระดับความเข้มข้นของฮอร์โมนโปรเจสเทอโรนในพลาสม่าช่วงระยะเวลาสัตของกระบือแม่น้ำอยู่ที่ 0.13 - 0.27 นาโนกรัมต่อมิลลิลิตร (Chua et al., 1983; Jainudeen et al., 1981 and Kumad, 1999) ซึ่งเป็นระยะที่กระบือแสดงอาการเป็นสัตชัดเจนและมีโอกาสผสมติดมาก ซึ่งสอดคล้องกับการศึกษาหนึ่งโดยพบว่ากระบือที่สังเกตพบอาการเป็นสัต และมีระดับความเข้มข้นของฮอร์โมนโปรเจสเทอโรนในชีรั่มต่ำกว่า 0.40 นาโนกรัมต่อมิลลิลิตร จะมีโอกาสผสมติดมากที่สุด อย่างไรก็ตามมีกระบือที่มีระดับความเข้มข้นของฮอร์โมนโปรเจสเทอโรนในชีรั่ม

ต่ำกว่า 0.40 นาโนกรัมต่อมิลลิลิตร แต่การเป็นสัตจากการสังเกตไม่ชัดเจนโดยเฉพาะสอดปืนผสมเทียมไม่ผ่านเข้าปากมดลูกทั้งนี้อาจเป็นเพราะกระบือตั้งกล่าวเป็นกระบือสาวทั้งหมด (2/2)

จากการศึกษาเบื้องต้นนี้ พบร่วมการเป็นสัตจากการสังเกตและการเป็นสัตโดยคาดการณ์จากระดับความเข้มข้นของฮอร์โมนโปรเจสเทอโรนในชีรั่มไม่มีความสัมพันธ์กันและสอดคล้องกันเพียงเล็กน้อย แต่พบร่วมกระบือที่สังเกตพบอาการเป็นสัตและมีระดับความเข้มข้นของฮอร์โมนโปรเจสเทอโรนในชีรั่มต่ำกว่า 0.40 นาโนกรัมต่อมิลลิลิตร จะมีโอกาสผสมติดมากที่สุด อย่างไรก็ตามการเพิ่มขนาดกลุ่มตัวอย่างในการศึกษาครั้งต่อไปอาจได้ผลความแตกต่างทางสถิติที่ชัดเจนและมีระดับความน่าเชื่อถือมากขึ้น

กตติกรรมประภาค

คณะผู้วิจัยได้ขอขอบคุณความร่วมมือร่วมใจจากเจ้าหน้าที่ผสมเทียมจากศูนย์วิจัยการผสมเทียมและเทคโนโลยีชีวภาพชลบุรี ที่ได้ให้ความช่วยเหลือในการปฏิบัติในพื้นที่ ศูนย์อนุรักษ์และพัฒนาควายไทยในเครือเจริญโภคภัณฑ์ อำเภอบ้านบึง จังหวัดชลบุรี ที่ได้อนุเคราะห์นำเชื้อแข็งจากพ่อพันธุ์กระบือปลักไทยขึ้นเยี่ยมเพื่อใช้ในงานวิจัย อ.น.สพ.ดร.จำลอง มิตรชาร์วไทย และ อ.น.สพ.ดร.เอกชาติ พรหมดิเรก ที่ให้คำปรึกษาแนะนำในด้านการวิเคราะห์ และเรียบเรียงข้อมูล และที่สำคัญขอขอบคุณกระบือทุกตัวและเกษตรกรทุกคนในเขตพื้นที่จังหวัดชลบุรีที่ให้ความร่วมมือและให้กำลังใจจนทำให้งานวิจัยสำเร็จลุล่วงไปด้วยดี



เอกสารอ้างอิง

- Campanile, G., Neglia, G., Gesparrini, B., Galieno, G., Prandi, A. DiBlo, R. 2005. Embryonic mortality in buffaloes synchronized and mated by AI during the seasonal decline in reproductive function. *Theriogenology*. 63: 2334-2340.
- Chantalakana, C. 1992. Genetics and breeding of swamp buffaloes . In Buffalo Production. The Natherlands: Elsevies Science Publishers B.V.
- Chau, L.n., Sarabia, S.S , Roxas, N.P., Nava, Z.M. and Momongan, V.G. 1983. Blood plasma progesterone in normal cycling and anestrous carabao heifers. Vth World Conference on Animal Production, Tokyo, Japan, Abstracts. pp 88.
- De Araujo Berber, R.C., Madureira, E.H. and Baruselli, P.S. 2002. Comparison of two Ovsynch protocols (GnRH versus LH) for fixed timed insemination in buffalo (*Bubalus bubalis*). *Theriogenology*. 57: 1421-1430.
- De Rensis, F., Ronci, G., Guarneri, P., Xuan Nguyen, B., Presicce, G.A. Huszenicza, G., and Scaramuzzi, R.J. 2005. Conception rate after fixed time insemination following ovsynch protocol with and without progesterone supplementation in cyclic and non-cyclic Mediterranean Italian buffaloes (*Bubalus bubalis*). *Theriogenology*. 63: 1824-1831.
- Jainudeen, M.R., Tan, H.S. and Bongso, T.A. 1981. Plasma progesterone profiles in relation to postpartum ovarian activity in the swamp buffalo. Second RCM Nuclear Techniques for Improving Buffalo Production, Bangkok, Thailand. pp. 159-171.
- Kamonpatana, M., Luvira, Y., Bodhipaksha, P. and Kunawongkrit, A. 1976. Serum progesterone, 17-Hydroxyprogesterone and 17- β -oestradiol during estrous cycle in swamp buffalo in Thailand. On Nuclear Techniques in Animal Production and Health as Related to the Soil- plant System. IAEA. Vienna. 569- 578.
- Kanai, Y. and Shimisu, H. 1983. Characteristics related to oestrous cycle in the swamp buffalo under temperate conditions. The 5th World Conference on Animal Production, Tokyo, Japan, Abstract. 87.
- Kumud, N. 1999. Determination of plasma oxytocin profile in crossbred cows and murrah buffaloes using a sensitive EIA procedure. Ph.D. thesis submitted to National Dairy Research Institute, Karnal, Haryana, India.
- Leenanuraksa, D., Usanakarnkul, S. and Kamonpatana, M. 1979. Plasma progesterone level during early pregnancy of village swamp buffalo in Thailand. National Conference on Agriculture and Biological Science. February., 1979. Kasetsart University, Bangkok.
- Lohachit, C., Sirivaidyapong, S. and Techakumphu, M. 2006. Trends in swamp buffalo reproductive biotechnology. International course of buffalo reproduction and reproductive biotechnology. 3rd ed. Bangkok: Chulalongkorn University. 91-96.
- Madam, M. L. 1998. Status of reproduction in female buffalo. Buffalo Production and Health: a compendium of latest research information based on Indian studies. ICAR publication. New Delhi, India. 89-100.
- Madam, M. L. and Raina, V. S. 1984. Fertility and performance of buffaloes under tropical conditions. In: 10th Int. Congr. on Anim. Reprod. and Artificial Insemination. Illinois. 2: 142.1-142.4.
- Neglia, G., Gasparini, B., Di Palo, R., De Rosa, C., Zicarelli, L. and Campanile, G. 2003. Comparison of pregnancy rates with two oestrus synchronization protocols in Italian Mediterranean Buffalo cows. *Theriogenology*. 60: 125-133.
- Paul, V. and Prakash, B. S. 2005. Efficacy of the Ovsynch protocol for synchronization of ovulation and fixed-time artificial insemination in Murrah buffaloes (*Bubalus bubalis*). *Theriogenology*. 64: 1049-1060.

การพัฒนาอุปกรณ์ฉีดยาสัตว์ระยะไกล

Development of veterinary injector (Vet remote injection equipment)

เฉลิมพงศ์ จิรพุฒิศิริ¹ สมพัสดร์ พูนสุข²

¹ สำนักงานปลัดอุทยานฯ กรมปศุสัตว์ กระทรวงเกษตรและสหกรณ์

² ภาควิชาช่างกลโรงงาน วิทยาลัยเทคโนโลยี อุทยานฯ กรมอาชีวศึกษา กระทรวงศึกษาธิการ

บทคัดย่อ

อุปกรณ์ฉีดยาสัตว์ระยะไกล หรือเครื่องมือยิงยาสลบสัตว์ เป็นเครื่องมือแพทย์เฉพาะทาง เพื่อให้ยาแก่สัตว์ระยะไกล เป็นอุปกรณ์ที่นำเข้ามาจากต่างประเทศราคาแพงมาก อีกทั้งมีปัญหาด้านnoise ให้ล่า การซ่อมแซมและบำรุงรักษา ผู้ทำการศึกษาได้คิดค้นและสร้างอุปกรณ์ขึ้นมา ในครั้งนี้เป็นการพัฒนาต่อเนื่องจากครั้งแรกได้เลือกใช้วัสดุวัสดุใหม่ที่หาได้ในประเทศไทย ประกอบด้วยตัวท่อลำกล้อง กล่องพักลม กลไกควบคุม โครงอุปกรณ์ เป็นโลหะผสมแมกนีเซียม/อลูมิเนียม(แมกนีเซียม อัลลอยด์) มีน้ำหนักเบา แข็งแรง ไม่เป็นสนิม และเคลือบผิวด้วยวิธีอะโนไดซ์เป็นสีที่สวยงาม สวยงามลูกเลื่อนปิดท้าย และสปริงกลไกเป็นสแตนเลสไม่เป็นสนิม และด้ามไม่มีหลักการทำงานใช้ได้สะดวกรวดเร็วขึ้นจากการอัดอากาศจากปั๊มลม เป็นการใช้ก้าชบรรจุกระป๋อง เติมอัดเข้ากล่องเก็บลมให้ได้ความดันที่ต้องการ และเห็นยอดกลไกปล่อยก้าชขับดันลูกดออกบรรจุเวชภัณฑ์หรือวัคซีน พุ่งตรงไปยังตัวสัตว์ เป็นอุปกรณ์ที่ใช้ฉีดยาแก่สัตว์เพื่อมาดำเนินการทำอยุรกรรม ศัลยกรรม ฉีดวัคซีน ยาคุมกำเนิด เป็นการยิงวัคซีน หรือเวชภัณฑ์เหล่านี้เข้าไปในตัวสัตว์โดยตรง จากการพัฒนาในครั้งที่ 2 นี้ สัตว์แพทย์หลายท่านนำไปใช้ในภาคสนามได้ผลเป็นที่น่าพอใจ

คำสำคัญ : อุปกรณ์ฉีดยาสัตว์ระยะไกล ลูกดออกบรรจุเวชภัณฑ์

Poster Presentation

แกรนนูโลม่าจากเชื้อราก่ำไส้ใหญ่ของสุนัข: case report

กนงศักดิ์ มะมม¹

¹ สาขาวิชาพยาธิวิทยา คณะสัตวแพทยศาสตร์ มหาวิทยาลัยเทคโนโลยีมหานคร ถนนทองจตุก กกม. 10530

บทคัดย่อ

ก้อนเนื้อขนาดใหญ่ที่ก่ำไส้ใหญ่ได้ถูกผ่าตัดออกมาพร้อมกับลำไส้บางส่วนจากสุนัขพันธุ์ไทยบางแก้ว เพศผู้ อายุ 3 ปี ที่มีประวัติท้องเสียเรื้อรัง ก้อนเนื้อดังกล่าวล้อมรอบลำไส้ใหญ่อยู่โดยไม่พบรากตัวไปในท่อลำไส้ ผลการตรวจทางจุลพยาธิวิทยาจากก้อนเนื้อพบ การอักเสบแบบ แกรนนูโลมาตัส โดยตรวจพบเล้านไขของเชื้อ ราชนิดแตกแขนงแต่ไม่มีข้อปล้องจำนวนมาก ยืนยันผลการตรวจด้วยการข้อมูลสีพิเศษสำหรับเชื้อราก ข้อมูลทาง คลินิกและทางพยาธิวิทยาได้ถูกนำมาวิเคราะห์และวิจารณ์ในรายงานนี้

คำสำคัญ : แกรนนูโลม่า เชื้อราก่ำไส้ใหญ่ สุนัข จุลพยาธิวิทยา

Intramural fungal granuloma at colon in a dog: case report

Thanongsak Mamom¹

¹ Department of Pathology, Faculty of Veterinary Medicine, Mahanakorn University of Technology,
Bangkok, Thailand, 10530

Abstract

A large mass at colon was surgically removed from a 3-year-old male Thai-Bangkaew dog with a history of chronic diarrhea. Macroscopically, the mass entrapped colon without involvement of mucosal surface. Histopathologic examination revealed multifocal granulomatous inflammation with tremendous branched non-septate fungal hyphae which were confirmed by Grocott's and PAS staining. The clinical data and pathological diagnosis were discussed.

Keyword : granuloma fungal colon dog histopathology

มะเร็งเต้านมชนิด mixed mammary tumor ในแมว

อาจารย์ อุบัติธรรม¹ และ กนงศักดิ์ มະມມ²

¹ สาขาวิชาการวิภาคศาสตร์ คณะสัตวแพทยศาสตร์ มหาวิทยาลัยเทคโนโลยีราชมงคล

² สาขาวิชาพยาธิวิทยา คณะสัตวแพทยศาสตร์ มหาวิทยาลัยเทคโนโลยีราชมงคล

บทคัดย่อ

แมวพันธุ์ผสมเพศเมียอายุ 10 ปี น้ำหนัก 4.1 ก.ก. ไม่มีประวัติการใช้ออร์โมนคุมกำเนิด และได้รับการผ่าตัดนำมดลูกและรังไข่ออกไปแล้วเมื่ออายุ 2 ปี การตรวจทางคลินิกพบก้อนเนื้อขนาด 7x7 ซ.ม. บริเวณเต้านมคู่ที่ 4 ก้อนเนื้อสีลักษณะแตกเป็นแพลง โดยพบเนื้อตายและหนองอย่างร่วมด้วย แมงไกได้รับการรักษาโดยการผ่าตัดเอา ก้อนเนื้อดังกล่าวออกไป และก้อนเนื้อดังกล่าวถูกส่งมาตรวจทางจุลพยาธิวิทยา ผลการตรวจสรุปได้ว่าเป็นมะเร็งของเต้านม โดยพบเนื้อตายและการอักเสบร่วมด้วย หลังการผ่าตัดประมาณ 3 เดือน พบร่องรอยที่ 4 ก้อนเนื้อกลับมาอีก ขนาด 6.5x6.5 ซ.ม. โตรื้นมาอีกบริเวณใกล้กับตำแหน่งเดิม สัตว์ได้รับการรักษาอีกครั้งโดยผ่าตัดเอา ก้อนเนื้องอกและต่อมน้ำเหลืองที่อยู่บริเวณใกล้เคียงออกไป ก้อนเนื้อดังกล่าวถูกส่งมาตรวจทางจุลพยาธิวิทยาอีกครั้ง ผลการตรวจพบกลุ่มของเซลล์มะเร็ง 2 ชนิด ในก้อนเนื้อเดียวกันคือ มะเร็งของเซลล์บุผิวของต่อมน้ำนม และเซลล์มะเร็งที่มีรูปร่างเป็นรูปกระสาย โดยพบเนื้อเยื่อกระดูกอ่อนด้วย นอกจากนั้นยังพบการเกิดเนื้อตายและเลือดออกในเนื้อเยื่อ ที่ต่อมน้ำเหลืองพบการแพร่กระจายของเซลล์มะเร็งโดยเซลล์มะเร็งดังกล่าวให้ผลลัพธ์ต่อ pancytokeratin marker และให้ผลลัพธ์ต่อ vimentin ในการย้อมเนื้อเยื่อด้วยวิธีอิมมูโนไฮล์ปโตเคนต์ แสดงว่าเป็นชนิดที่เจริญมาจากเซลล์บุผิวของต่อมน้ำนม ผลการตรวจทางจุลพยาธิวิทยารูปได้ว่าแมวเป็นมะเร็งเต้านมชนิด malignant mixed mammary gland tumor เนื้องอกของเต้านมจัดว่าเป็นหนึ่งในสามของเนื้องอกที่พบบ่อยในแมวมากกว่า 80 เปอร์เซ็นต์ของเนื้องอกเต้านมในแมวเป็นชนิด adenocarcinoma และส่วนที่เหลือส่วนใหญ่เป็นชนิด fibroadenoma แต่มะเร็งชนิด malignant mixed mammary gland tumor ที่พบนี้เป็นชนิดที่มีรายงานการพบน้อยมากในแมว

คำสำคัญ : มะเร็ง mixed mammary tumor เต้านม การแพร่กระจาย แมว

การผลิตลูกโคพันเมืองไทยและโคนมด้วยเทคนิคการเก็บเซลล์ไข่ผ่านทางผนังช่องคลอดและการปฏิสนธินอกร่างกาย

Production of Thai Native and Dairy Calves Using OPU and IVF Techniques

มาลี อกิเมร์รำรง¹ วนนก เกื้องสันเกียะ¹ ณรงค์ เลี้ยงเจริญ¹ กีรติ ริจา¹
และ จุรีย์รัตน์ สำเร็จประสงค²

¹ สำนักเทคโนโลยีเพิ่มประสิทธิภาพการพัฒนาศักยภาพ กรมศุลกากร อ.เมือง จ.ปทุมธานี 12000

² คณะสัตวแพทยศาสตร์ มหาวิทยาลัยเชียงใหม่ 50100

บทคัดย่อ

ศึกษาความเป็นไปได้ในการผลิตลูกโคพันเมืองและโคนมโดยใช้เทคนิคการเก็บเซลล์ไข่ผ่านทางผนังช่องคลอดและการปฏิสนธินอกร่างกาย เจาะเก็บเซลล์ไข่จากโคพันเมือง 6 ตัว และ โคนมพันธุ์ดี 19 ตัว โดยไม่ใช้เครื่องอัลตราซาวน์ โคแต่ละตัวถูกเจาะเก็บเซลล์ไข่ช้าอย่างน้อย 4 ครั้ง ได้ไข่ทั้งหมด 338 ใน จากโคพันเมือง 88 ใบ และโคนม 250 ใบ เป็นเซลล์ไข่คุณภาพดีรวม 192 ใบ โดยเป็นเซลล์ไข่คุณภาพดีของโคพันเมือง 56 ใบ (63.6%, 56/88) และของโคนม 136 ใบ (54.4%, 136/250) นำไปใช้คุณภาพดีไปเข้ากระบวนการปฏิสนธินอกร่างกายในห้องปฏิบัติการที่อยู่ห่างจากสถานที่เจาะเก็บไข่ประมาณ 1 ชั่วโมง 30 นาที หลังจากเลี้ยงตัวอ่อน 7 วัน ได้ตัวอ่อนระยะ胎ลาก็สี รวม 72 ใบ โดยเป็นตัวอ่อนของโคพันเมือง 17 ใบ และของโคนม 55 ใบ ทำการฝ่ากตัวอ่อนโคพันเมือง 15 ใบ ในโคตัวรับพันธุ์โคนมลูกผสม 6 ตัว มีโคตัวรับท้อง 2 ตัว (ท้อง 33.3%, 2/6) โดย และจากการฝ่ากตัวอ่อนโคนม 47 ใบ ในโคตัวรับ 24 ตัว มีโคตัวรับท้อง 7 ตัว (29.2%, 7/24) มีลูกโคพันเมืองเกิด 2 ตัว และลูกโคนมเกิด 7 ตัว สรุปผลการดำเนินงานในตารางที่ 1 ผลจากการศึกษานี้ แสดงว่า มีความเป็นไปได้ในการใช้เทคนิคการเก็บเซลล์ไข่ผ่านทางผนังช่องคลอดและการปฏิสนธินอกร่างกายเพื่อผลิตลูกโคพันเมืองไทยและลูกโคนม นับเป็นครั้งแรกที่มีลูกโคพันเมืองไทยเกิดจากวิธีการนี้

ตารางที่ 1 ผลการเก็บเซลล์ไข่ การผลิตตัวอ่อน การฝ่ากตัวอ่อนและลูกเกิดในโคพันเมืองและโคนม

พันธุ์โค	จำนวนโคที่เก็บไข่*	เซลล์ไข่ที่เก็บได้	เซลล์ไข่คุณภาพดี (%)	ตัวอ่อนที่ได้** (%)	ตัวรับท้อง/ฝ่าก (%)	ลูกเกิด
พันเมือง	6	88	56 (63.6)	17 (30.4)	2/6 (33.3)	2
โคนม	19	250	136 (54.4)	55 (40.4)	7/24 (29.2)	7

*โคแต่ละตัวถูกเจาะเก็บไข่ช้าอย่างน้อย 4 ครั้ง

**แซ่ชี้งตัวอ่อนโคพันเมือง 2 ตัวอ่อนและโคนม 8 ตัวอ่อน เก็บไว้ในธนาคารตัวอ่อน

คำสำคัญ: การเก็บเซลล์ไข่ผ่านทางผนังช่องคลอด การปฏิสนธินอกร่างกาย โค เซลล์ไข่

คำสำคัญ : การเก็บเซลล์ไข่ผ่านทางผนังช่องคลอด การปฏิสนธินอกร่างกาย โค เซลล์ไข่

Determination of nitrofurans in animal feeds by LC/MS Ion Trap.

Wittaya Sungthong^{1*}, Piromporn Tuantumkaew¹, Suttiporn Piriayon¹,
Wilawan Kotesompat¹ and Sriumporn Ardsri¹

Abstract

Nitrofurans in animal feeds has been prohibited according to the Thai Feed Quality Control Regulation BE. 2525 because they are carcinogenic substances. The determination and confirmation of nitrofurans was analyzed by liquid chromatography with ion trap mass spectrometry. The extraction liquid was acetonitril-water (1:4, v/v) by using shaker. The sample extracts were purified by solid phase extraction-C₁₈. This proposed method is simple and reproducible with a low detection limit and successfully separates the nitrofurans from the sample matrix which is normally influence in feed analysis. An average recoveries of nitrofuran spiked into the feed at levels of 5,10,20,50,100 and 200 µg/kg were 40.5–78.9% and the coefficients of variation were 6.13–14.22%. The limit of detection were 1.55 and 1.42 µg/kg, in furazolidone and furaltadone respectively. These result indicated that the method is suitable as preliminary validation for analysis.

Keyword : nitrofurans, LC/ MS Ion Trap, solid phase extraction-C18

¹Feed Quality Control Laboratory Division, Bureau of Quality Control of Livestock products. Department of Livestock Development Tivanon Road, Bangkadee Muang, Pathumthani, 12000, Thailand

Electron Microscopic Studies on Brachial Glands of the Slow Loris

Kazumi Taniguchi¹⁾, Piboon Yutisri²⁾, Luxsana Prasittichai³⁾,
Suppaluk Kaewkwan²⁾, Waradee Buddhakosai²⁾,
Doungjit Kanungpean²⁾, Jitra Sanisuriwong²⁾,
Chatmongkol Pracharoenwanich⁴⁾, Anuwat Wattananorrasate⁴⁾,
Pongsawa Sotthibandhu^{1,2)}, Jun Saito¹⁾, Kazuki Yoshioka¹⁾
and Ken-ichiro Mutoh¹⁾

¹⁾ Laboratory of Veterinary Anatomy, School of Veterinary Medicine, Kitasato University, Towada 034-8628, Japan,

²⁾ Faculty of Veterinary Medicine, Mahanakorn University of Technology, Bangkok 10530

³⁾ Khao Pratubchang Wildlife Breeding Center, Ratchaburi 70150

⁴⁾ Safari World, Bangkok 10510 Thailand

Introduction

Slow lorises possess venom glands in the subcutaneous regions medial to the elbow joints. When attacked, they lick the secretory products of the glands to mix with saliva and deliver them when biting predators. We reported this gland was composed of two histologically different types of glands (the second congress of Asian Association of Veterinary Anatomists in Bangkok, Sep 2007). In the present study, we aim to elucidate the cytological features of these two types of glands.

Keyword : apocrine, brachial gland, eccrine, transmission electron microscopy, venom

Materials and Methods

Three male slow lorises, dead from pneumonia, found in Khao Pratubchang Wildlife Breeding Center, and one male slow loris, died of malnutrition, from Safari World, Bangkok, were examined using a transmission electron microscopy.

Results

The glands were a blend of two different types. One of them was provided with apocrine protrusions on the luminal surface, while the other with electron lucent vacuoles and electron dense granules in the apical cytoplasm. Some cells had rows of regularly arranged smooth endoplasmic reticulum. Both types of glands were densely surrounded by myoepithelial cells. Adjacent to them, a large number of nerve fibers were observed.

Discussion

While similar to sweat glands, the venom glands do not exactly show the apocrine or eccrine characteristics; they might have their origin in sweat glands, then evolved into a specialized venomous gland.

สนับสนุนการประชุมโดย



RESEARCH • PERFORMANCE • INTEGRITY



www.bec-vet.com

